



TUGAS AKHIR - TM 141585

PENDETEKSIAN DAN PELACAKAN 2D MULTI OBJEK SECARA REAL-TIME DENGAN MENGGUNAKAN KAMERA TUNGGAL

**MUHAMAD AL IMRON
NRP. 2109 100 142**

**Dosen Pembimbing
Arif Wahyudi ST., MT., Ph.D.
NIP. 19730322 200112 1 001**

**JURUSAN TEKNIK MESIN
FAKULTAS TEKNOLOGI INDUSTRI
INSTITUT TEKNOLOGI SEPULUH NOPEMBER
SURABAYA
2015**

halaman ini sengaja dikosongkan



FINAL PROJECT - 141585

**DETECTION AND TRACKING OF MULTIPLE 2D
OBJECTS IN REALTIME USING
A SINGLE CAMERA**

**MUHAMAD AL IMRON
NRP. 2109 100 142**

Advisor
Arif Wahyudi ST., MT., Ph.D.
NIP. 19730322 200112 1 001

**DEPARTMENT OF MECHANICAL ENGINEERING
FACULTY OF INDUSTRIAL TECHNOLOGY
SEPULUH NOPEMBER INSTITUTE OF TECHNOLOGY
SURABAYA
2015**

halaman ini sengaja dikosongkan

LEMBAR PENGESAHAN

PENDETEKSIAN DAN PELACAKAN 2D MULTI OBJEK SECARA **REAL-TIME** DENGAN MENGGUNAKAN KAMERA TUNGGAL

TUGAS AKHIR

Diajukan Untuk Memenuhi Salah Satu Syarat Memperoleh Gelar

Sarjana Teknik Mesin pada Bidang Studi Manufaktur

Program Studi S-1

Jurusan Teknik Mesin

Fakultas Teknologi Industri

Institut Teknologi Sepuluh Nopember Surabaya

Oleh :

MUHAMAD AL IMRON

NRP. 2109 100 142

Disetujui oleh Tim Pengaji Tugas Akhir

1. Arif Wahyudi, ST., MT., Ph.D.
(NIP.19730322 200112 1 001)

.....
(Pembimbing)

2. Ir. Bambang Pramujati, M.Sc.Eng., Ph.D.
(NIP.19691203 199403 1 001)

.....
(Pengaji 1)

3. Dr.Eng. Unggul Wasiwitono, ST., M.Eng.Sc.
(NIP.19780510 200112 1 001)

.....
(Pengaji 2)

SURABAYA
JULI, 2015

PENDETEKSIAN DAN PELACAKAN 2D MULTI OBJEK SECARA REAL-TIME DENGAN MENGGUNAKAN KAMERA TUNGGAL

Nama Mahasiswa : Muhamad Al Imron
NRP : 2109 100 142
Jurusan : Teknik Mesin FTI-ITS
Dosen Pembimbing : Arif Wahyudi, ST. MT. Ph.D.

Abstrak

Dewasa ini teknologi transportasi dunia berkembang sangat pesat. Salah satu dari teknologi tersebut adalah mendeteksi dan melacak mobil di sekitar deretan beberapa mobil. Hal tersebut sangat membantu pengemudi melakukan tindakan tertentu atau bemanuver untuk menghindari kejadian yang tidak diinginkan seperti kecelakaan dan bersenggolan. Salah satu metode pelacakan adalah dengan menggunakan tracking-by-detection, dimana pelacakan dilakukan pada semua frame yang didapatkan. Tahapan yang dilakukan dalam proses pendekripsi dan pelacakan antara lain tahap preprocessing, pendekripsi objek, dan pelacakan objek. Pendekripsi dan pelacakan dilakukan berdasarkan bidang kartesian xy yang akan dianalisa pada setiap frame berdasarkan bentuk dan histogram warna Red Green Blue (RGB) pada objek.

Dalam penelitian awal ini, objek berbentuk lingkaran digunakan sebagai penyederhanaan plat nomor yang akan dideteksi dan dilacak menggunakan kamera tunggal secara real-time. Multi objek digunakan sebagai pengganti jika kemungkinan mobil yang melintas lebih dari satu. Hasil pendekripsi tersebut akan diolah dan dianalisa apakah program tersebut bisa berjalan sesuai dengan yang diharapkan yaitu tanpa tertukar meski objek berpapasan.

Hasil yang didapatkan dari pendekripsi secara real-time tidak ada yang mencapai kemampuan pendekripsi 100%. Dalam

keadaan diam, kemampuan pendektsian yang diproleh berkisar diatas 95%. Objek terjauh yang bisa dideteksi secara real-time yaitu objek dengan radius 20 piksel. Tidak terjadi kesalahan pendektsian pada saat objek berpapasan.

Kata kunci : mendekksi, melacak, detection-by-tracking, frame, warna Red Green Blue(RGB), real-time, multi objek

DETECTION AND TRACKING OF MULTIPLE 2D OBJECTS IN REALTIME USING A SINGLE CAMERA

Name	:	Muhamad Al Imron
NRP	:	2109 100 142
Major	:	Mechanical Engineering FTI-ITS
Advisor	:	Arif Wahyudi, ST. MT. Ph.D.

Abstract

Nowadays transportation technology is developing very rapidly. One of these technologies is detection and tracking of a car around several cars in a street. This technology helps a driver perform a certain action to avoid unwanted incidents such as accidents and touched. One of the tracking method is using tracking-by-detection. This tracking method was done by detecting all obtained frames in sequence frames . The steps of this process are the preparation stage, preprocessing, object detection, and object tracking. The detection and tracking is based on Cartesian xy, field will be analyzed in each frame based on shape and color Red Green Blue (RGB) histogram on the object.

In this research, a circle-shaped object was used as a simplification of the number of object that will be detected and tracked using a single camera in real-time. Multi object was used as a substitute if the possibility of a passing object is more than one. The detection results will be processed and analyzed whether such programming are able to run as expected.

The results obtained from the detection in real-time have reached 100% detection capability. In the quiescent state, the detection capability reach 95%. Most distant object that can be detected in real-time that is an object with a radius of 20 pixels.

Keywords: *detecting, tracking, detection-by-tracking, frame, color Red Green Blue (RGB), real-time, multi-object*



halaman ini sengaja dikosongkan

KATA PENGANTAR

Bismillahirrohmanirohim.

Alhamdulilahirabil'alamin, segala puji bagi Allah SWT, atas segala rahmat dan karunia-Nya yang tak terhingga sehingga penulis dapat menyelesaikan Tugas Akhir yang berjudul:

“Pendeteksian dan Pelacakan 2D Multi Objek Secara Real-Time Dengan Menggunakan Kamera Tunggal”

Terselesaikannya Tugas Akhir ini tidak terlepas dari bantuan banyak pihak. Oleh karena itu melalui lembar ini penulis ingin mengucapkan terima kasih dan penghormatan sebesarbesarnya kepada pihak-pihak sebagai berikut.

1. Allah SWT, karena limpahan rahmat dan karuniaNya lah penulis dapat menyelesaikan Tugas Akhir dan juga perkuliahan di Teknik Mesin FTI-ITS.
2. Ibu dan ayah penulis, Komsiyah dan Djaenuri yang tiada henti memberikan dukungan penuh kepada penulis selama ini sehingga dapat menyelesaikan Tugas Akhir ini
3. Saudara penulis, Siti Nur Asiyah dan Wijayanti Nurul Khotimah yang telah memberikan dukungan kepada penulis untuk terus semangat dan membantu untuk menyelesaikan Tugas Akhir ini.
4. Bapak Ir. Bambang Pramujati, M.Sc.Eng., Ph.D. selaku Ketua Jurusan Teknik Mesin FTI-ITS.

5. Bapak Arif Wahyudi, ST., MT., Ph.D. selaku dosen pembimbing dari penulis yang telah memberikan banyak arahan dan nasihat kepada penulis dalam menyelesaikan Tugas Akhir ini.
6. Bapak Dr. Eng. Harus Laksa Guntur, ST., M.Eng. selaku dosen wali dari penulis yang selalu memberi nasihat kepada penulis selama menjalani perkuliahan di Teknik Mesin FTI-ITS.
7. Teman-teman super sepermainan dari penulis, Hendra, Nanang, Dharmo, Deni, Rangga, Uza, Solikhin, dan Veri yang selalu memberikan semangat, dukungan, dan menemani keseharian penulis.
8. Teman-teman M-52 dan Lab. P3 yang telah ramah dan berbaik hati membantu penulis selama berada di Mesin FTI-ITS.
9. Pihak-pihak yang tidak dapat penulis sebutkan satu per satu yang telah membantu penulis dalam menyelesaikan Tugas Akhir ini.

Penulis sadar bahwa penulisan tugas akhir ini memiliki banyak kekurangan, untuk itu kritik dan saran yang membangun sangat diharapkan demi perbaikan dan kesempurnaan tugas akhir ini. Semoga tulisan ini dapat bermanfaat bagi semua. Amin.

Surabaya,

Agustus 2015

Penulis

DAFTAR ISI

LEMBAR PENGESAHAN	v
Abstrak	vii
Abtrack	ix
KATA PENGANTAR	xi
DAFTAR ISI	xiii
DAFTAR GAMBAR	xvii
DAFTAR TABEL	xxi
BAB I PENDAHULUAN	1
1.1 Latar Belakang	2
1.2 Perumusan Masalah	3
1.3 Batasan Masalah	3
1.4 Tujuan Penelitian	3
1.5 Manfaat Penelitian	4
1.6 Sistematika Penulisan	5
BAB II KAJIAN PUSTAKA	7
2.1 Pendektsian dan Pelacakan Objek	7
2.2 Sistem Visual Manusia.....	8
2.3 Pembentukan Citra	11
2.4 Model Citra	12
2.5 Digitalisasi Citra	14
2.6 Digitalisasi Spasial	16
2.7 Peningkatan Mutu Citra	18
2.8 Kontur dan Representasi	22
2.9 Transformasi Hough Lingkaran	24
2.10.1 Jari-jari Lingkaran Diketahui	25
2.10.2 Jari-jari Lingkaran tidak Diketahui	26
2.10 Evaluasi Kemampuan Pendektsian	27
2.11 OpenCV	28

BAB III METODE PENELITIAN	31
3.1 Diagram Alir Penelitian	31
3.2 Kajian Pustaka	32
3.3 Identifikasi Masala	33
3.4 Perumusan Masalah	33
3.5 Perancangan dan Pengembangan Program	33
3.5.1 Variabel Range Warna Threshold.....	33
3.5.2 Pencarian Variabel Pendektsian Objek.....	34
3.6 Pembahasan.....	37
3.7 Kesimpulan dan Saran	37
BAB IV PERCOBAAN	39
4.1 Program Pendekksi Objek.....	40
4.2 Pencarian Nilai Variabel Pendektsian	45
4.2.1 Variabel Range Warna Threshold.....	45
4.2.2 Pencarian Variabel Pendektsian Objek.....	47
BAB V PEMBAHASAN.....	53
5.1 Pencarian Range Variabel Pendektsian	53
5.2 Objek Tunggal	55
5.2.1 Kemampuan Pendektsian Objek Diam.....	55
5.2.2 Pendektsian Objek Merah	58
5.2.3 Pendektsian Objek Hijau	65
5.2.4 Pendektsian Objek Ungu	71
5.2.5 Perbandingan Hasil Pendektsian <i>Real-Time</i>	76
5.3 Multi Objek.....	78
5.3.1 Pendektsian Multi Objek Diam	78
5.2.2 Pendektsian Multi Objek Bergerak ...	82
Pendektsian Jarak Terjauh Objek Terdeteksi .	84

BAB VI PENUTUP	87
6.1 Kesimpulan	87
6.2 Saran	88

**DAFTAR PUSTAKA
LAMPIRAN
BODATA PENULIS**



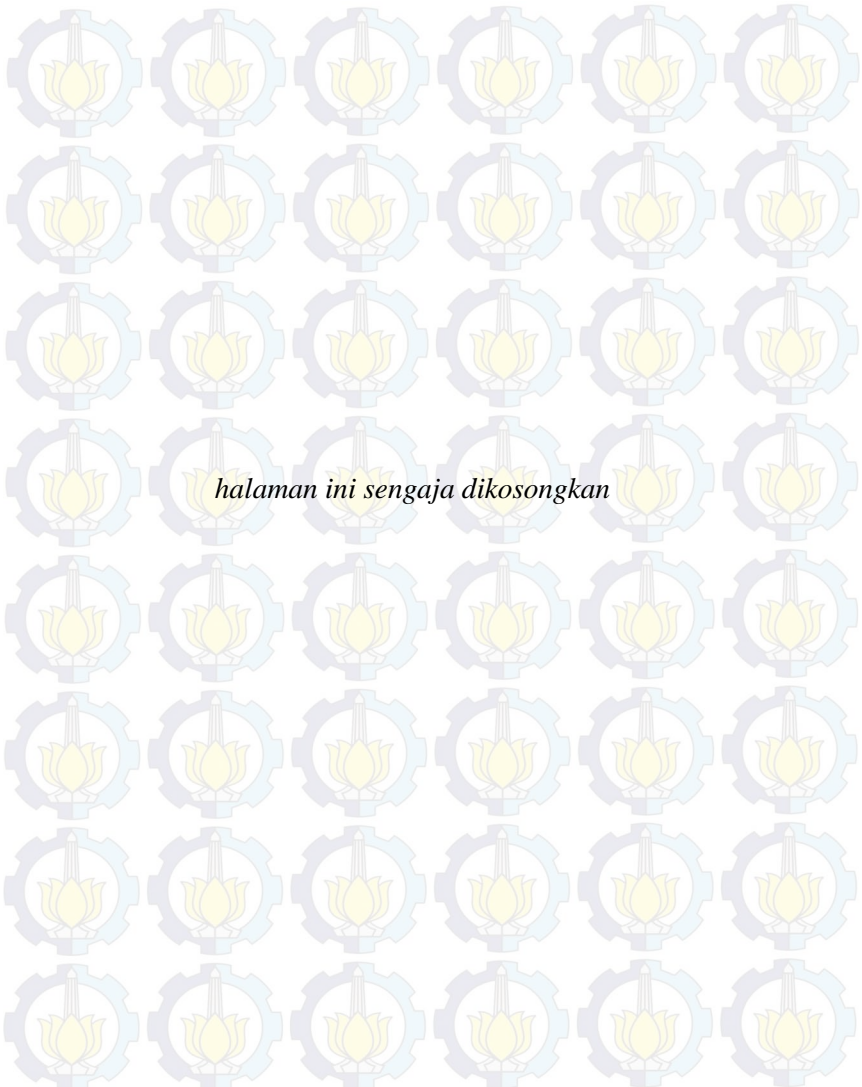
halaman ini sengaja dikosongkan

DAFTAR GAMBAR

Gambar 2.1	Sistem Visual Manusia	8
Gambar 2.2	Ilustrasi Penglihatan pada Mata Manusia Saat Melihat Pohon Palm	9
Gambar 2.3	Garis Seperti Lipatan pada Daerah Batas Tingkat Intensitas	10
Gambar 2.4	Tampilan Kotak di Tengah Mempunyai Intensitas yang Sama Tetapi Berkesan Lebih Gelap Apabila Background Lebih Terang	10
Gambar 2.5	Pembentukan Gambar 2-D.....	11
Gambar 2.6	Prinsip Sensor Bersusun	12
Gambar 2.7	Koordinat Titik di dalam Citra	13
Gambar 2.8	Pembentukan Citra	14
Gambar 2.9	<i>Sampling</i>	16
Gambar 2.10	Hubungan Antara Elemen Gambar dan Elemen Matrik	16
Gambar 2.11	Perbedaan Tampilan ketika Citra Mengalami Pengurangan Piksel	17
Gambar 2.12	<i>Contrast-Stretching Function</i>	19
Gambar 2.13	Transformasi <i>Threshold</i>	20
Gambar 2.14	Empat Dasar Tipe Citra dan Histogramnya ...	21
Gambar 2.15	Kontur	23
Gambar 2.16	Kode Rantai	23
Gambar 2.17	Proses Penumpukan <i>Voting</i> untuk Mendeteksi Lingkaran	25
Gambar 2.18	Hasil Transformasi Hough	27
Gambar 3.1	Diagram Alir Penelitian	31
Gambar 3.2	Objek.....	33
Gambar 3.3	Kamera Usb The Imaging Source DFK31BU03	34
Gambar 3.4	Segmentasi Objek	35
Gambar 3.5	Pengantungan Objek dengan Seutas Tali	37

Gambar 4.1	Diagram Alir Proses Perancangan Program ...	39
Gambar 4.2	Diagram Alir Program Pendektsian	40
Gambar 4.3	Citra Asli	42
Gambar 4.4	Diagram Alir Proses <i>Preprocessing</i>	42
Gambar 4.5	Citra <i>Threshold</i>	43
Gambar 4.6	Citra <i>Threshold</i> Hasil <i>Erode</i> 2x2 piksel	43
Gambar 4.7	Citra <i>Threshold</i> Hasil <i>dilate</i> 9x9 Piksel	44
Gambar 4.8	Hasil <i>Smoothing</i> Citra <i>Treshold</i>	44
Gambar 4.9	Diagram Alir Pencarian <i>Range</i> Warna	45
Gambar 4.10	<i>Trackbar</i> Pencari Perubahan Citra RGB ke Citra <i>Threshold</i>	46
Gambar 4.11	Citra <i>Threshold</i> dari <i>Trackbar</i>	46
Gambar 4.12	Informasi Hasil Pencarian <i>Range</i> dengan <i>trackbar</i>	47
Gambar 4.13	Diagram Alir Pencarian Variabel	48
Gambar 4.14	Objek Uji Coba 1	49
Gambar 4.15	Hubungan Inverse Rasio Resolusi, Parameter 1, dan Parameter 2 terhadap Proses Pendektsian	50
Gambar 4.16	Tipe Kesalahan Pendektsian Objek	49
Gambar 5.1	Objek Asli dan Hasil <i>Threshold</i>	53
Gambar 5.2	Hasil Pendektsian Objek Diam Kondisi 1	56
Gambar 5.3	Perbandingan Hasil <i>Preprocessing</i> Objek Merah Terdeteksi dan Objek Merah Tidak Terdeteksi	57
Gambar 5.4	Evaluasi Pendektsian	57
Gambar 5.5	Objek $\theta_o = 25^\circ$ dengan $\theta_f = 1^\circ$	61
Gambar 5.6	Hasil Pendektsian Objek Bergerak θ_o Sebesar 60°	61
Gambar 5.7	Lintasan Pertama Objek Merah dengan $\theta_o = 45^\circ$	64
Gambar 5.8	Lintasan Pertama Objek Merah dengan $\theta_o = 60^\circ$	64

Gambar 5.9	Hasil Pendektsian Objek Bergerak θ_0 Sebesar 20°	67
Gambar 5.10	Hasil Pendektsian Objek Bergerak θ_0 Sebesar 60°	67
Gambar 5.11	Hasil Pendektsian Objek Bergerak θ_0 Sebesar 25°	70
Gambar 5.12	Hasil Pendektsian Objek Bergerak θ_0 Sebesar 55°	70
Gambar 5.13	Hasil Pendektsian Objek Bergerak θ_0 Sebesar 20°	73
Gambar 5.14	Hasil Pendektsian Objek Bergerak θ_0 Sebesar 55°	73
Gambar 5.15	Hasil Pendektsian Objek Bergerak θ_0 Sebesar 13°	75
Gambar 5.16	Hasil Pendektsian Objek Bergerak θ_0 Sebesar 60°	76
Gambar 5.17	Citra Hasil Pendektsian dan Evaluasi <i>Frame</i> ke-1 dan ke-4	79
Gambar 5.18	Citra <i>Threshold</i> Hasil Evaluasi <i>Frame</i> ke-1 dan ke-4	79
Gambar 5.19	Gambar 5.19. Citra <i>Threshold</i> Hasil Evaluasi <i>Frame</i> ke-46	32
Gambar 5.20	Citra Hasil Pendektsian dan Evaluasi <i>Frame</i> ke-8 dan ke-94	81
Gambar 5.21	Citra <i>Threshold</i> Hasil Evaluasi <i>Frame</i> ke-8 dan ke-94	82
Gambar 5.22	Pendektsian Multi Objek Bergerak	83
Gambar 5.23	Citra <i>Threshold</i> Multi Objek	83
Gambar 5.14	Perbedaan Hasil Pendektsian <i>Real-time</i> dan Evaluasi	84
Gambar 5.15	Citra Pendektsian	85
	Gambar Lampiran 2. Ruangan Uji Pencarian Jarak Terjauh Pendektsian	
	Gambar Lampiran 2b. Ruangan Uji Pendektsian Objek	



halaman ini sengaja dikosongkan

DAFTAR TABEL

Tabel 2.1	Skala Keabuan dan Rentang Nilai	23
Tabel 5.1	Hasil Pencarian Range RGB	53
Tabel 5.2	Jarak Warna RGB Objek	54
Tabel 5.3	<i>Range</i> Bagian Atas dan Bagian Bawah	54
Tabel 5.4	Hasil Pendekripsi Objek Diam Kondisi 1.....	56
Tabel 5.5	Hasil Pendekripsi Objek Diam Kondisi 2.....	58
Tabel 5.6	Hasil Pendekripsi Objek Merah pada Kondisi 1.....	59
Tabel 5.7	Hasil Evaluasi Objek Merah Tidak Terdeteksi	60
Tabel 5.8	Hasil Pendekripsi Objek Hijau pada Kondisi 2.....	62
Tabel 5.9	Hasil Evaluasi Objek Merah Tidak Terdeteksi Kondisi 2.....	63
Tabel 5.10	Hasil Pendekripsi Objek Hijau pada Kondisi 1.....	65
Tabel 5.11	Hasil Evaluasi Objek Hijau Tidak Terdeteksi Kondisi 1.....	66
Tabel 5.12	Hasil Pendekripsi Objek Hijau pada Kondisi 2.....	68
Tabel 5.13	Hasil Evaluasi Objek Hijau Tidak Terdeteksi Kondisi 2.....	69
Tabel 5.14	Hasil Pendekripsi Objek Ungu pada Kondisi 1.....	71
Tabel 5.15	Hasil Evaluasi Objek Ungu Tidak Terdeteksi Kondisi 1.....	72
Tabel 5.16	Hasil Pendekripsi Objek Ungu pada Kondisi 2	74
Tabel 5.17	Hasil Pendekripsi Objek Ungu pada Kondisi 2	74
Tabel 5.18	Perbandingan Kemampuan Pendekripsi <i>Real- Time</i>	77

Tabel 5.19	Hasil Evaluasi Pendeksteksian <i>Real-Time</i>	77
Tabel 5.20	Hasil Pendeksteksian Multi Objek tidak Bergerak Kondisi 1	78
Tabel 5.21	Hasil Evaluasi Objek Tidak Terdeteksi.....	80
Tabel 5.22	Hasil Pendeksteksian Multi Objek tidak Bergerak Kondisi 2.....	81
Tabel 5.23	Hasil <i>Real-time</i> Pendeksteksian Multi Objek Bergerak.....	82
Tabel Lampiran 4a.	Pendeksteksian Real-Time Objek Merah Kondisi 1	
Tabel Lampiran 4b.	Pendeksteksian Real-Time Objek Merah Kondisi 2	
Tabel Lampiran 4c.	Pendeksteksian Real-Time Objek Hijau Kondisi 1	
Tabel Lampiran 4d.	Pendeksteksian Real-Time Objek Hijau Kondisi 2	
Tabel Lampiran 4e.	Pendeksteksian Real-Time Objek Ungu Kondisi 1	
Tabel Lampiran 4f.	Pendeksteksian Real-Time Objek Ungu Kondisi 2	

BAB I

PENDAHULUAN

1.1. Latar Belakang

Dewasa ini teknologi transportasi dunia sangat meningkat. Salah satu dari teknologi tersebut adalah mendeteksi keberadaan objek-objek di sekitar mobil. Bagaimana mobil bisa mendeteksi keberadaan objek yang kemudian dilakukan tindakan agar mobil tetap aman dan nyaman. Untuk menjaga keamanan mobil, perlu dianalisa jarak aman mobil tersebut dengan mobil disekitarnya supaya tidak terjadi hal yang tidak diinginkan seperti kecelakaan. Objek utama yang dideteksi adalah mobil di sekitarnya dengan meninjau keberadaan plat nomor kendaraan.

Pengolahan citra (*image processing*) adalah teknik mengolah citra yang mentransformasikan citra masukan menjadi citra lain agar keluaran memiliki kualitas yang lebih baik dibandingkan kualitas citra masukan. Pengolahan citra sangat bermanfaat, diantaranya adalah untuk meningkatkan kualitas citra, menghilangkan cacat pada citra, mengidentifikasi objek, dan untuk menggabungkan dengan bagian citra yang lain. Dengan memanfaatkan teknologi tersebut, maka diharapkan adanya suatu aplikasi yang dapat menangkap suatu objek yang ada di depan kamera, bisa mengidentifikasi jenis objek serta melakukan *tracking* objek secara *real-time*.

Dalam prakteknya, ada dua pendekatan untuk melacak gerakan suatu objek. Pendekatan pertama disebut pendekatan *tracking-by-detection*. Pada pendekatan ini, untuk melacak suatu objek dilakukan pendektsian objek tersebut pada setiap *frame* gambar bergerak atau video yang diamati, guna menentukan posisi objek itu pada setiap *frame*-nya. Pendekatan kedua disebut pendekatan *detection-by-tracking*. Pada pendekatan ini, pendektsian objek hanya dilakukan pada satu atau beberapa *frame*

pertama saja, lalu untuk mengetahui gerak atau posisi objek pada *frame-frame* selanjutnya cukup melakukan penjejakkan perubahan gerak antara *frame* saat ini terhadap *frame-frame* sebelumnya. Jadi kita tidak perlu menjalankan algoritma pendektsian objek disetiap *frame*-nya.

Pendekatan *detection-by-tracking* secara komputasi lebih efisien dibandingkan pendekatan *tracking-by-detection* apalagi pada setiap *frame*-nya objek yang menjadi target ternyata hanya melakukan perubahan kecil saja. Untuk mengetahui posisi (bahkan dalam aplikasi tertentu kita juga perlu menentukan orientasi, kecepatan, dan percepatan) suatu objek, pendektsian dan pelacakan saling terkait erat satu sama lain karena pendektsian diperlukan pada fase awal sedangkan pelacakan digunakan pada fase selanjutnya[1].

Dalam tugas akhir ini, direncanakan objek yang diidentifikasi berbentuk bulat sebagai pengganti keberadaan plat nomor kendaraan dengan menggunakan kamera tunggal secara *real-time* berdasarkan histogram warna RGB. Multi objek digunakan sebagai pengganti jika kemungkinan mobil yang melintas lebih dari satu. Hasil dari pendektsiaan tersebut kemudian diolah dan dianalisa apakah program tersebut bisa berjalan sesuai yang diharapkan.

1.2. Perumusan Masalah

Berdasarkan latar belakang tersebut diatas maka dapat dirumuskan permasalahan sebagai berikut:

1. Bagaimana mendekksi sebuah objek secara *real-time*.
2. Bagaimana mendekksi objek yang bergerak secara *real-time*.
3. Bagaimana menandai multi objek tanpa tertukar.

1.3. Batasan Masalah

Agar tujuan dari penulisan tugas akhir ini dapat tercapai maka diperlukan adanya batasan masalah sebagai berikut:

1. Deteksi objek dengan menggunakan jenis kamera Usb The Imaging Source DFK 23UP031.
2. Target yang akan dideteksi berupa objek berbentuk bulat.
3. Pendektsian dan pelacakan dilakukan di dalam ruangan.
4. Bahasa pemrograman yang digunakan adalah C++.
5. Menggunakan *library* openCV 3.0.0.beta.
6. Menggunakan perangkat lunak lengkap (*suite*) microsoft visual studio 2012.
7. Pendektsian hanya digunakan untuk mengetahui posisi objek dalam 2D atau dalam bidang kartesian xy.

1.4. Perumusan Masalah

Tujuan dari penelitian ini adalah sebagai berikut:

1. Mendekksi sebuah objek berbentuk bulat secara *real-time*.
2. Melacak objek bergerak secara *real-time*.
3. Menandai multi objek tanpa tertukar.

1.5. Manfaat

Manfaat dari hasil pembuatan tugas akhir ini antara lain

1. Untuk mengetahui tingkat kemampuan pendektsian, efisiensi serta pemilihan parameter yang baik pada penerapan metode *detection-by-tracking* untuk pelacakan suatu objek.
2. Untuk membuat sistem yang bisa mengetahui posisi objek dalam 2D atau bidang kartesian xy sehingga akan mempermudah mengetahui posisi objek sebenarnya dalam 3D.

3. Sebagai dasar yang akan diimplementasikan untuk mengukur jarak objek tersebut terhadap kamera yang digunakan.

1.6. Sistematika Penulisan

Buku tugas akhir ini terdiri dari beberapa Bab, yang dijelaskan sebagai berikut.

BAB I PENDAHULUAN

Bab ini berisi penjelasan mengenai latar belakang masalah, rumusan masalah, batasan masalah, tujuan, manfaat, dan sistematika penulisan.

BAB II TINJAUAN PUSTAKA

Bab ini berisi penjelasan secara detail mengenai dasar-dasar ilmu yang menjadi referensi pendukung dalam mengerjakan tugas akhir.

BAB III METODOLODI PENELITIAN

Bab ini berisi penjelasan mengenai metode penelitian yang digunakan dalam mengerjakan tugas akhir.

BAB IV PERCOBAAN

Bab ini berisi mengenai desain dari algoritma pendekripsi dan pelacakan dari tugas akhir.

BAB V PEMBAHASAN

Bab ini berisi penjelasan mengenai data hasil pengujian dan pembahasannya.

BAB VI PENUTUP

Bab ini berisi kesimpulan dan saran-saran tugas akhir. Saran mengenai hal-hal yang masih bisa dikembangkan lebih lanjut, atau berisi masalah yang dialami pada proses penggerjaan tugas akhir.

halaman ini sengaja dikosongkan

BAB II

KAJIAN PUSTAKA

Tugas akhir dengan judul “Pendeteksian Multi Objek 2D Menggunakan Kamera Tunggal Secara *Real-Time*” ini melibatkan beberapa teori penunjang. Bab ini membahas tentang pendeteksian dan pelacakan objek, teori mengenai pengolahan citra, dan teori mengenai openCV.

2.1. Pendeksi dan Pelacakan Objek

Pendeteksian dan pelacakan objek sudah menjadi perhatian peneliti dewasa ini. Mulai dari pendeteksian objek tunggal sampai dengan multi objek sudah diusulkan pada *paper-paper* beberapa tahun terakhir. Sebuah objek tunggal telah diusulkan dengan (RS-PFRSR) *robust combination of particle filter and sparse representation* [2]. Multi objek telah diusulkan dengan metode *hieraarchical particle filter* [3].

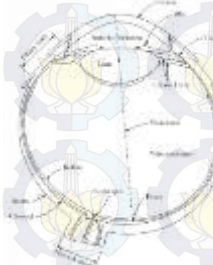
Metode RS-PFRSR dimaksudkan untuk mengecilkan kemungkinan adanya gerakan yang menyimpang pada saat pendeteksian. Metode ini dilakukan pada MATLAB dan digunakan sebagai objek eksperimen seperti wajah manusia, mobil, dan batu. Pendeksi dan pelacakan menggunakan 600 *frame* sebagai data latih dan 15 *template set* sebagai *template*. Eksperimen pendeteksian pada objek tersebut dilakukan dengan pendekatan *template* yang disediakan terhadap data latih.

Metode multi objek dengan *hieraarchical particle filter* menggunakan acuan *range* warna yang terdapat pada objek disetiap *frame*-nya. Pelacakan menggunakan 1000 *frame* data latih dengan kecepatan 50 *fps* (*frame per second*). Eksperimen pendeteksian dan pelacakan menggunakan objek dengan gambar manusia dengan pendekatan histogram warna *red green blue* (RGB) dari setiap *frame*-nya.

Kedua metode di atas menggunakan *particle filter* yaitu melacak objek dengan melakukan pendekatan objek yang berganti untuk setiap waktu. Untuk metode RS-PFRSR berdasarkan *template set* sedangkan *hierarchical particle filter* berdasarkan histogram warna di setiap waktu. Pada saat mendekripsi dan melacak memungkinkan adanya *error* (kesalahan) yang terjadi. *Error* yang terjadi pada pendekripsi dan pelacakan bisa dianalisa pada setiap *frame* yang digunakan. *Error* tersebut dicari dengan membandingkan hasil *frame* yang tidak berhasil mendekripsi keberadaan objek dengan *frame* yang berhasil mendekripsi objek dimulai dari *frame* yang terdapat objeknya.

2.2. Sistem Visual Manusia

Konsep sistem visual manusia dalam pengolahan citra sangat identik dengan proses pengolahan citra. Ketika manusia menangkap citra di mata, maka prinsip tersebut juga diterapkan oleh pengolahan citra untuk mengambil citra dari suatu alat sensor citra. Dari informasi citra yang ditangkap oleh mata, kemudian diproses untuk mengidentifikasi citra tersebut.



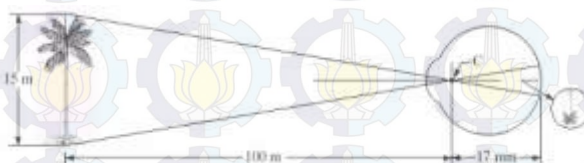
Gambar 2.1. Sistem Visual Manusia [4]

Gambar 2.1 menunjukkan sistem penangkapan citra pada mata manusia. Intensitas cahaya ditangkap oleh iris dan diteruskan ke bagian retina mata. Kemudian bayangan objek mata dibentuk

pada retina dengan mengikuti konsep sistem optik dimana fokus lensa terletak antara retina dan lensa mata. Mata dan syaraf otak dapat menginterpretasi bayangan yang merupakan objek pada posisi terbalik.

Pada sistem mata manusia terdapat bagian fovea. Fovea di bagian retina terdiri dari dua jenis reseptor yaitu *cone receptor* yang sensitif terhadap warna dan *rod receptor* yang sensitif terhadap cahaya. Selain itu pada retina mata terdapat bagian yang tidak mengandung *receptor* sehingga tidak dapat menerima dan menginterpretasi informasi yang biasa disebut *blind spot*.

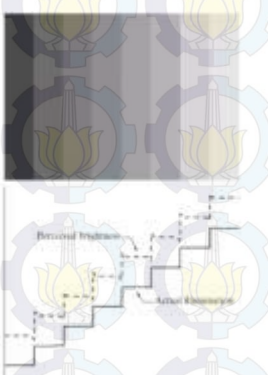
Lensa pada sebuah kamera mempunyai *focal length* yang tetap dan fokus pada variasi jarak tertentu seperti halnya pada mata manusia. Ilustrasi dari formasi gambar yang ditangkap manusia terlihat seperti Gambar 2.2.



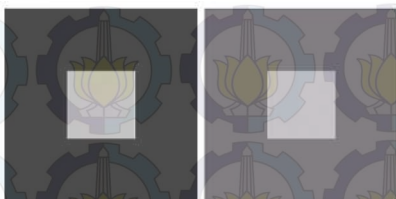
Gambar 2.2. Ilustrasi Penglihatan pada Mata Manusia Saat Melihat Pohon Palm[4]

Pada Gambar 2.2 menunjukkan dimensi sebuah gambar yang terbentuk pada retina dengan titik C adalah titik pusat dari lensa. Pada ilustrasi tersebut terlihat bahwa pohon palm yang mempunyai tinggi 15 m dengan jarak dari titik fokus atau penglihatan 100 m dengan *focal length* 17 mm. Intensitas dari masing-masing daerah pada Gambar 2.3 adalah konstan tetapi pada kenyataannya *pattern brightness* sangat kuat sehingga membentuk seperti garis lipatan di dekat batas masing-masing daerah tersebut.

Gambar 2.4 menyatakan suatu model *contrast simultan*, dimana kemunculan kotak kecil ditengah berkesan memiliki intensitas yang semakin lebih gelap apabila warna *background* menjadi lebih terang, padahal kenyataannya intensitas kotak kecil tersebut sama. Hal ini menyatakan bahwa daerah *brightness* yang diterima tidak bergantung sederhana pada intensitasnya.



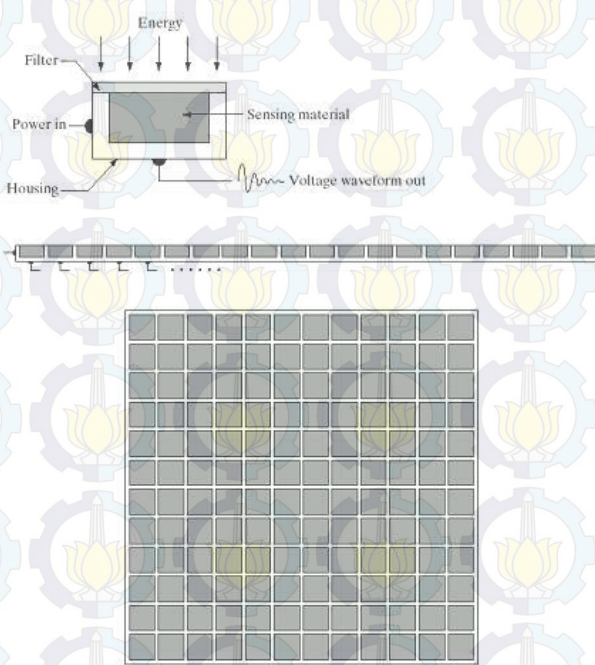
Gambar 2.3. Garis Seperti Lipatan pada Daerah Batas Tingkat Intensitas[4]



Gambar 2.4. Tampilan Kotak di Tengah Mempunyai Intensitas yang Sama Tetapi Berkesan Lebih Gelap Apabila Background Lebih Terang [5]

2.3. Pembentukan Citra

Banyak dari citra yang terjadi akibat kombinasi dari sebuah cahaya dan pantulan energi yang diserap dari elemen sebuah gambar.

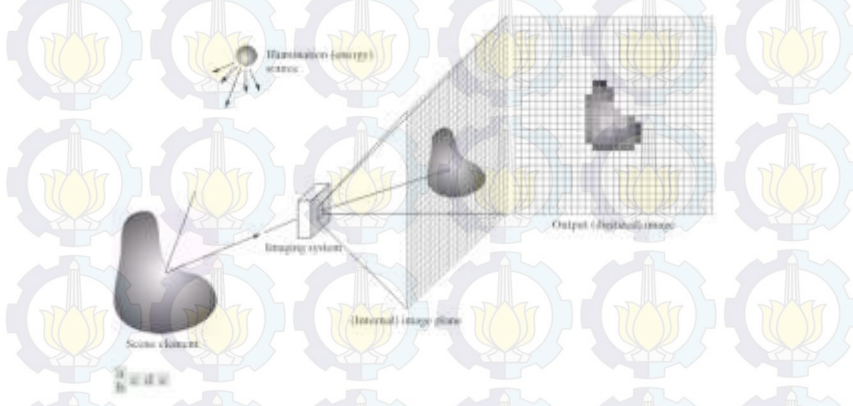


Gambar 2.5(a). Single Imaging Sensor, (b). Line Sensor, (c). Array Sensor [4]

Gambar 2.5 menunjukkan tiga prinsip sensor pembentuk yang mentransformasikan cahaya menjadi citra digital. Pada dasarnya sangat sederhana, jika ada energi yang datang kemudian dirubah

menjadi voltase yang dihasilkan dari kombinasi *input electrical power* dan material sensor yang sangat resposif terhadap partikel energi yang terdeteksi.

Gambar 2.6(c) menunjukkan pembentukan gambar bidang 2-D dari sebuah sensor. Beberapa *electromagnetic* dan perangkat sensor ultrasonik menggunakan format bersusun. Hal ini sangat sering ditemukan pada pengaturan kamera. Tipikal sensor dari kamera ini adalah *Charge Couple Device* (CCD) bersusun.



Gambar 2.6. (a) Energi Cahaya, (b). *Scene Element*, (c). Sistem Pembentukan Gambar, (d). Proyeksi pada Sebuah Bidang Gambar, (e). Citra Digital [4]

2.4. Model Citra

Citra dapat diartikan sebagai suatu fungsi intensitas cahaya dua dimensi, yang dinyatakan oleh $f(x, y)$, dimana nilai amplitudo dari f pada koordinat spasial (x, y) menyatakan intensitas (kecerahan) citra pada titik tersebut[4]. Gambar 2.7 memperlihatkan posisi koordinat pada bidang citra. Sistem koordinat yang diacu adalah sistem koordinat kartesian, dalam hal

ini sumbu mendatar menyatakan sumbu- x , dan sumbu tegak menyatakan sumbu- y .



Gambar 2.7. Koordinat Titik di dalam Citra

Karena cahaya merupakan bentuk energi, maka intensitas cahaya bernilai antara 0 sampai tidak berhingga,

$$0 \leq f(x, y) < \infty \dots \dots \dots \quad (1)$$

Nilai $f(x, y)$ sebenarnya adalah hasil kali dari [4]:

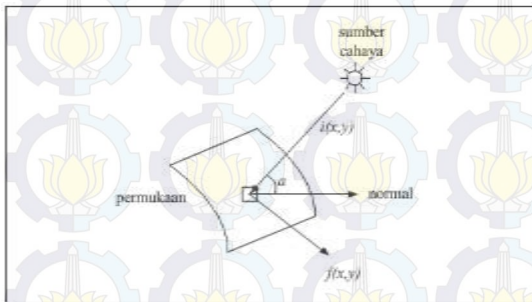
1. $i(x, y)$ = jumlah cahaya yang berasal dari sumbernya (*illumination*), nilainya antara 0 sampai tidak berhingga, dan
2. $r(x, y)$ = derajat kemampuan objek memantulkan cahaya (*reflection*), nilainya antara 0 dan 1.

Gambar 2.8 memperlihatkan proses pembentukan citra dimana sumber cahaya menyinari permukaan objek. Jumlah pancaran (*iluminasi*) cahaya yang diterima objek pada koordinat (x, y) adalah $i(x, y)$. Objek memantulkan cahaya yang diterimanya dengan derajat pantulan $r(x, y)$. Hasil kali antara $i(x, y)$ dan $r(x, y)$ menyatakan intensitas cahaya pada koordinat (x, y) yang ditangkap oleh sensor visual pada sistem optik. Jadi,

$$f(x, y) = i(x, y) \times r(x, y) \dots \quad (2)$$

yang dalam hal ini,

$$0 \leq i(x, y) < \infty, 0 \leq r(x, y) \leq 1$$



Gambar 2.8. Pembentukan Citra [6]

Nilai $i(x, y)$ ditentukan oleh sumber cahaya, sedangkan $r(x, y)$ ditentukan oleh karakteristik objek di dalam gambar. Nilai $r(x, y) = 0$ mengindikasikan penerapan total, sedangkan $r(x, y) = 1$ menyatakan pemantulan total. Jika permukaan mempunyai derajat pemantulan nol, maka fungsi intensitas cahaya, $f(x, y)$ juga nol. Sebaliknya, jika permukaan mempunyai derajat pemantulan 1, maka fungsi intensitas cahaya sama dengan iluminasi yang diterima oleh permukaan tersebut.

2.5. Digitalisasi Citra

Agar dapat diolah dengan komputer digital, maka suatu citra harus direpresentasikan secara numerik dengan nilai-nilai diskrit. Representasi citra dari fungsi malar menjadi nilai-nilai diskrit disebut digitalisasi. Citra yang dihasilkan inilah yang disebut citra digital (*digital image*). Pada umumnya citra digital

berbentuk empat persegi panjang dan dimensi ukurannya dinyatakan sebagai tinggi x lebar (atau lebar x panjang).

Citra digital yang tingginya N , lebarnya M , dan memiliki L derajat keabuan dapat dianggap sebagai fungsi [5]:

$$f(x, y) \begin{cases} 0 \leq x \leq M \\ 0 \leq y \leq N \\ 0 \leq f \leq L \end{cases} \quad (3)$$

Citra digital yang berukuran $N \times M$ lazim dinyatakan dengan matriks yang berukuran N baris dan M kolom sebagai berikut:

$$f(x, y) \approx \begin{bmatrix} f(0,0) & f(0,1) & \dots & f(0,M) \\ f(1,0) & f(1,1) & \dots & f(1,M) \\ \vdots & \vdots & \ddots & \vdots \\ f(N-1,0) & f(N-1,1) & \dots & f(N-1,M) \end{bmatrix}$$

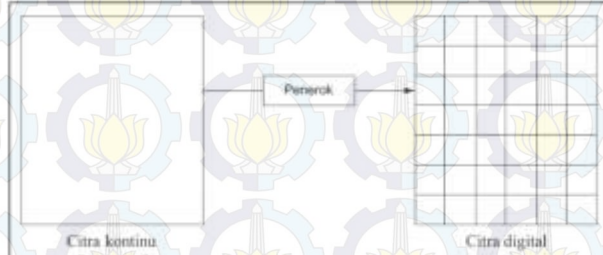
Indeks baris (i) dan indeks kolom (j) menyatakan suatu koordinat titik pada citra, sedangkan $f(i, j)$ merupakan intensitas (derajat keabuan) pada titik (i, j) . Masing-masing elemen pada citra digital (berarti elemen matriks) disebut *image element*, *picture element* atau piksel. Jadi, citra yang berukuran $N \times M$ mempunyai NM buah piksel. Proses digitalisasi citra ada dua macam:

1. Digitalisasi spasial (x, y), sering disebut sebagai penerokan (*sampling*).
2. Digitalisasi intensitas $f(x, y)$, sering disebut sebagai kuantisasi.

2.6. Digitalisasi Spasial

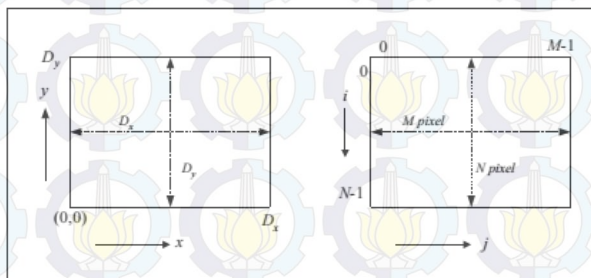
Secara umum digitalisasi spasial dilakukan dengan melakukan *sampling* pada *grid-grid* yang berbentuk bujur sangkar (kisi-kisi dalam arah horizontal dan vertikal) dari sebuah citra seperti terlihat pada Gambar 2.9. Digitalisasi spasial dapat

dikategorikan menjadi tiga [4]: (1) operasi *single-piksels*, (2) operasi *neighborhood*, dan (3) transformasi *geometric spacial*.



Gambar 2.9. *Sampling* [6]

Terdapat perbedaan antara koordinat gambar (yang disampling) dengan koordinat matriks (hasil digitalisasi). Titik asal $(0, 0)$ pada gambar dan elemen $(0,0)$ pada matriks tidak sama. Koordinat x dan y pada gambar dimulai dari sudut kiri bawah, sedangkan penomoran piksel pada matriks dimulai dari sudut kiri atas seperti terlihat pada Gambar 2.10.



Gambar 2.10. Hubungan Antara Elemen Gambar dan Elemen Matrik [6]

Dalam hal ini,

$$i = x \quad , 0 \leq i \leq N - 1 \text{ dan}$$

$$j = (M - y), 0 \leq j \leq M - 1$$

Pembagian gambar menjadi ukuran tertentu menentukan resolusi (yaitu derajat rincian yang dapat dilihat) spasial yang diperoleh. Semakin tinggi resolusinya, yang berarti semakin kecil ukuran piksel (atau semakin banyak jumlah pikselnya), semakin halus gambar yang diperoleh karena informasi yang hilang akibat pengelompokan derajat keabuan pada penerusan semakin kecil. Gambar 2.11, terlihat perbedaan yang jelas pada gambar antara 256 x 256 piksel, 128 x 128 piksel, 64 x 64 piksel, dan 32 x 32 piksel.



Gambar 2.11. Perbedaan Tampilan ketika Citra Mengalami Pengurangan Piksel [5]

Langkah selanjutnya setelah proses penerokan (*sampling*) adalah kuantisasi. Proses kuantisasi membagi skala keabuan (0, L-1) menjadi L buah level yang dinyatakan dengan suatu harga bilangan bulat (integer), biasanya L diambil perpangkatan dari 2, seperti pada Tabel 2.1 dan persamaan 4.

$$L = 2^k \dots \dots \dots \dots \dots \dots \dots \quad (4)$$

dalam hal ini,

L = derajat keabuan dan k = bilangan bulat positif

Hitam dinyatakan dengan nilai derajat keabuan terendah, yaitu 0, sedangkan putih dinyatakan dengan nilai derajat keabuan tertinggi, misalnya 15 untuk 16 level. Jumlah bit yang dibutuhkan untuk merepresentasikan nilai keabuan piksel disebut kedalaman piksel (*piksel depth*). Citra sering diasosiasikan dengan kedalaman *pikselnya*. Jadi, citra dengan kedalaman 8 bit disebut juga citra 8-bit (atau citra 256 warna).

Tabel 2.1. Skala Keabuan dan Rentang Nilai

Skala Keabuan	Rentang Nilai Keabuan	Piksel Dept
2^1 (2 nilai)	0, 1	1 bit
2^2 (4 nilai)	0 sampai 7	2 bit
2^3 (8 nilai)	0 sampai 15	3 bit
2^8 (256 nilai)	0 sampai 255	8 bit

2.7. Peningkatan Mutu Citra

Peningkatan mutu citra bertujuan untuk memperoleh citra yang dapat memberikan informasi sesuai dengan tujuan atau kepentingan pengolahan citra. Proses peningkatan mutu citra ini termasuk memperbaiki citra yang ketika proses akuisisi mengalami

gangguan yang signifikan seperti *noise*, gangguan geometris, radiometrik, dan beberapa gangguan faktor alam lainnya. Secara umum domain dalam pengingkatan mutu citra ini dapat dilakukan secara spatial dan frekuensi. Domain spatial melakukan manipulasi nilai piksel secara langsung dengan dipengaruhi oleh nilai piksel lainnya secara spatial sedangkan domain frekuensi berdasarkan frekuensi spektrum citra. Peningkatan mutu citra dapat dikaitkan dengan metode *filtering*, dimana citra tersebut di-filter untuk mendapatkan citra yang lebih baik.

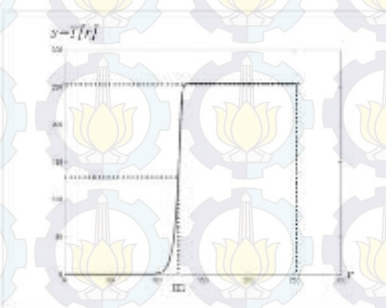
Pada sebuah titik yang memiliki ukuran *neighborhood* adalah 1×1 , dimana g bergantung hanya pada nilai f di titik (x, y) . T yang merupakan fungsi transformasi memetakan f ke suatu nilai tingkat keabuan tertentu s , dimana

$$s = T(r) \dots \dots \dots \quad (5)$$

yang dalam hal ini,

r = tingkat keabuan $f(x, y)$, dan s = tingkat keabuan $g(x, y)$

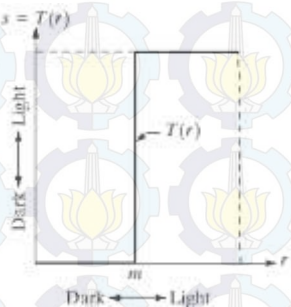
contoh dari fungsi transformasi intensitas terlihat pada Gambar 2.12.



Gambar 2.12. *Contrast-Stretching Function* [6]

Contrast-Stretching yaitu mengubah nilai kontras piksel dari piksel aslinya dengan ketentuan menggelapkan piksel dengan nilai tingkat keabuan yang lebih rendah dari m dan meningkatkan kontras t apabila nilai tingkat keabuan piksel lebih dari m .

Selain *Contrast-Stretching*, *thresholding* juga biasa digunakan untuk peningkatan mutu citr. *Thresholding* adalah mentransformasikan citra menjadi citra *biner*, yaitu citra dengan dua warna. Gambar 2.13 menunjukkan bahwa jika nilai tingkat keabuan suatu piksel $0 \leq r < m$ maka akan ditransformasi ke nilai 0, sebaliknya untuk nilai piksel $m \leq r \leq (L - 1)$ akan ditransformasikan ke nilai $L - 1$.



Gambar 2.13. Transformasi *Threshold* [6]

Hal lain yang bisa dilakukan untuk peningkatan mutu citra yaitu dengan memroses dari histogram citra tersebut. Histogram suatu citra digital dengan suatu tingkat keabuan $[0, L - 1]$ adalah suatu fungsi dikrit, dengan persamaan sebagai berikut,

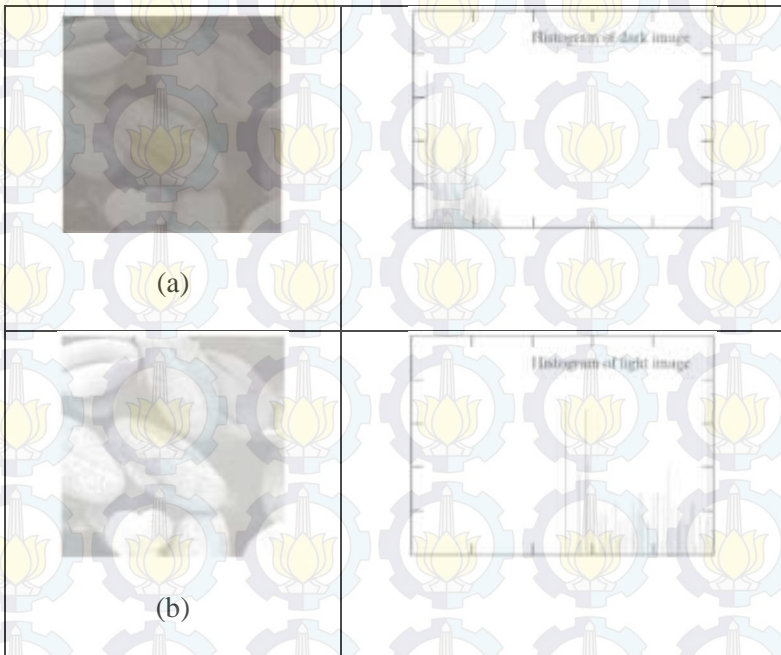
yang dalam hal ini,

r_k = tingkat keabuan ke k

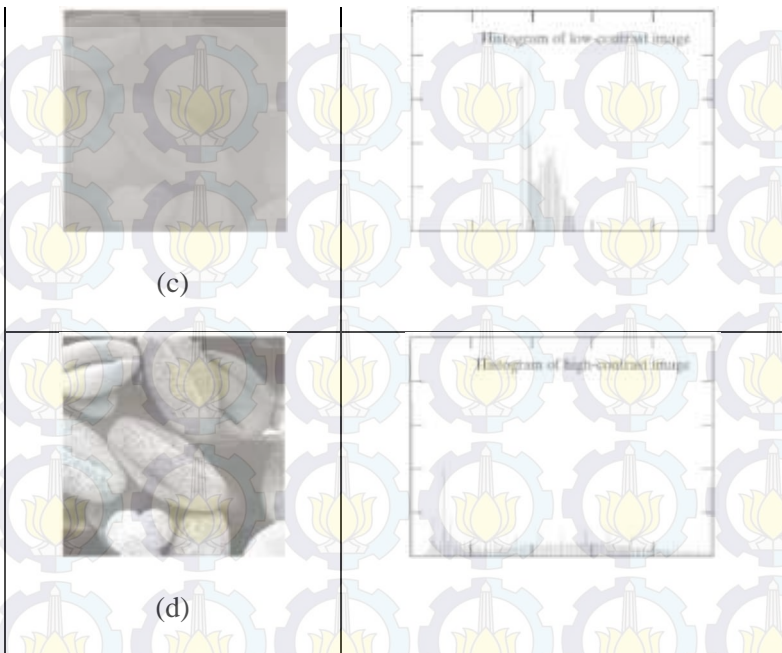
n_k = jumlah total piksel dengan tingkat keabuan r_k pada citra

$h(r_k)$ = histogram citra digital dengan ringkat keabuan r_k .

Secara umum ada empat tipe dasar dari sebuah citra seperti terlihat pada Gambar 2.14. Dari keempat tipe dasar citra tersebut, perbaikan citra dapat dilakukan yaitu dengan perataan histogram, histogram matching, pemrosesan daerah lokal histogram, dan menggunakan statistik dari histogram tersebut [4].



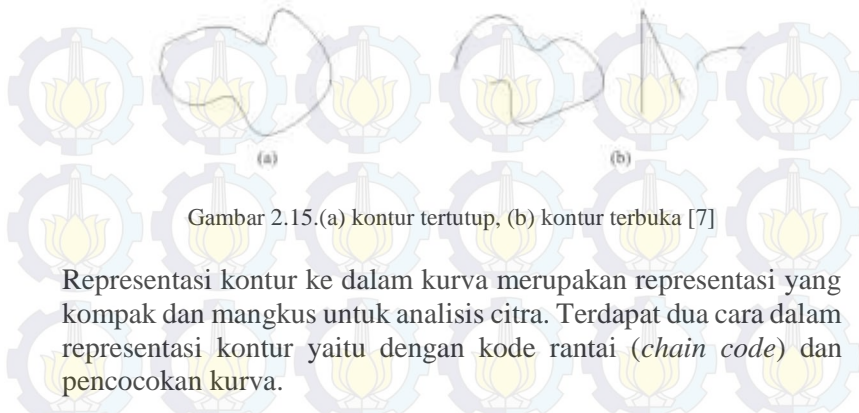
Gambar 2.14. (a). Citra Gelap, (b). Citra Terang



Gambar 2.14. Empat Dasar Tipe Citra dan Histogramnya, (c). Citra Kontras Rendah, dan (d). Citra Kontras Tinggi [4] (Lanjutan)

2.8. Kontur dan Representasi

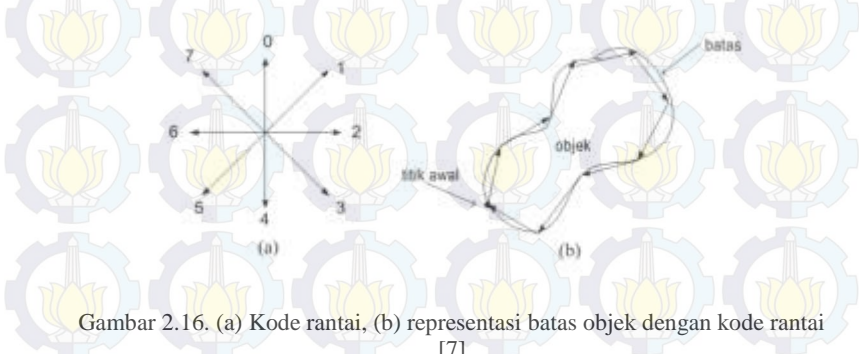
Rangkaian piksel-piksel tepi yang membentuk batas daerah (*region boundary*) disebut kontur (*contour*). Kontur dapat dibedakan menjadi dua yaitu kontur terbuka atau tertutup. Kontur tertutup berkoresponden dengan batas yang mengelilingi suatu daerah lihat Gambar 2.15. Kontur dapat direpresentasi sebagai senarai tepi (*edge list*) atau berupa kurva.



Gambar 2.15.(a) kontur tertutup, (b) kontur terbuka [7]

Representasi kontur ke dalam kurva merupakan representasi yang kompak dan mangkus untuk analisis citra. Terdapat dua cara dalam representasi kontur yaitu dengan kode rantai (*chain code*) dan pencocokan kurva.

Kode rantai (*chain code*) adalah notasi untuk mengkodekan senarai tepi yang membentuk batas daerah. Kode rantai menspesifikasikan arah setiap piksel tepi di dalam senarai tepi. Arah yang digunakan adalah 8 arah mata angin seperti yang terlihat pada pada Gambar 2.16 (a). Dimulai dari sebuah piksel tepi dan searah jarum jam, arah setiap piksel tepi yang membentuk batas objek dikodekan dengan salah satu dari delapan kode rantai. Kode rantai merepresentasikan batas objek dengan koordinat piksel tepi pertama lalu diikuti dengan senarai kode rantai.



Gambar 2.16. (a) Kode rantai, (b) representasi batas objek dengan kode rantai [7]

Ada dua macam teknik pencocakan kurva yaitu interpolasi dan penghampiran (*approximation*). Interpolasi kurva adalah mencari kurva yang melalui semua piksel tepi, sedangkan penghampiran kurva adalah mencari kurva yang paling dekat melalui piksel-piksel tepi tanpa perlu melalui semua piksel tersebut. Salah satu metode penghampiran kurva yang populer dalam pengolahan citra adalah transformasi Hough.

2.9. Transformasi Hough Lingkaran

Transformasi hough lingkaran menspesifikasikan kurva dalam bentuk parametrik. Transformasi hough lingkaran menggunakan mekanisme *voting* untuk mengestimasi nilai parameter. Setiap titik di kurva menyumbang suara untuk beberapa kombinasi parameter. Parameter yang memperoleh suara terbanyak terpilih sebagai pemenang. Persamaan lingkaran pada transformasi hough yang berpusat di titik (a, b) dengan jari-jari r adalah

Ruang parameter untuk transformasi hough lingkaran adalah $r - a - b$, sehingga matriks trimatra $P(r, a, b)$ dibutuhkan untuk menyimpan perhitungan suara.

Persamaan polar untuk setiap titik (x, y) di lingkaran:

$$x = a + r \cos q \quad \dots \dots \dots \quad (8)$$

$$y = b + r \sin q \quad \dots \dots \dots \quad (9)$$

Persamaan 8 dan 9 dapat ditulis menjadi persamaan berikut

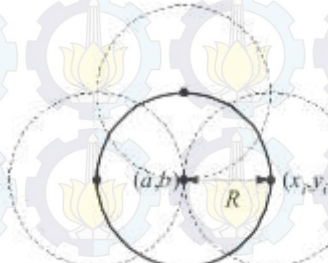
Pada operasi deteksi tepi, selain magnitudo piksel tepi, juga dihasilkan arah tepi, q . Karena itu, $\cos q$ dan $\sin q$ dapat dihitung. Misalkan (x_i, y_i) adalah piksel tepi dan q adalah arah tepi. Ada dua kasus yang ditinjau yaitu jika jari-jari lingkaran diketahui dan jika jari-jari lingkaran tidak diketahui.

2.9.1. Jari-jari Lingkaran Diketahui

Jika jari-jari lingkaran diketahui $r = R$, maka ruang parametrik trimatra, $P(r, a, b)$, dapat direduksi menjadi ruang dwimatra, $P(a, b)$.

Titik pusat lingkaran (a, b) yang mempunyai jari-jari $r = R$ dan melalui titik (x_i, y_i) dapat dihitung dengan persamaan

$$b = v_i - R \sin q \quad \dots \dots \dots \quad (13)$$



Gambar 2.17. Proses Penumpukan Voting untuk Mendeteksi Lingkaran [7]

Seperti yang ditunjukkan pada Gambar 2.16, lalu tambahkan elemen $P(a, b)$ yang bersesuaian dengan satu. Proses ini diulangi

untuk piksel-piksel tepi yang lain. Elemen matriks $P(a, b)$ yang memiliki jumlah suara di atas nilai ambang tertentu menyatakan lingkaran yang terdapat di dalam citra tepi.

2.9.2. Jari-jari Lingkaran tidak Diketahui

Jika jari-jari lingkaran tidak diketahui, maka penumpukan suara dilakukan untuk semua nilai r , $0 < r < r_{max}$, nilai a dan b untuk piksel tepi (x_i, y_i) dihitung dengan persamaan

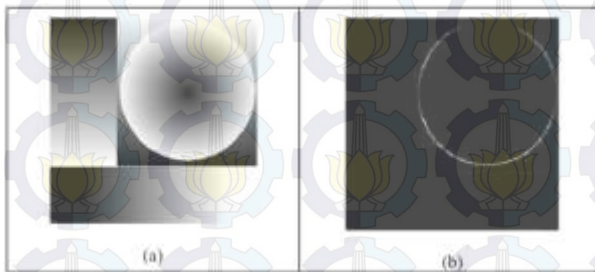
dan elemen $P(r, a, b)$ yang bersesuaian dinaikkan satu. Proses ini diulangi untuk piksel-piksel tepi yang lain. Elemen matriks $P(r, a, b)$ yang memiliki jumlah suara di atas nilai ambang tertentu menyatakan lingkaran yang terdapat di dalam citra tepi.

Persamaan 16 dan 17 dapat dimanipulasi dengan mengeliminasi r dari kedua persamaan:

$$\begin{aligned} a &= x - r \cos q \rightarrow r = \frac{(x-a)}{\cos\theta} \\ b &= y - r \cos q \rightarrow r = b - \frac{(x-a)}{\cos\theta} \sin\theta = y - (x-a)\tan\theta \\ b &= a\tan\theta - x\tan\theta + y \quad \dots \dots \dots \quad (16) \end{aligned}$$

Dengan demikian, maka ruang parametrik trimatra $P(r, a, b)$ dapat direduksi menjadi ruang dwimatra $P(a, b)$. Untuk untuk semua nilai r , yang dalam hal ini $a_1 < a < a_k$ nilai ordinat b dari titik pusat lingkaran (a, b) yang melalui titik (x_i, y_i) dapat dihitung dengan persamaan (11), lalu tambahkan elemen $P(a, b)$ yang bersesuaian dengan satu. Proses ini diulangi untuk piksel-piksel

tepi yang lain. Elemen matriks $P(a, b)$ yang memiliki jumlah suara di atas nilai ambang tertentu menyatakan lingkaran yang terdapat di dalam citra tepi. Gambar 2.18 memperlihatkan hasil transformasi Hough untuk mendeteksi lingkaran dari citra slope dengan menggunakan nilai ambang $T = 30$.



Gambar 2.18. (a) Citra slope, (b) hasil deteksi lingkaran dengan Transformasi Hough [7]

2.10. Evaluasi Kemampuan Pendekatan Sistem

Evaluasi sistem dilakukan untuk mengetahui seberapa handal sistem yang telah dibuat dengan mengukur nilai kemampuan pendekatannya. Sebelum melakukan perhitungan, tentukan terlebih dahulu jumlah data yang terklarifikasi benar dan yang terklarifikasi salah. Jumlah data yang terklarifikasi benar adalah jumlah data hasil klarifikasi yang memiliki prediksi kelas yang sesuai dengan data sebenarnya (pengamatan manual oleh tenaga ahli). Jumlah data yang terklarifikasi salah adalah jumlah data hasil klarifikasi yang memiliki prediksi kelas yang tidak sesuai dengan data sebenarnya. Nilai akurasi dapat didapatkan dengan persamaan 19 sebagai berikut ini.

$$\text{Kemampuan Pendekatan} = \frac{\text{Jumlah Data Terklarifikasi Benar}}{\text{Total Data}} \dots (17)$$

2.11. OpenCV

OpenCV adalah sebuah *library open source* untuk visi komputer yang bisa didapatkan dari <http://SourceForge.net/projects/opencvlibrary>. *Library* ini ditulis dengan bahasa C dan C++, serta dapat dijalankan dengan Linux, Windows, dan Mac OS X. OpenCV dirancang untuk efisiensi komputasional dan dengan fokus yang kuat pada aplikasi *real-time*.

Salah satu tujuan OpenCV adalah untuk menyediakan infrastruktur visi komputer yang mudah digunakan yang membantu orang-orang dalam membangun aplikasi-aplikasi visi yang *sophisticated* dengan cepat. *Library* pada OpenCV berisi lebih dari 500 fungsi yang menjangkau berbagai area dalam permasalahan visi, meliputi inspeksi produk pabrik, pencitraan medis, keamanan, antarmuka pengguna, kalibrasi kamera, visi stereo, dan robotika. Karena visi komputer dan pembelajaran mesin seringkali berkaitan, OpenCV juga memiliki *Machine Learning Library* (MLL). *Sublibrary* ini berfokus pada pengenalan pola statistik dan *clustering*. MLL sangat berguna untuk tugas-tugas visi yang berada dalam misi inti OpenCV, tetapi MLL cukup umum digunakan untuk permasalahan pembelajaran mesin.

Lisensi *open source* pada OpenCV telah distrukturisasi sehingga pengguna dapat membangun produk komersial menggunakan seluruh bagian pada OpenCV. Tidak ada kewajiban untuk meng-*open source* produk tersebut atau untuk memberikan peningkatan ke domain publik. Sebagian karena peraturan lisensi liberal ini, maka terdapat komunitas pengguna dalam jumlah yang sangat besar, termasuk di dalamnya orang-orang dari perusahaan besar (seperti IBM, Microsoft, Intel, SONY, Siemens, dan Google) serta pusat-pusat penelitian (seperti Stanford, MIT, CMU, Cambridge, dan INRIA).

Sejak peluncuran pertamanya pada Januari 1999, OpenCV telah digunakan pada banyak aplikasi, produk, dan usaha-usaha penelitian. Aplikasi-aplikasi ini meliputi penggabungan citra pada peta web dan satelit, *image scan alignment*, pengurangan *noise* pada citra medis, sistem keamanan dan pendekripsi gangguan, sistem pengawasan otomatis dan keamanan, sistem inspeksi pabrik, kalibrasi kamera, aplikasi militer, serta kendaraan udara tak berawak, kendaraan darat, dan kendaraan bawah air.

OpenCV adalah singkatan dari *Open Computer Vision*, yaitu *library open source* yang dikhususkan untuk melakukan pengolahan citra. Tujuannya adalah agar komputer mempunyai kemampuan yang mirip dengan cara pengolahan visual pada manusia. *Library* ini dibuat untuk bahasa C/C++ sebagai optimasi aplikasi *real-time*. OpenCV memiliki API (*Application Programming Interface*) untuk pengolahan tingkat tinggi maupun tingkat rendah. Pada OpenCV juga terdapat fungsi-fungsi siap pakai untuk *me-load*, menyimpan, serta mengakuisisi gambar dan video.

Library OpenCV (7) memiliki fitur-fitur sebagai berikut:

- Manipulasi data gambar (mengalokasi memori, melepaskan memori, menduplikasi gambar, mengatur serta mengkonversi gambar)
- *Image/Video I/O* (bisa menggunakan kamera yang sudah didukung oleh libraryini)
- Manipulasi matriks dan vektor, serta terdapat juga routines aljabar linear (*products*, *solvers*, *eigenvalues*, *SVD*)
- Pengolahan citra dasar (penapisan, pendekripsi tepi, sampling dan interpolasi, konversi warna, operasi morfologi, histogram, piramida citra)
- Analisis struktural

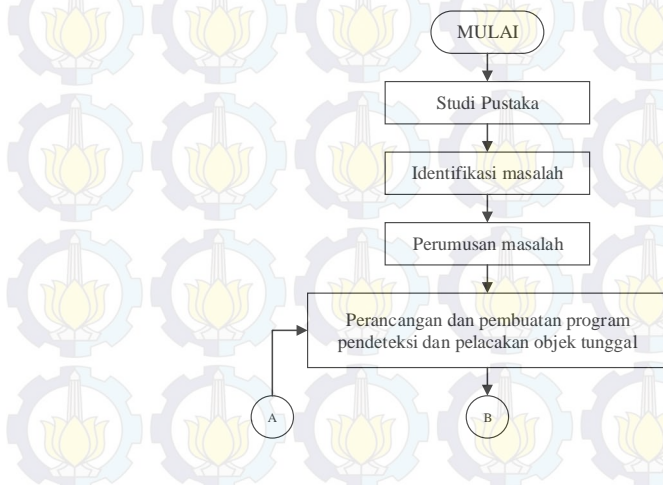
- Kalibrasi kamera
- Pendekstrian gerakan
- Pengenalan objek
- GUI dasar (menampilkan gambar dan video, mengontrol *mouse* atau *keyboard, scrollbar*)
- *Image labelling* (garis, kerucut, poligon, penggambaran teks)

Libraries OpenCV menyediakan banyak algoritma visi komputer dasar, dengan keuntungan bahwa fungsi-fungsi tersebut telah diuji dengan baik dan digunakan oleh para peneliti di seluruh dunia. *Libraries* OpenCV juga menyediakan sebuah modul untuk pendekstrian objek yang menggunakan algoritma Viola Jones.

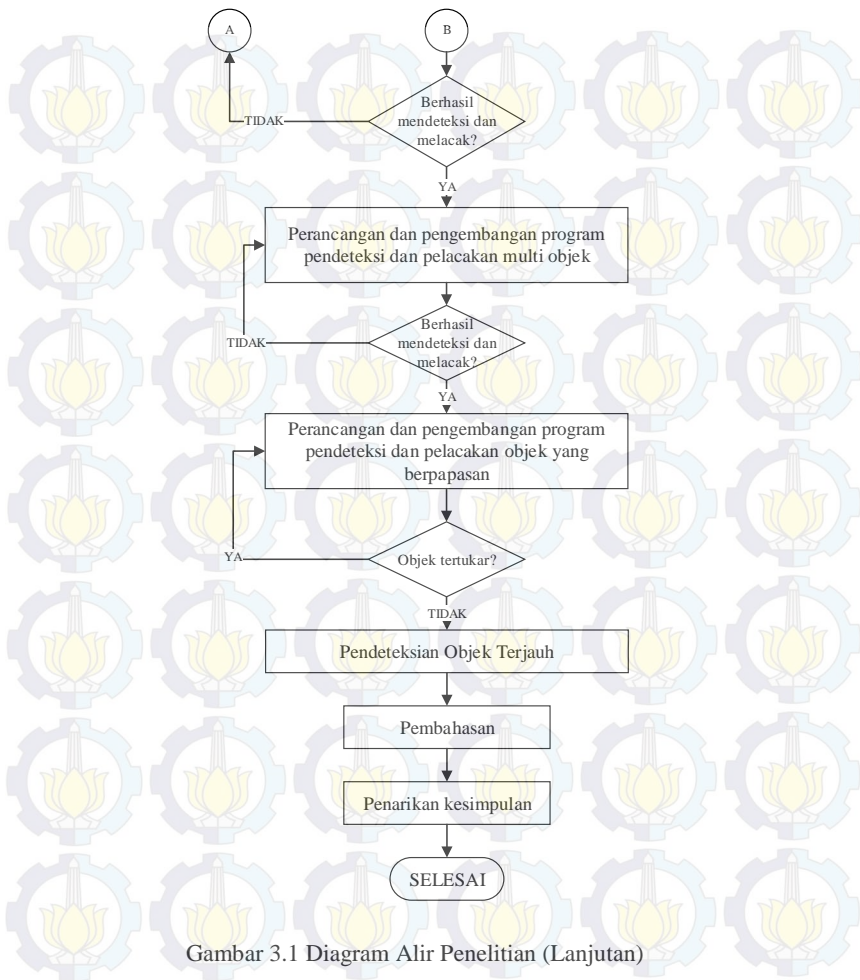
BAB III METODOLOGI

Metodologi penelitian ini menggambarkan langkah-langkah yang nantinya akan dilakukan dalam penelitian ini. Tujuan dari pembuatan metodologi penelitian ini yaitu agar proses dalam penelitian ini terstruktur dengan baik dan dapat mencapai sasaran. Metodologi penelitian yang digunakan dalam penelitian ini secara garis besar dapat dibagi menjadi beberapa tahapan, yaitu tahap studi pustaka, tahap identifikasi masalah, tahap perumusan masalah, tahap perancangan program, tahap pengumpulan dan pengolahan data serta tahap penarikan kesimpulan. Selain itu juga akan dijelaskan spesifikasi alat dan parameter proses yang digunakan dalam penelitian ini. Adapun tahapan-tahapan yang dilakukan dalam proses penelitian ini seperti diagram alir pada Gambar 3.1.

3.1. Diagram Alir Penelitian



Gambar 3.1 Diagram Alir Penelitian



Gambar 3.1 Diagram Alir Penelitian (Lanjutan)

3.2. Kajian Pustaka

Studi kepustakaan diperlukan sebagai acuan referensi penulis untuk mendalami permasalahan yang akan diteliti mengenai pendektsian dan pelacakan objek tunggal maupun multi

objek dari buku-buku referensi dan jurnal yang berkaitan dengan permasalahan yang akan dibahas.

3.3. Identifikasi Masalah

Identifikasi masalah dilakukan dengan menyusun sistem pendektsian dan pelacakan objek tunggal dan multi objek.

3.4. Perumusan Masalah

Perumusan masalah mencangkup perancangan program untuk mendekksi dan melacak objek tunggal dan multi objek.

3.5. Perancangan dan Pengembangan Program

Perancangan dan pengembangan program pendektsian lebih lanjut akan dibahas pada Bab 4.

3.5.1. Inisialisasi Program

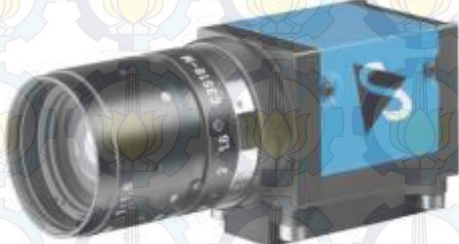
Ada beberapa hal yang perlu diperhatikan dalam tahap inisialisasi program. Diantarnya sebagai berikut

1. Objek yang dideteksi adalah objek dengan bentuk bulat seperti ditunjukkan pada Gambar 3.3 berikut ini



Gambar 3.2. Objek Pendektsian dan Pelacakan

2. Pengolahan data menggunakan notebook.
3. Menggunakan kamera usb yang terlihat pada Gambar 3.4 dan spesifikasi dapat dilihat pada Lampiran 1.



Gambar 3.3. Kamera usb The Imaging Source DFK31BU03

3.5.2. Tahapan Proses

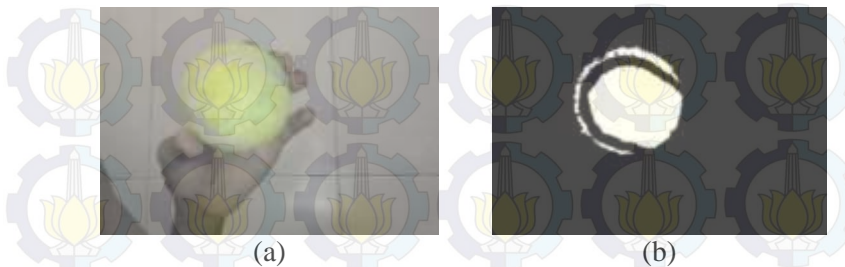
Secara umum dalam penelitian ini akan dilakukan dalam beberapa tahapan proses sebagai berikut,

1. Persiapan

Pada tahap ini, ada beberapa hal yang dipersiapkan diantaranya pembuatan tampilan window untuk gambar asli, gambar segmentasi, gambar hasil, dan posisi objek terdeteksi.

2. *Preprocessing*

Proses ini diawali proses segmentasi objek dari latar belakangnya yaitu dengan menentukan *depth threshold* untuk menentukan wilayah objek berada. Hal ini digunakan untuk mengantisipasi kesalahan dalam menentukan objek, sebagai contoh segmentasi dengan menggunakan *skin filter* terlihat pada Gambar 3.4. Pada Gambar (a) merupakan citra sebelum segmentasi sedangkan Gambar (b) merupakan citra setelah dilakukan segmentasi.



Gambar 3.4. Segmentasi Objek

Segmentasi dengan menggunakan skin filter yang sangat dipengaruhi dengan masalah pencahayaan. Karena sangat terpengaruh dengan cahaya, segmentasi didasarkan berdasarkan pada keadaan histogram dari objek. Dari histogram tersebut akan didapatkan range warna yang bisa digunakan untuk pelacakan objek pada *frame* berikutnya. Lebih lanjut akan dijelaskan pada Bab IV.

3. Mendeteksi objek

Pada pendeksi objek ini dilakukan dengan pendekatan kontur, yaitu mencari kontur dari objek melalui *binary image*. Kontur yang diambil adalah kontur tepi dari objek linkaran. Contoh hasil pendeksi terlihat pada Gambar 3.5. Pencarian tepi objek dilakukan terhadap bidang 2D karena pencarian kontur dilakukan dalam bidang 2D.

4. Pelacakan objek

Pelacakan objek dilakukan dengan metode *particle filter* berdasarkan histogram warna RGB. Hasil yang didapat dari pelacakan ini akan diolah untuk mendapatkan tingkat *error* dan

kemampuan pendektsian dari program. Kemampuan pendektsian dihitung dari perbandingan objek yang berhasil dideteksi dengan jumlah objek yang ada.

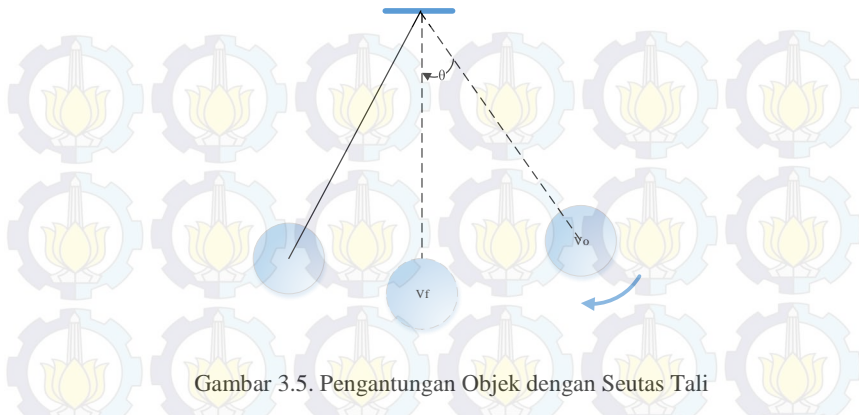
3.6. Pembahasan

Adapun beberapa percobaan yang dilakukan dalam penelitian ini, diantaranya sebagai berikut

1. Mendekksi keberadaan objek tidak bergerak (diam) dalam kondisi 1 dan kondisi 2.
2. Mendekksi dan melacak pergerakan satu buah objek dengan beberapa macam kecepatan dalam kondisi 1 dan kondisi 2.
3. Mendekksi dan melacak pergerakan satu buah bola yang bergerak menjauh.
4. Mendekksi dan melacak pergerakan multi objek yang saling bersilangan.

Kondisi 1 dilakukan pada malam hari dengan dibantu pencahayaan lampu dan kondisi 2 pada siang hari dengan tidak menerima cahaya matahari secara langsung.

Variasi kecepatan untuk objek tunggal dilakukan dengan menggantungkan objek dengan seutas tali seperti terlihat pada Gambar 3.5 dengan panjang tali adalah 0,35 meter. Dari masing-masing percobaan akan didapatkan *error* yang terjadi dari setiap *frame*. Selain itu juga akan dianalisa kemampuan pendektsian dari program yang digunakan dengan menganalisa hasil deteksi.



Gambar 3.5. Pengantungan Objek dengan Seutas Tali

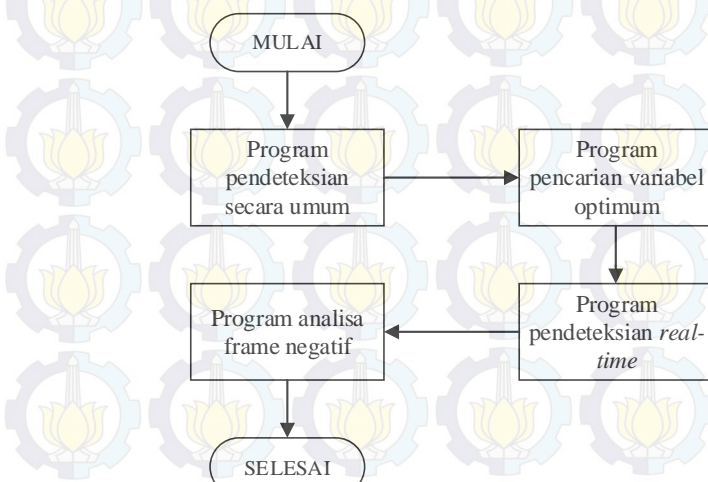
3.7. Kesimpulan dan Saran

Dari keempat percobaan yang dilakukan akan didapatkan suatu kesimpulan dan saran serta rekomendasi untuk penelitian lebih lanjut.

halaman ini sengaja dikosongkan

BAB IV PERCOBAAN

Proses pendekripsi objek seperti terdapat pada diagram alir perancangan program Gambar 4.1.

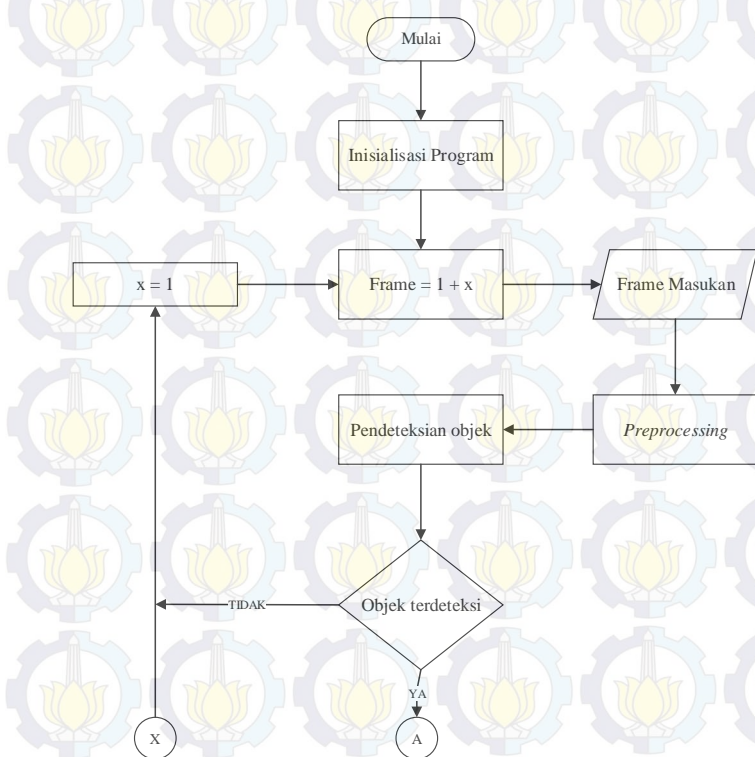


Gambar 4.1. Diagram Alir Proses Perancangan Program

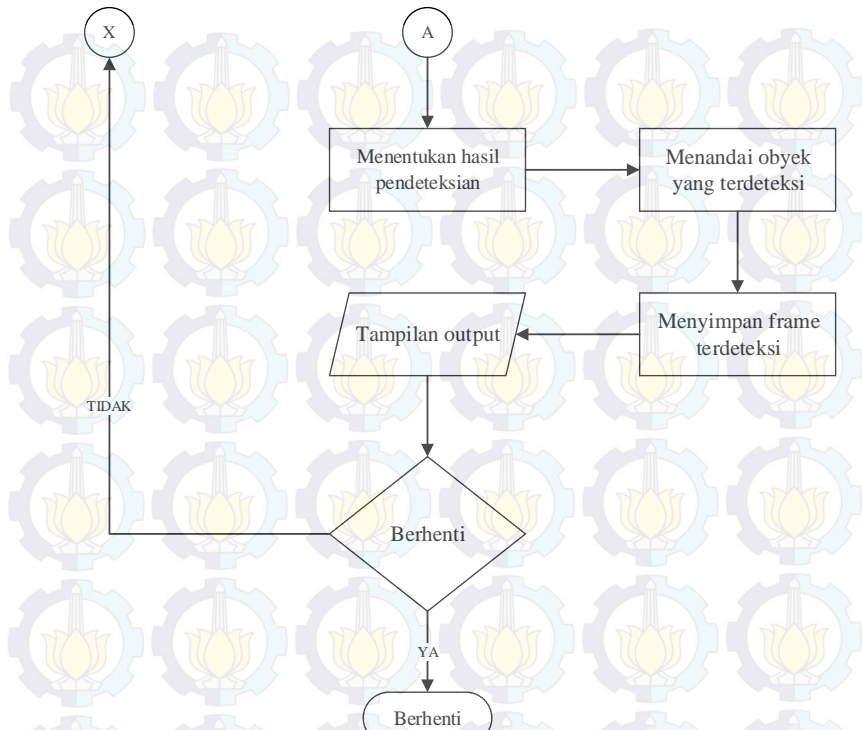
Gambar 4.1 tersebut, secara umum proses perancangan program dibagi menjadi empat proses yaitu pembuatan program pendekripsi objek, program pencarian variabel , program pendekripsi secara *real-time*, dan program untuk analisa *frame* negatif (*frame* kesalahan pendekripsi objek). Setiap proses memiliki peranan masing-masing.

4.1. Program Pendeksiian Objek

Diagram alir program pendeksiian objek terlihat seperti pada diagram alir Gambar 4.2.

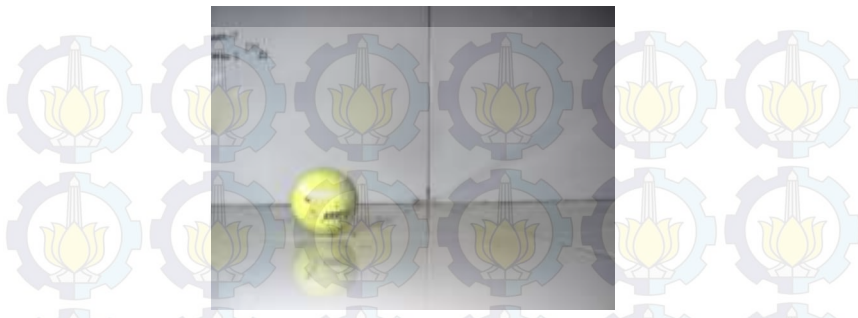


Gambar 4.2. Diagram Alir Program Pendeksiian



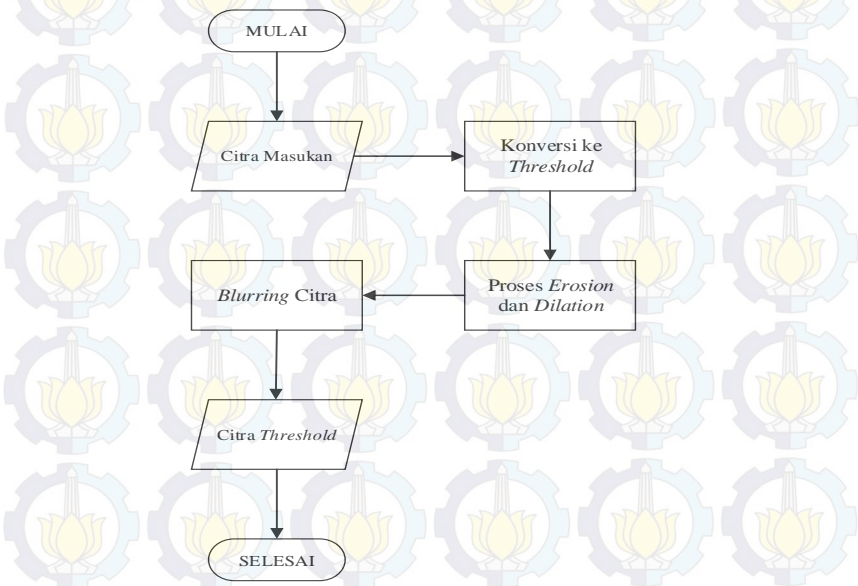
Gambar 4.2. Diagram Alir Program Pendekstasian (Lanjutan)

Frame hasil dari *capture* kamera USB berbentuk dalam format citra RGB (*Red Green Blue*) 8-bit dengan resolusi citra 640 x 480 piksel. Hasil dari *frame* tersebut seperti terlihat pada Gambar 4.3.

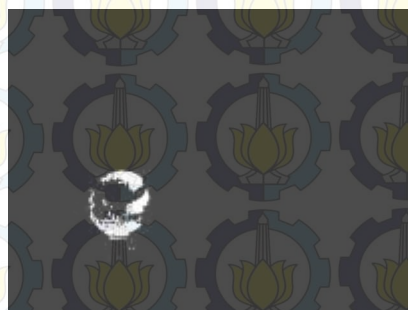


Gambar 4.3. Citra Asli

Citra format RGB tersebut, selanjutkan akan dilakukan proses *preprocessing*. Digaram alir dari proses *preprocessing* seperti terlihat pada Gambar 4.4.

Gambar 4.4. Diagram Alir Proses *Preprocessing*

Citra format RGB selanjutnya dirubah ke dalam format citra *threshold*. Tipe *threshold* yang digunakan adalah *binary threshold* dengan *range* nilai RGB minimum (0, 0, 0) – maksimum (255, 255, 255) yang merupakan citra RGB 8-bit yaitu 256. Hasil perubahan citra RGB ke format *threshold* terlihat seperti pada Gambar 4.5.



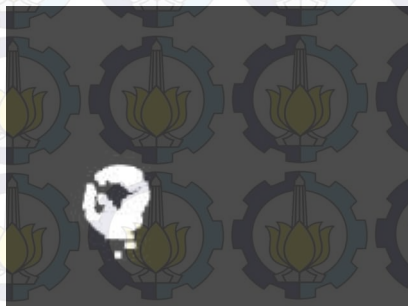
Gambar 4.5. Citra *Threshold*

Citra *threshold* kemudian dilakukan *erode*. *Erode* dilakukan dengan pengecilan 2x2 piksel. Hasil *erode* terlihat seperti pada Gambar 4.6.



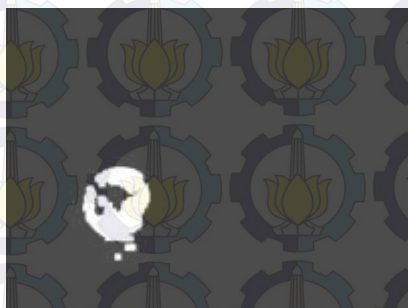
Gambar 4.6. Citra *Threshold* Hasil *Erode* 2x2 piksel

Citra *threshold* yang sudah di-*erode* kemudian dilakukan *dilate* dengan ukuran 3x3 piksel. Hasil dari *dilate* tersebut terlihat seperti pada Gambar 4.7.



Gambar 4.7. Citra *Threshold* Hasil dilade 9x9 Piksel

Citra *threshold* yang sudah dilakukan *erode* dan *dilate* selanjutnya dilakukan *smoothing*. *Smoothing* pada format ini difungsikan untuk mempermudah pendeksihan supaya hasil pendeksihan sesuai yang diharapkan. Penge-blur-an dilakukan dengan kernel size 3x3 dan hasil seperti terlihat pada Gambar 4.8.



Gambar 4.8. Hasil *Smoothing* Citra *Treshold*

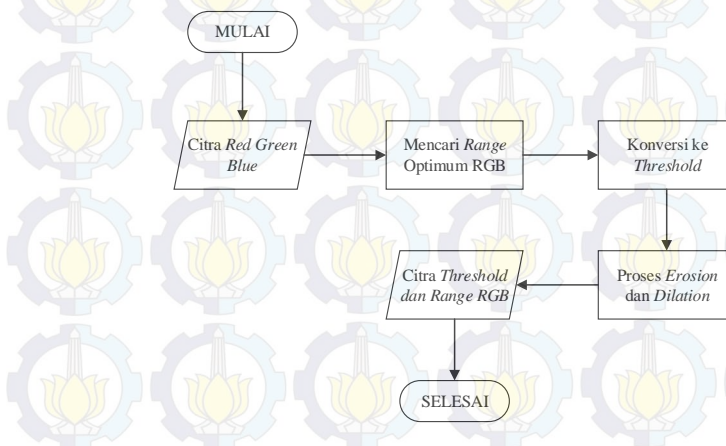
Pendeteksian objek menggunakan `CV_HOUGH_CIRCLES` yang merupakan fungsi dari *library* opencv. Variabel dari `CV_HOUGH_CIRCLE`s tersebut antara lain inverse rasio resolusi, jarak minimum antar pusat lingkaran, parameter 1, parameter 2, radius minimum lingkaran, dan radius maksimum lingkaran. Variabel tersebut akan dicari dengan menggunakan program pencarian variabel .

Objek terdeteksi mempunyai informasi diantanya koordinat pusat objek terdeteksi (x,y) dan radius objek terdeteksi dalam piksel. Penandaan lokasi objek dilakukan dengan memakai *rectangle* dengan warna *rectangle* didasarkan pada warna citra *threshold* yang sebelumnya merupakan citra RGB.

4.2. Pencarian Nilai Variabel Pendekstrian

4.2.1. Variabel Range Warna Threshold

Diagram pencarian *range* warna untuk merubah citra RGB ke citra *threshold* dilakukan seperti Gambar 4.9.



Gambar 4.9. Diagram Alir Pencarian *Range* Warna

Hasil citra RGB kemudian dilakukan pencarian *range* citra RGB perubahan ke citra *threshold* seperti pada Gambar 4.10.

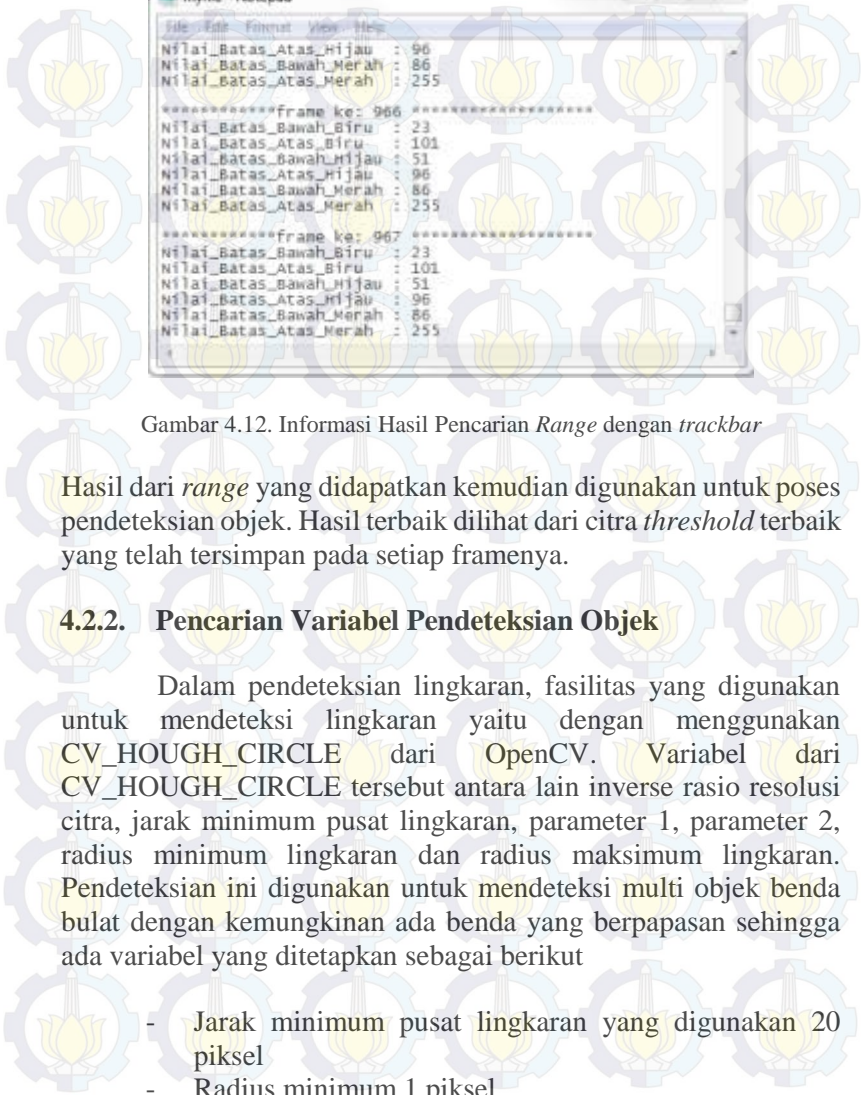


Gambar 4.10. *Trackbar* Pencari Perubahan Citra RGB ke Citra *Threshold*

Pencarian *range* tersebut akan diperoleh perubahan *threshold* dengan menggunakan *trackbar* seperti pada Gambar 4.11 dan informasi seperti terlihat pada Gambar 4.12.



Gambar 4.11. Citra *Threshold* dari *Trackbar*



```

 myfile - Notepad
 File Edit Format View Help
 Nilai_Batas_Atas_Hijau : 96
 Nilai_Batas_Bawah_Merah : 86
 Nilai_Batas_Atas_Merah : 255
 ****frame ke: 966 ****
 Nilai_Batas_Bawah_Biru : 23
 Nilai_Batas_Atas_Biru : 101
 Nilai_Batas_Bawah_Hijau : 51
 Nilai_Batas_Atas_Hijau : 96
 Nilai_Batas_Bawah_Merah : 86
 Nilai_Batas_Atas_Merah : 255
 ****frame ke: 967 ****
 Nilai_Batas_Bawah_Biru : 23
 Nilai_Batas_Atas_Biru : 101
 Nilai_Batas_Bawah_Hijau : 51
 Nilai_Batas_Atas_Hijau : 96
 Nilai_Batas_Bawah_Merah : 86
 Nilai_Batas_Atas_Merah : 255

```

Gambar 4.12. Informasi Hasil Pencarian *Range* dengan trackbar

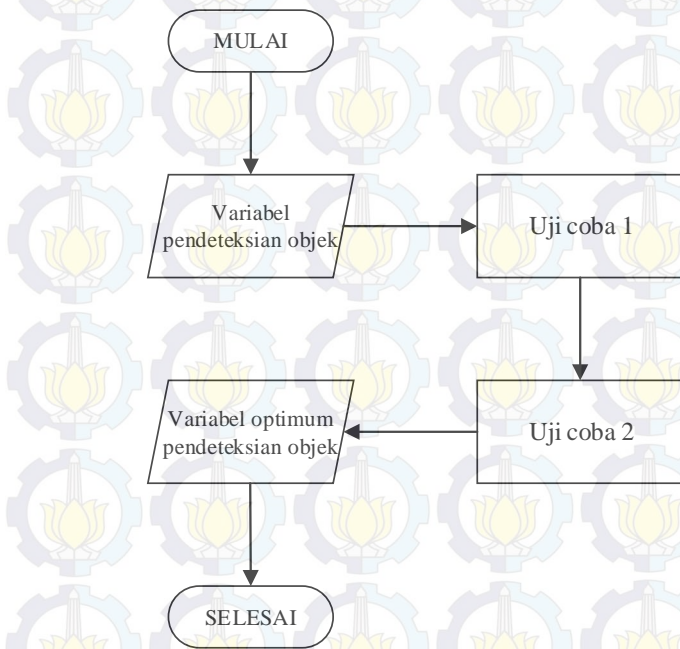
Hasil dari *range* yang didapatkan kemudian digunakan untuk poses pendektsian objek. Hasil terbaik dilihat dari citra *threshold* terbaik yang telah tersimpan pada setiap framanya.

4.2.2. Pencarian Variabel Pendektsian Objek

Dalam pendektsian lingkaran, fasilitas yang digunakan untuk mendekksi lingkaran yaitu dengan menggunakan CV_HOUGH_CIRCLE dari OpenCV. Variabel dari CV_HOUGH_CIRCLE tersebut antara lain inverse rasio resolusi citra, jarak minimum pusat lingkaran, parameter 1, parameter 2, radius minimum lingkaran dan radius maksimum lingkaran. Pendektsian ini digunakan untuk mendekksi multi objek benda bulat dengan kemungkinan ada benda yang berpapasan sehingga ada variabel yang ditetapkan sebagai berikut

- Jarak minimum pusat lingkaran yang digunakan 20 piksel
- Radius minimum 1 piksel
- Radius maksimum 200 piksel

Sedangkan untuk invers rasio resolusi citra, parameter 1, dan parameter 2 akan dicari nilai variabel dengan melakukan percobaan dengan menguji pada sejumlah *frame* pada masing-masing objek yang akan dideteksi. Pencarian variabel tersebut seperti yang ditunjukkan pada diagram alir Gambar 4.13. Parameter 1 adalah batas *threshold* untuk deteksi pusat dan parameter 2 batas *threshold* untuk mendeteksi *canny*.



Gambar 4.13. Diagram Alir Pencarian Variabel

Skenario uji coba yang dilakukan untuk mencari variabel adalah sebagai berikut.

1. Uji coba 1. Uji coba ini bertujuan untuk mengetahui pengaruh variabel inverse rasio resolusi, parameter 1, dan parameter 2.
2. Uji coba 2. Uji coba ini bertujuan untuk mengetahui variabel dari inverse rasio resolusi citra, parameter 1, dan parameter 2.

Masing-masing uji coba dilakukan dengan *trial* dan *error* dimana hasil terbaik dilihat dari hasil yang memiliki keberhasilan paling tinggi dan juga *error* paling rendah.

4.2.2.1. Uji Coba 1

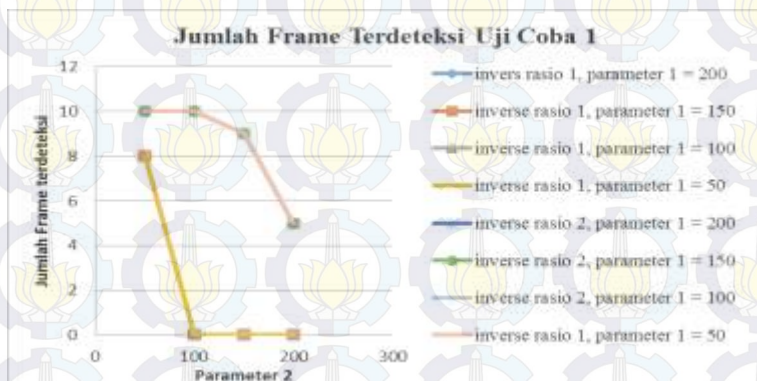
Pada uji coba ini digunakan masukan berupa citra yang terdapat objek berbentuk lingkaran di dalamnya. Uji coba ini bertujuan untuk mengetahui pengaruh dari variabel pendekatan lingkaran invers rasio resolusi, parameter 1, dan parameter 2 dalam pendekatan dari keberadaan objek berbentuk lingkaran. Objek lingkaran yang digunakan untuk uji coba 1 seperti terlihat pada Gambar 4.14.



Gambar 4.14. Objek Uji Coba 1[8]

Hasil uji coba 1 menggunakan inputan sebanyak 10 *frame* seperti pada Lampiran 2 dengan kondisi yang tidak sama

tetapi masih mempunyai satu buah objek yang sama diperoleh hubungan seperti terlihat pada Gambar 4.15.



Gambar 4.15. Hubungan Inverse Rasio Resolusi, Parameter 1, dan Parameter 2 terhadap Proses Pendekripsi

Dari grafik tersebut terlihat bahwa kemungkinan terdeteksi lebih besar ketika inverse rasio resolusi citra lebih besar dan parameter 2 semakin kecil. Hal tersebut terlihat ketika invers rasio resolusi sebesar 2 dan parameter 2 sebesar 200 sudah bisa mendekripsi keberadaan objek sebanyak 5 frame dari 10 frame masukan. Sedangkan dengan invers rasio resolusi sebesar 1 dan parameter 2 sebesar 200 masih belum bisa mendekripsi keberadaan objek. Untuk besaran pada parameter 1 tidak terlalu berpengaruh terhadap proses pendekripsi.

4.2.2.2. Uji Coba 2

Pada uji coba ini, inputan yang digunakan adalah inputan dari *frame* objek sebanyak 10 *frame*. Uji coba 2 dilakukan dengan menggunakan variasi dari parameter 1 dan parameter 2. Variasi dari parameter 1 yaitu 50, 100, 150, 200, dan 250. Sedangkan

variasi dari parameter 2 yaitu antara 50 sampai 200 dengan kenaikan angka sebesar 5.

Hasil dari pendekalian ini akan dianalisa berdasarkan hasil *frame* keluaran. Hasil tersebut akan dibedakan menjadi empat jenis *frame*. *Frame* positif digunakan jika pada *frame* tersebut pendekalian berada di dalam objek sedangkan *frame* negatif digunakan untuk kesalahan pendekalian. *Frame* negatif (kesalahan pendekalian) dibedakan menjadi tiga jenis diantaranya negatif tipe 1, tipe 2, dan tipe 3 seperti terlihat pada Gambar 4.16. Tipe 1 digunakan jika objek yang seharusnya terdeteksi tetapi tidak terdeteksi, tipe 2 digunakan jika jumlah pendekalian pada objek lebih dari jumlah objek, sedangkan tipe 3 digunakan jika pendekalian berada di luar keberadaan objek. Hasil dari uji coba 2 seperti yang terlampir pada Lampiran 4.



a. Kesalahan Pendekalian
Tipe 1



b. Kesalahan
Pendekalian Tipe 2



c. Kesalahan Pendekalian
Tipe 2

Gambar 4.16. Tipe Kesalahan Pendekalian Objek

halaman ini sengaja dikosongkan

BAB V PEMBAHASAN

Pada bab ini akan dibahas hasil data pencarian variabel *range* warna, pendektsian objek tunggal, dan pendektsian multi objek yang telah didapatkan kemudian akan dianalisa dari data yang diperoleh tersebut.

5.1. Pencarian *Range* Variabel Pendektsian

Hasil dari pencarian *range* RGB (*Red*(merah), *Green*(Hijau), *Blue*(Biru)) seperti terlihat pada Tabel 5.1.

Tabel 5.1. Hasil Pencarian *Range* RGB

No.	Objek	Merah		Hijau		Biru	
		Min.	Mak.	Min.	Mak.	Min.	Mak.
1	Merah	160	255	0	75	0	90
2	Hijau	40	90	100	255	60	180
3	Ungu	30	125	30	70	50	150

Range warna RGB tersebut didapatkan dari objek seperti terlihat pada Gambar 5.1.

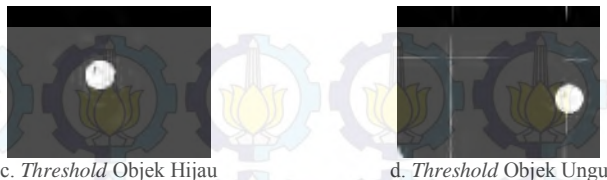


a. Objek Asli



b. Threshold Objek Merah

Gambar 5.1. Objek Asli dan Hasil *Threshold*

Gambar 5.1. Objek Asli dan Hasil *Threshold* (Lanjutan)

Dari ketiga objek tersebut didapatkan jarak antara batas jarak warna minimum dan maksimum dari masing-masing objek seperti pada Tabel 5.2.

Tabel 5.2. Jarak Warna RGB Objek

No.	Objek	Merah	Hijau	Biru	Jumlah Kombinasi
1	Merah	95	75	90	641.250
2	Hijau	50	155	120	775.000
3	Ungu	95	40	100	380.000

Kombinasi warna primer (merah, hijau, biru) terbanyak dimiliki objek warna hijau dengan 755.000 kombinasi, kemudian objek merah dengan 641.250 kombinasi dan kombinasi paling sedikit dimiliki objek ungu dengan 380.000 kombinasi warna RGB.

Dengan membagi warna RGB 8-bit (0, 255) menjadi dua bagian terpisah dengan nilai tengah sebesar 125 maka akan didapatkan *range* yang berada di *range* warna bagian atas dan bagian bawah. *Range* tersebut seperti ditunjukkan pada Tabel 5.3.

Tabel 5.3. *Range* Bagian Atas dan Bagian Bawah

No.	Objek	Merah		Hijau		Biru		Total	
		Bawah	Atas	Bawah	Atas	Bawah	Atas	Bawah	Atas
1	Merah	0	95	75	0	90	0	165	95
2	Hijau	50	0	25	130	65	55	140	185
3	Ungu	95	0	40	0	75	25	210	25

Dalam *range* warna 8-bit tersebut, warna yang mendekati nilai terkecil akan cenderung gelap dan sebaliknya apabila warna tersebut mendekati nilai terbesar akan cenderung memiliki warna terang. Dari Tabel 5.3 tersebut, objek merah memiliki perbandingan lebih banyak bagian bawah dari pada bagian atas dengan perbandingan 165:95. Objek hijau memiliki perbandingan lebih banyak bagian atas dibandingkan bagian bawah dengan perbandingan sebesar 140:185. Sedangkan objek ungu memiliki perbandingan lebih banyak bagian bawah dari pada bagian atas dengan perbandingan sebesar 210:25.

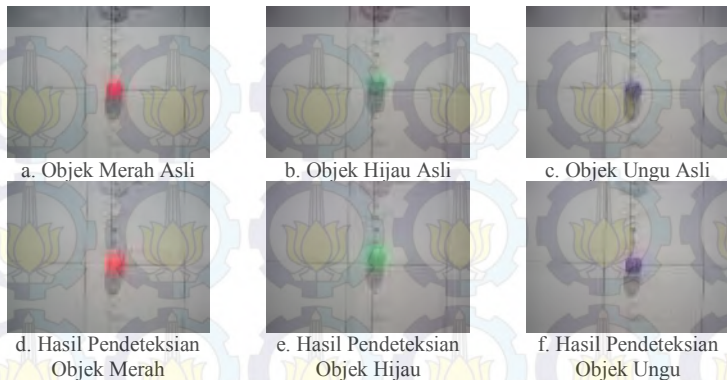
Besar perbandingan warna bagian atas dan bawah akan mempengaruhi pendektsian objek apabila terdapat objek dengan warna tertentu terdapat pada *frame*. Yang paling menonjol perbandingan warna adalah pada objek ungu dimana bagian bawah 8 kali lebih banyak dari bagian atas. Hal ini bisa menyebabkan apabila terdapat objek cenderung gelap dan berebntuk lingkaran akan terdeteksi sebagai objek ungu.

5.2. Objek Tunggal

Pendeteksian objek tunggal dilakukan pada setiap objek yaitu bola dengan warna dominan merah, hijau, dan ungu. Pendektsian dilakukan pada dua kondisi berbeda yaitu pada kondisi 1 dan kcondisi 2.

5.2.1. Kemampuan Pendektsian Objek Diam

Objek yang digunakan untuk mencari kemampuan pendektsian objek dalam kondisi diam seperti terlihat pada Gambar 5.2.



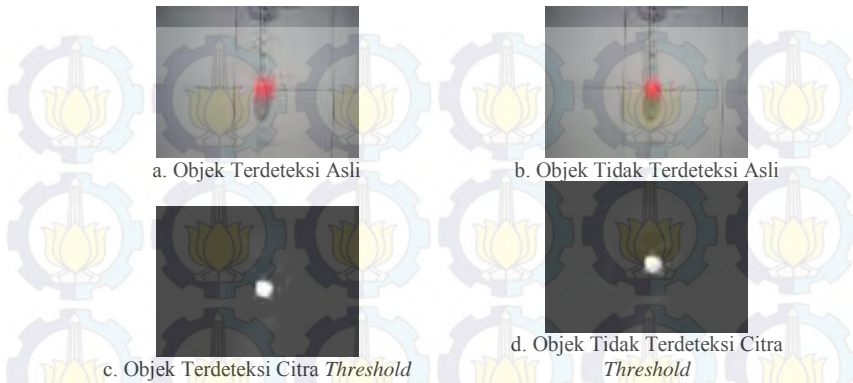
Gambar 5.2. Hasil Pendektsian Objek Diam Kondisi 1

Pendeteksian objek diam pada kondisi 1 dengan jumlah *frame* sebanyak 1000 *frame* diperoleh hasil seperti pada Tabel 5.4.

Tabel 5.4. Hasil Pendektsian Objek Diam Kondisi 1

No.	Objek	Objek Terdeteksi	Kesalahan Pendektsian Objek			Kemampuan pendektsian (%)
			Tipe 1	Tipe 2	Tipe 3	
1	Merah	997	3	0	0	99,7 %
2	Hijau	957	43	0	0	95,7 %
3	Ungu	996	4	0	0	99,6 %

Kemampuan pendektsian tertinggi dimiliki objek merah dengan kemampuan pendektsian sebesar 99,7 % diikuti objek ungu dengan 99,6 %, dan terendah dimiliki objek hijau dengan kemampuan pendektsian sebesar 95,7 %. Hal tersebut terjadi dikarenakan pada kondisi 1 dimana dilakukan pada malam hari, *range* warna dengan warna dominan gelap akan mudah dieteksi daripada warna dengan dominan terang. Keseluruhan objek tidak terdeteksi adalah objek tidak terdeteksi tipe 1. Contoh perbandingan hasil *preprocessing* objek merah seperti terlihat pada Gambar 5.3.



Gambar 5.3. Perbandingan Hasil *Preprocessing* Objek Merah Terdeteksi dan Objek Merah Tidak Terdeteksi

Citra *threshold* hasil perbandingan tidak memiliki perbedaan yang signifikan. Dengan melakukan evaluasi pendektsian terhadap *frame* tersebut, didapatkan bahwa *frame* tersebut bisa dideteksi sehingga seharusnya *frame* tersebut bisa dideteksi secara *real-time*. Hasil evaluasi pendektsian objek tidak terdeteksi tersebut didapatkan hasil bahwa objek berada pada koordinat $x = 337$ dengan $y = 261$ dengan radius terdeteksi sebesar 28 piksel. Hasil pendektsian tersebut terlihat pada Gambar 5.4. berikut ini



Gambar 5.4. Evaluasi Pendektsian

Kegagalan pendektsian *real-time* tersebut dimungkinkan karena *error* pembacaan *frame*.

Hasil pendektsian objek pada kondisi 2 didapatkan hasil seperti pada Tabel 5.5.

Tabel 5.5. Hasil Pendektsian Objek Diam Kondisi 2

No.	Objek	Objek Terdeteksi	Kesalahan Pendektsian Objek			Kemampuan Pendektsian (%)
			Tipe 1	Tipe 2	Tipe 3	
1	Merah	991	9	0	0	99,1 %
2	Hijau	994	6	0	0	99,4 %
3	Ungu	978	22	0	0	97,8 %

Kemampuan pendektsian tertinggi dimiliki objek hijau dengan kemampuan pendektsian sebesar 99,4 % diikuti objek merah dengan 99,1 %, dan terendah dimiliki objek ungu dengan kemampuan pendektsian sebesar 97,8 %. Kesemua objek tidak terdeteksi adalah objek tidak terdeteksi tipe 1. Hasil pada kondisi 2 merupakan kebalikan dari hasil pendektsian objek diam pada kondisi 1, hal ini dimungkinkan karena objek dengan warna tersebut menghasilkan perbedaan dalam menanggapi kondisi pendektsian dimana objek hijau memiliki kecenderungan dengan kemudahan terdeteksi pada kondisi 2 dikarenakan *range* warna yang digunakan lebih banyak yang berada di batas atas.

5.2.2. Pendektsian Objek Merah

5.2.2.1. Pendektsian Objek Merah Kondisi 1

Pendektsian objek merah yang dilakukan dengan kondisi 1 didapatkan hasil seperti Tabel 5.6. Tabel tersebut menunjukkan tingkat kemampuan pendektsian semakin kecil seiring dengan besarnya θ_0 (sudut pembentukan gerakan awal).

Tabel 5.6. Hasil Pendektsian Objek Merah pada Kondisi 1

No.	θ_o	Jumlah frame	Objek Terdeteksi	Kesalahan Pendektsian Objek			Kemampuan Pendektsian (%)
				Tipe 1	Tipe 2	Tipe 3	
1	5	40	38	2	0	0	95 %
2	10	40	38	2	0	0	95 %
3	15	40	38	2	0	0	95 %
4	20	40	40	0	0	0	100 %
5	25	40	40	0	0	0	100 %
6	30	40	35	5	0	0	87,5 %
7	35	40	33	7	0	0	82,5 %
8	40	40	34	6	0	0	85 %
9	45	40	26	14	0	0	65 %
10	50	40	26	14	0	0	65 %
11	55	40	29	11	0	0	72,5 %
12	60	40	34	6	0	0	85 %

Kemampuan pendektsian tertinggi diperoleh ketika $\theta_o = 20^\circ$ dan 25° dengan kemampuan pendektsian sebesar 100%, sedangkan kemampuan pendektsian terendah terjadi ketika $\theta_o = 45^\circ$ dan 50° dengan kemampuan pendektsian sebesar 65%. Tetapi ada kenaikan kemampuan pendektsian yang signifikan pada $\theta_o = 55^\circ$ dan $\theta_o = 60^\circ$. Kenaikan pada saat $\theta_o = 55^\circ$ dan $\theta_o = 60^\circ$ dimana kemampuan pendektsian yang diperoleh dari pendektsian sebesar 72,5% dan 85% padahal kemampuan pendektsian sebelumnya pada $\theta_o = 45^\circ$ besar dari kemampuan pendektsian tersebut adalah 65%. Kenaikan kemampuan pendektsian pada saat $\theta_o = 55^\circ$ dan $\theta_o = 60^\circ$ lebih disebabkan *frame* yang didapatkan pada saat *real-time* pendektsian objek memiliki bentuk lingkaran yang masih bagus.

Hasil evaluasi *frame* yang tidak dapat mendeteksi keberadaan objek, diperoleh hasil seperti terlihat pada Tabel 5.7.

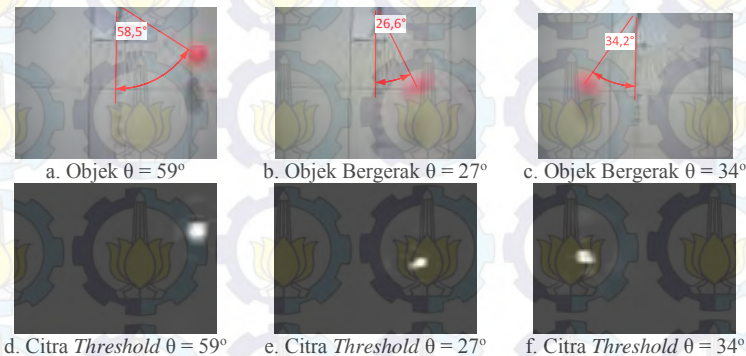
Tabel 5.7. Hasil Evaluasi Objek Merah Tidak Terdeteksi

No.	θ_o	Jumlah <i>Frame</i>	Hasil Evaluasi				Perbandingan Terdeteksi/ Tidak Terdeteksi	
			Objek Terdeteksi	Kesalahan Pendeteksian Objek				
				Tipe 1	Tipe 2	Tipe 3		
1	5	2	2	0	0	0	-	
2	10	2	2	0	0	0	-	
3	15	2	2	0	0	0	-	
4	20	0	0	0	0	0	-	
5	25	0	0	0	0	0	-	
6	30	5	4	1	0	0	4/1	
7	35	7	4	3	0	0	4/3	
8	40	6	4	2	0	0	4/2	
9	45	14	4	10	0	0	4/10	
10	50	14	5	9	0	0	5/9	
11	55	11	3	8	0	0	3/8	
12	60	6	3	3	0	0	3/3	

Evaluasi pada $\theta \leq 25^\circ$ didapatkan objek yang sebelumnya tidak terdeteksi menunjukkan objek tersebut bisa dideteksi. Jika dilihat dari kecepatan objek, kecepatan objek maksimum yang didapatkan terletak pada $\theta_o = 25^\circ$ dengan keberadaan objek pada $\theta = 1^\circ$, pada saat tersebut kecepatan objek adalah 0,566633 m/s. *Frame* yang dihasilkan terlihat seperti pada Gambar 5.5.

Gambar 5.5. Objek $\theta_o = 25^\circ$ dengan $\theta_f = 1^\circ$

Seperti terlihat pada Gambar 5.5. tersebut, citra *threshold* yang terbentuk masih terlihat bagus. Sedangkan untuk nilai $\theta_o \geq 30^\circ$ didapatkan objek banyak yang tidak dapat dideteksi pada saat bergerak. Hal tersebut seperti terlihat pada Gambar 5.6. Gambar tersebut merupakan tiga buah *frame* pertama yang dihasilkan pada saat $\theta_o = 60^\circ$.

Gambar 5.6. Hasil Pendekstasian Objek Bergerak θ_o Sebesar 60°

Objek bergerak berada pada Gambar 5.6.b dan 5.6.c dengan besar sudut θ yang terbentuk dari citra sebesar 27° dan sebesar 34° dari garis tengah. Citra *threshold* yang didapatkan dari objek bergerak tersebut terlihat seperti pada Gambar 5.6.e dan 5.6.f. Hasil *threshold* tersebut menunjukkan objek bergerak pada

saat posisi $\theta = 27^\circ$ menghasilkan *threshold* kurang bagus dari pada saat objek berada di posisi $\theta = 34^\circ$ dan $\theta = 59^\circ$, hal ini diakibatkan karena perbedaan kecepatan pada saat objek berada diposisi tersebut. Kecepatan objek pada $\theta = 27^\circ$, $\theta = 34^\circ$ dan $\theta = 59^\circ$ yaitu 1,032382 m/s, 0,881118 m/s dan 0,11703 m/s. Semakin besar kecepatan objek pada posisi tersebut, semakin tidak bagus citra *threshold* yang dihasilkan.

5.2.2.2. Pendeksteksian Objek Merah kondisi 2

Pendeksteksian objek merah yang dilakukan dengan kondisi 2 didapatkan hasil; seperti pada Tabel 5.8.

Tabel 5.8. Hasil Pendeksteksian Objek Hijau pada Kondisi 2

No.	θ_o	Jumlah <i>frame</i>	Objek Terdeteksi	Kesalahan Pendeksteksian Objek			Kemampuan Pendeksteksian (%)
				Tipe 1	Tipe 2	Tipe 3	
1	5	40	39	1	0	0	97,5 %
2	10	40	39	1	0	0	97,5 %
3	15	40	38	2	0	0	95 %
4	20	40	40	0	0	0	100 %
5	25	40	40	0	0	0	100 %
6	30	40	37	3	0	0	92,5 %
7	35	40	40	0	0	0	100 %
8	40	40	36	4	0	0	90 %
9	45	40	40	0	0	0	100 %
10	50	40	36	4	0	0	90 %
11	55	40	35	5	0	0	87,5 %
12	60	40	37	3	0	0	92,5 %

Tabel 5.8 tersebut menunjukkan kemampuan pendeksteksian objek tertinggi berada pada saat $\theta_o = 20^\circ$, 25° , 35° , dan 45° dengan tingkat kemampuan pendeksteksian sebesar 100%. Sedangkan kemampuan pendeksteksian terendah berada pada saat $\theta_o = 55^\circ$ yaitu sebesar 87,5%. Walaupun terlihat memiliki perbedaan kemampuan

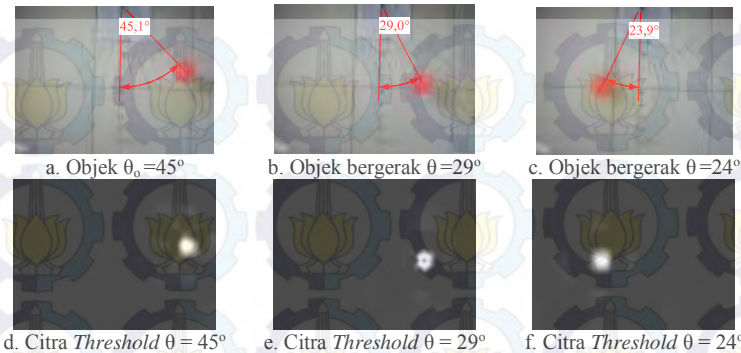
pendeksiyan yang tidak terlampaui jauh, tetapi masih mempunyai kecenderungan semakin mengecilnya kemampuan pendeksiyan pendeksiyan objek secara *real-time*.

Setelah dilakukan evaluasi terhadap *frame* yang tidak dapat mendekksi didapatkan hasil seperti terlihat pada Tabel 5.9.

Tabel 5.9. Hasil Evaluasi Objek Merah Tidak Terdeteksi Kondisi 2

No.	θ_o	Jumlah <i>Frame</i>	Hasil Evaluasi			Perbandingan Terdeteksi/ Tidak Terdeteksi	
			Objek Terdeteksi	Kesalahan Pendeteksian Objek			
				Tipe 1	Tipe 2	Tipe 3	
1	5	1	1	0	0	0	-
2	10	1	1	0	0	0	-
3	15	2	2	0	0	0	-
4	20	0	0	0	0	0	-
5	25	0	0	0	0	0	-
6	30	3	3	0	0	0	-
7	35	0	0	0	0	0	-
8	40	4	4	0	0	0	-
9	45	0	0	0	0	0	-
10	50	4	2	2	0	0	2/2
11	55	5	3	2	0	0	3/2
12	60	3	1	2	0	0	1/2

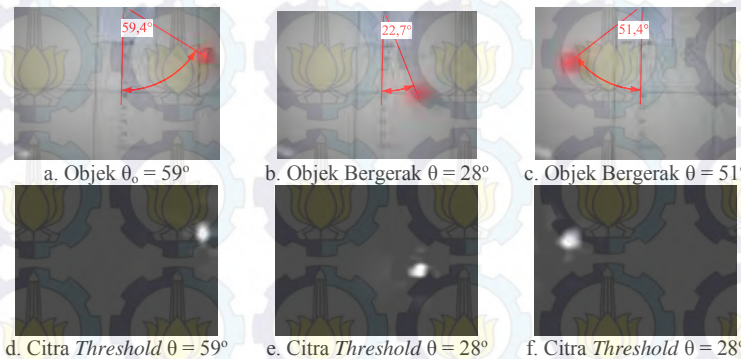
Dari Tabel 5.9. tersebut didapatkan objek yang pada pendeksiyan *real-time* dengan $\theta_o \leq 45^\circ$, objek yang semula tidak terdeteksi didapatkan pada saat evaluasi hasil *real-time* tidak didapatkan masalah pendeksiyan. Pada saat $\theta_o = 45^\circ$ didapatkan tiga buah *frame* lintasan pertama seperti pada Gambar 5.7.



Gambar 5.7. Lintasan Pertama Objek Merah dengan $\theta_o = 45^\circ$

Pada saat $\theta_o = 45^\circ$, kecepatan objek pada saat bergerak dengan posisi objek $\theta = 29^\circ$ dan $\theta = 24^\circ$ yaitu $0,6633 \text{ m/s}$ dan $0,7691 \text{ m/s}$. Kegagalan pendeksi *real-time* terjadi ketika $\theta_o \geq 50^\circ$, dimana tetap ada objek yang tidak dapat terdeteksi.

Saat $\theta_o = 60^\circ$ didapatkan lintasan pertama hasil pendeksi seperti pada Gambar 5.8.



Gambar 5.8. Lintasan Pertama Objek Merah dengan $\theta_o = 60^\circ$

Gambar 5.8 tersebut menunjukkan pada saat $\theta_o = 60^\circ$ objek tersebut tidak terdeteksi, hal tersebut dikarenakan *threshold* yang didapatkan kurang bagus. Sedangkan pada saat bergerak dan menunjukkan $\theta = 28^\circ$ objek tidak terdeteksi dan pada $\theta = 51^\circ$ objek terdeteksi. Pada saat objek bergerak dengan $\theta = 28^\circ$ dan $\theta = 51^\circ$ objek tersebut memiliki kecepatan sebesar 1,10606 m/s dan 0,41934 m/s. Kecepatan tersebut mempengaruhi citra *threshold* yang dihasilkan.

5.2.3. Pendekstrian Objek Hijau

5.2.3.1. Pendekstrian Objek Hijau Kondisi 1

Pendekstrian objek hijau yang dilakukan dengan kondisi 1 didapatkan hasil seperti Tabel 5.10.

Tabel 5.10. Hasil Pendekstrian Objek Hijau pada Kondisi 1

No.	θ_o	Jumlah frame	Objek Terdeteksi	Kesalahan Pendekstrian Objek			Kemampuan Pendekstrian (%)
				Tipe 1	Tipe 2	Tipe 3	
1	5	40	38	2	0	0	<u>95 %</u>
2	10	40	40	1	0	0	<u>97,5 %</u>
3	15	40	40	0	0	0	<u>100 %</u>
4	20	40	39	1	0	0	<u>97,5 %</u>
5	25	40	35	4	1	0	<u>87,5 %</u>
6	30	40	30	10	0	0	<u>75 %</u>
7	35	40	32	8	0	0	<u>80 %</u>
8	40	40	30	10	0	0	<u>75 %</u>
9	45	40	28	12	0	0	<u>70 %</u>
10	50	40	30	10	0	0	<u>75 %</u>
11	55	40	26	14	0	0	<u>65 %</u>
12	60	40	23	17	0	0	<u>57,5 %</u>

Kemampuan pendekstrian yang didapatkan dari pendekstrian tersebut cenderung menurun seiring kenaikan sudut θ_o . Kemampuan pendekstrian tertinggi didapatkan pada saat

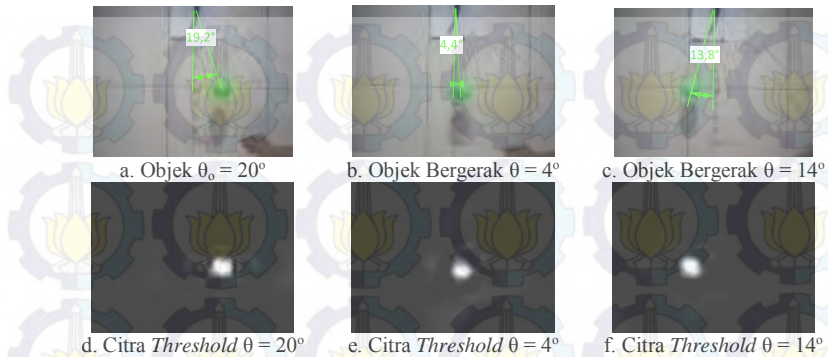
pengujian dengan $\theta_o = 15^\circ$ yaitu sebesar 100%, sedangkan untuk kemampuan pendekripsi terendah diperoleh ketika $\theta_o = 60^\circ$ dengan kemampuan pendekripsi sebesar 57.5%. Pada saat $\theta_o = 60^\circ$ terdapat 17 *frame* yang tidak dapat mendekripsi keberadaan objek.

Setelah dilakukan evaluasi terhadap *frame* yang tidak dapat mendekripsi keberadaan objek didapatkan seperti terlihat pada Tabel 5.11.

Tabel 5.11. Hasil Evaluasi Objek Hijau Tidak Terdeteksi Kondisi 1

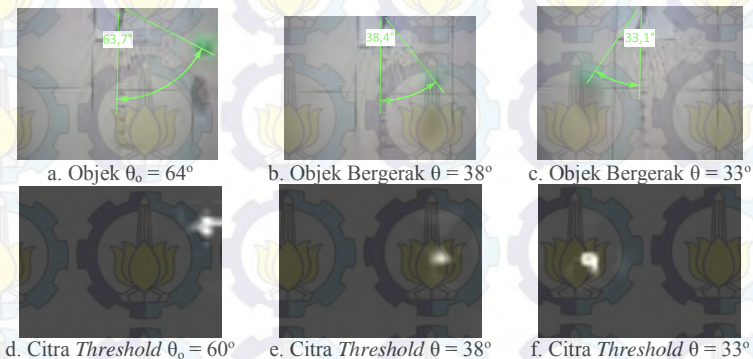
No.	θ_o	Jumlah <i>Frame</i>	Hasil Evaluasi			Perbandingan Terdeteksi/ Tidak Terdeteksi	
			Objek Terdeteksi	Kesalahan Pendeteksian Objek			
				Tipe 1	Tipe 2	Tipe 3	
1	5	2	2	0	0	0	-
2	10	1	1	0	0	0	-
3	15	0	0	0	0	0	-
4	20	3	3	0	0	0	-
5	25	5	3	1	1	0	-
6	30	10	8	2	0	0	8/2
7	35	8	1	7	0	0	1/7
8	40	10	4	6	0	0	4/6
9	45	12	1	11	0	0	1/11
10	50	10	2	8	0	0	2/8
11	55	14	6	8	0	0	6/8
12	60	17	6	11	0	0	6/11

Tabel 5.11 tersebut didapatkan hasil evaluasi pada saat $\theta_o \leq 25^\circ$ keberadaan objek masih dapat terdeteksi. Pada saat $\theta_o = 20^\circ$ didapatkan *frame* lintasan pertama seperti pada Gambar 5.9. *Frame* mendekripsi keberadaan objek bergerak pada saat objek berada pada posisi $\theta = 4^\circ$ dan $\theta = 14^\circ$. Kecepatan pada posisi tersebut yaitu 0,4444 m/s dan 0,3145 m/s.



Gambar 5.9. Hasil Pendektsian Objek Bergerak θ_o Sebesar 20°

Sedangkan pada saat $\theta_o \geq 30^\circ$ masih banyak objek yang tidak bisa didetksi dengan objek tidak terdeteksi terdapat pada 11 frame pada percobaan dengan $\theta_o = 45^\circ$ dan 60° . Hal tersebut dapat dilihat dari lintasan pertama pendektsian pada saat $\theta_o = 60^\circ$ seperti ditunjukkan pada Gambar 5.10.



Gambar 5.10. Hasil Pendektsian Objek Bergerak θ_o Sebesar 60°

Objek bergerak berada pada Gambar 5.10.b dan 5.10.c. dengan besar sudut θ yang terbentuk dari citra yang didapatkan tersebut sebesar 38° dan 33° dari garis tengah. Kecepatan objek pada saat posisi tersebut yaitu $0,783616\text{ m/s}$ dan $0,90275\text{ m/s}$. Citra *threshold* yang didapatkan terlihat pada Gambar 5.10.e dan 5.10.f. hasil citra *threshold* tersebut tidak bisa membentuk lingkaran sehingga pada saat evaluasi objek tidak terdeteksi tetapi tidak dapat dideteksi.

5.2.3.2. Pendekatan Objek Hijau Kondisi 2

Pendekatan objek hijau yang dilakukan dengan kondisi 2 didapatkan hasil seperti Tabel 5.12.

Tabel 5.12. Hasil Pendekatan Objek Hijau pada Kondisi 2

No.	θ_o	Jumlah frame	Objek Terdeteksi	Kesalahan Pendekatan Objek			Kemampuan Pendekatan (%)
				Tipe 1	Tipe 2	Tipe 3	
1	5	40	40	0	0	0	100 %
2	10	40	40	0	0	0	100 %
3	15	40	40	0	0	0	100 %
4	20	40	39	1	0	0	97,5 %
5	25	40	40	0	0	0	100 %
6	30	40	39	1	0	0	97,5 %
7	35	40	37	3	0	0	92,5 %
8	40	40	38	2	0	0	95 %
9	45	40	39	1	0	0	97,5 %
10	50	40	37	3	0	0	92,5 %
11	55	40	36	4	0	0	90 %
12	60	40	35	5	0	0	87,5 %

Kemampuan pendekatan secara *real-time* menunjukkan kemampuan pendekatan tertinggi diperoleh ketika $\theta_o = 5^\circ, 10^\circ, 15^\circ$, dan 25° sebesar 100%. Sedangkan kemampuan pendekatan terendah diperoleh ketika $\theta_o = 60^\circ$ dengan tingkat kemampuan

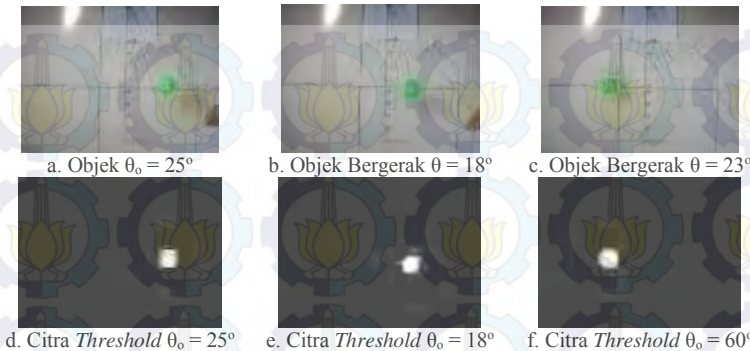
pendeksi sebesar 87.5%. Kemampuan pendeksi secara *real-time* cenderung menurun seiring dengan kenaikan θ_o .

Setelah dilakukan evaluasi terhadap *frame* yang tidak dapat mendeksi keberadaan objek secara *real-time*, didapatkan hasil seperti pada Tabel 5.13.

Tabel 5.13. Hasil Evaluasi Objek Hijau Tidak Terdeteksi Kondisi 2

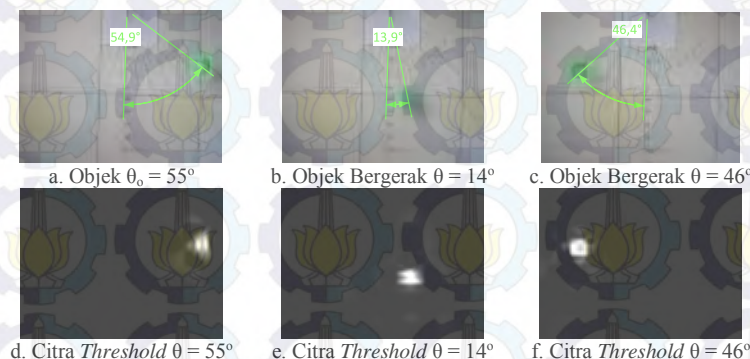
No.	θ_o	Jumlah <i>Frame</i>	Hasil Evaluasi			Perbandingan Terdeteksi/ Tidak Terdeteksi	
			Objek Terdeteksi	Kesalahan Pendeteksian Objek			
				Tipe 1	Tipe 2	Tipe 3	
1	5	0	0	0	0	0	-
2	10	0	0	0	0	0	-
3	15	0	0	0	0	0	-
4	20	1	1	0	0	0	1/0
5	25	0	0	0	0	0	-
6	30	1	1	0	0	0	1/0
7	35	3	2	1	0	0	2/1
8	40	2	1	1	0	0	1/1
9	45	1	1	0	0	0	1/0
10	50	3	1	2	0	0	2/1
11	55	4	0	4	0	0	0/4
12	60	5	3	2	0	0	3/2

Pada saat $\theta_o = 25^\circ$ didapatkan tiga buah *frame* lintasan pertama seperti pada Gambar 5.11. *frame* tersebut menunjukkan objek bergerak dengan $\theta = 18^\circ$ dan $\theta = 23^\circ$. Kecepatan pada saat posisi tertsebut yaitu 0,549 m/s dan 0,2032 m/s.



Gambar 5.11. Hasil Pendektsian Objek Bergerak θ_o Sebesar 25°

Hasil evaluasi menunjukkan *frame* yang tidak dapat terdeteksi terbanyak diperoleh ketika percobaan dengan $\theta_o = 55^\circ$ dengan 4 *frame* tidak terdeteksi keberadaan objek. Gambar 5.12 merupakan citra hasil percobaan dengan $\theta_o = 55^\circ$ yang menunjukkan tiga *frame* lintasan pertama hasil pendektsian yaitu objek bergerak dengan $\theta = 14^\circ$ dan $\theta = 46^\circ$.



Gambar 5.12. Hasil Pendektsian Objek Bergerak θ_o Sebesar 55°

Kecepatan objek bergerak pada saat dengan $\theta = 14^\circ$ dan $\theta = 46^\circ$ yaitu 1,132435 m/s dan 0,447898 m/s.

5.2.4. Pendeksteksian Objek Ungu

5.2.4.1. Pendeksteksian Objek Ungu Kondisi 1

Pendeksteksian objek hijau yang dilakukan dengan kondisi 1 didapatkan hasil seperti Tabel 5.14.

Tabel 5.14. Hasil Pendeksteksian Objek Ungu pada Kondisi 1

No.	θ_o	Jumlah <i>frame</i>	Objek Terdeteksi	Kesalahan Pendeksteksian Objek			Kemampuan Pendeksteksian (%)
				Tipe 1	Tipe 2	Tipe 3	
1	5	40	39	1	0	0	97,5 %
2	10	40	40	0	0	0	100 %
3	15	40	40	0	0	0	100 %
4	20	40	40	0	0	0	100 %
5	25	40	37	4	0	0	90 %
6	30	40	36	4	0	0	90 %
7	35	40	33	7	0	0	82,5 %
8	40	40	28	12	0	0	75 %
9	45	40	32	8	0	0	75 %
10	50	40	31	9	0	0	72,5 %
11	55	40	26	14	0	0	65 %
12	60	40	25	15	0	0	62,5 %

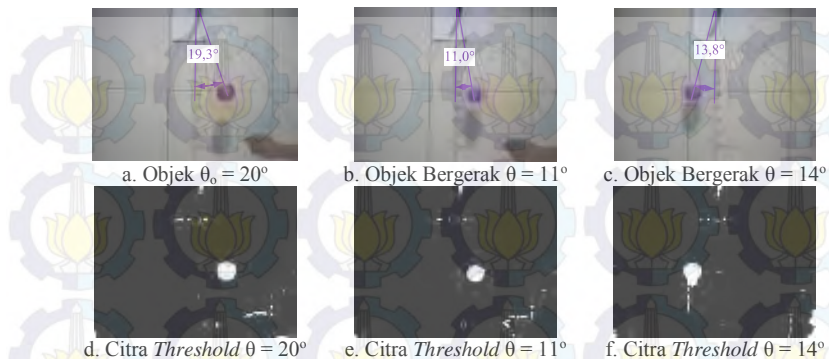
Tabel 5.14 menunjukkan kecenderungan menurunnya tingkat kemampuan pendeksteksian *real-time* seiring bertambahnya θ_o . Kemampuan pendeksteksian tertinggi diperoleh ketika percobaan dengan $\theta_o = 10^\circ, 15^\circ$, dan 20° sebesar 100%. Sedangkan tingkat kemampuan pendeksteksian terendah diperoleh dari percobaan dengan $\theta_o = 10^\circ$ dengan akurasi pendeksteksian *real-time* sebesar 62,5% dengan 15 *frame* dari 40 *frame* tidak berhasil mendekripsi keberadaan objek.

Setelah dilakukan evaluasi terhadap *frame* yang tidak dapat mendeteksi keberadaan objek pada saat *real-time* didapatkan hasil seperti terlihat pada Tabel 5.11.

Tabel 5.15. Hasil Evaluasi Objek Ungu Tidak Terdeteksi Kondisi 1

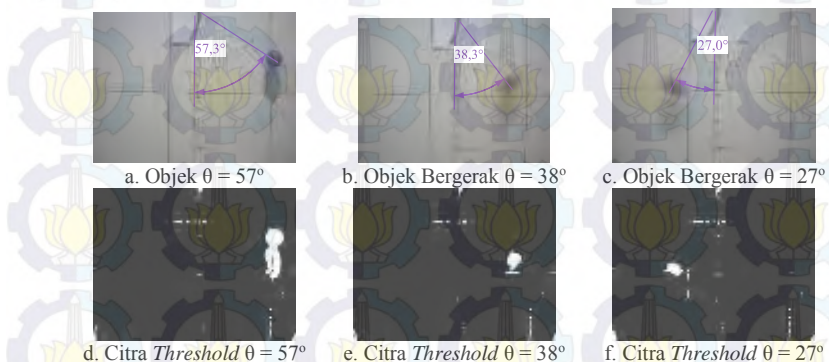
No.	θ_o	Jumlah <i>Frame</i>	Hasil Evaluasi					Perbandingan Terdeteksi/ Tidak Terdeteksi	
			Objek Terdeteksi	Kesalahan Pendeteksian Objek					
				Tipe 1	Tipe 2	Tipe 3			
1	5	1	1	0	0	0		1/0	
2	10	0	0	0	0	0		-	
3	15	0	0	0	0	0		-	
4	20	0	0	0	0	0		-	
5	25	4	4	0	0	0		4/0	
6	30	4	4	0	0	0		4/0	
7	35	7	3	4	0	0		3/4	
8	40	12	6	6	0	0		6/6	
9	45	8	3	5	0	0		3/5	
10	50	4	4	5	0	0		4/5	
11	55	14	7	7	0	0		7/7	
12	60	15	7	8	0	0		7/8	

Tabel 5.15 menunjukkan ketika $\theta_o \leq 30^\circ$, objek yang tidak terdeteksi keberadaanya pada saat *real-time* seharusnya masih dapat dideteksi. Lintasan pertama pada saat $\theta_o = 20^\circ$ didapatkan objek bergerak dengan posisi $\theta = 11^\circ$ dan $\theta = 14^\circ$ seperti ditunjukkan Gambar 5.13. kecepatan objek tersebut yaitu 0,37248 m/s dan 0,314524 m/s.



Gambar 5.13. Hasil Pendeksiian Objek Bergerak θ_o Sebesar 20°

Gambar 5.14 menunjukkan citra hasil pendeksiian dan citra *threshold* dari lintasan pertama percobaan dengan $\theta_o = 55^\circ$.



Gambar 5.14. Hasil Pendeksiian Objek Bergerak θ_o Sebesar 55°

Objek bergerak berada pada Gambar 5.14.b dan 5.14.c dengan besar sudut θ yang terbentuk dari citra yang didapatkan tersebut sebesar 38° dan sebesar 27° . kecepatan objek bergerak pada posisi tersebut yaitu $0,676155 \text{ m/s}$ dan $0,930192 \text{ m/s}$.

5.2.4.2. Pendeksteksian Objek Ungu Kondisi 2

Pendeksteksian objek hijau yang dilakukan dengan kondisi 2 didapatkan hasil seperti Tabel 5.16.

Tabel 5.16. Hasil Pendeksteksian Objek Ungu pada Kondisi 2

No.	θ_o	Jumlah frame	Objek Terdeteksi	Kesalahan Pendeksteksian Objek			Kemampuan Pendeksteksian (%)
				Tipe 1	Tipe 2	Tipe 3	
1	5	40	40	0	0	0	100 %
2	10	40	40	0	0	0	100 %
3	15	40	39	1	0	0	97,5 %
4	20	40	39	1	0	0	97,5 %
5	25	40	39	1	0	0	97,5 %
6	30	40	39	1	0	0	97,5 %
7	35	40	38	2	0	0	95 %
8	40	40	38	2	0	0	95 %
9	45	40	37	3	0	0	92,5 %
10	50	40	38	2	0	0	95 %
11	55	40	35	5	0	0	87,5 %
12	60	40	35	5	0	0	87,5 %

Tabel 5.16 menunjukkan kecenderungan menurunnya kemampuan pendeksteksian *real-time* seiring dengan bertambahnya besar θ_o . Kemampuan pendeksteksian tertinggi diperoleh ketika $\theta_o = 5^\circ$ dan 10° dengan kemampuan pendeksteksian sebesar 100%. Sedangkan kemampuan pendeksteksian terendah didapatkan pada saat percobaan dengan $\theta_o = 55^\circ$ dan 60° dengan kemampuan pendeksteksian yang didapat sebesar 87,5% dimana terdapat 5 frame yang tidak dapat mendekripsi keberadaan objek secara *real-time*.

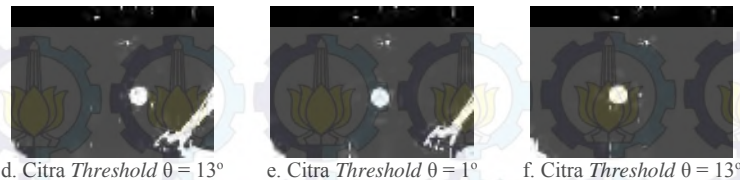
Setelah dilakukan evaluasi terhadap frame yang tidak dapat mendekripsi keberadaan objek secara *real-time* didapatkan hasil seperti terlihat pada Tabel 5.17.

Tabel 5.17. Hasil Evaluasi Objek Ungu Tidak Terdeteksi Kondisi 2

No.	θ_o	Jumlah Frame	Hasil Evaluasi			Perbandingan Terdeteksi/ Tidak Terdeteksi	
			Objek Terdeteksi	Kesalahan Pendeteksian Objek			
				Tipe 1	Tipe 2		
1	5	0	0	0	0	0	
2	10	0	0	0	0	-	
3	15	1	1	0	0	0	
4	20	1	1	0	0	0	
5	25	1	1	0	0	0	
6	30	1	1	0	0	0	
7	35	2	2	0	0	0	
8	40	2	2	0	0	0	
9	45	3	2	1	0	0	
10	50	2	2	0	0	0	
11	55	5	3	2	0	0	
12	60	5	3	2	0	0	

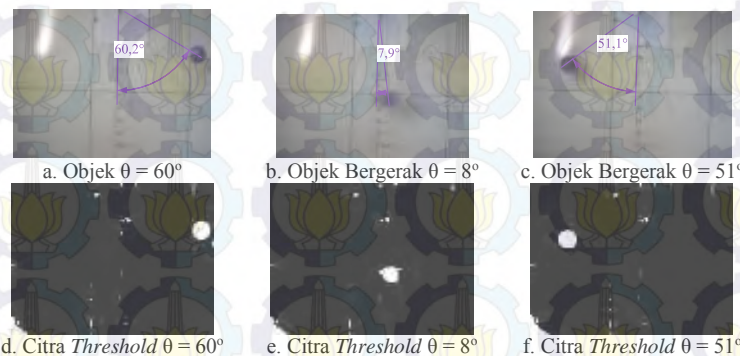
Frame yang didapat ketika $\theta_o \leq 40^\circ$ dari pendekstian *real-time* ternyata seharunya masih bisa didetectsi. Lintasan pertama pendekstian objek dengan $\theta_o = 13^\circ$ seperti terlihat pada Gambar 5.15. Dari lintasan tersebut didapatkan objek bergerak pada posisi $\theta = 13^\circ$ dan $\theta = 1^\circ$. Pada posisi tersebut objek mempunyai kecepatan 0 m/s dan 0,227214 m/s. Citra *threshold* yang didapatkan masih terlihat bagus dan utuh.

Gambar 5.15. Hasil Pendekstian Objek Bergerak θ_o Sebesar 13°



Gambar 5.15. Hasil Pendekstasian Objek Bergerak θ_0 Sebesar 13° (Lanjutan)

Sedangkan untuk $\theta_0 = 60^\circ$ lintasan pertama objek bergerak didapatkan pada $\theta = 8^\circ$ dan $\theta = 51^\circ$ seperti ditunjukkan pada Gambar 5.16. pada posisi tersebut objek bergerak dengan kecepatan 1,2848 m/s dan 0,4186 m/s.



Gambar 5.16. Hasil Pendekstasian Objek Bergerak θ_0 Sebesar 60°

5.2.5. Perbandingan Hasil Pendekstasian *Real-Time*

Perbandingan hasil kemampuan pendekstasian secara *real-time* semua kondisi terlihat pada Tabel 5.18. sedangkan untuk hasil evaluasi pendekstasian terlihat pada Tabel 5.19.

Tabel 5.18. Perbandingan Kemampuan Pendekeksian *Real-Time*.

No.	θ_o	Kemampuan Pendekeksian (%)					
		Kondisi 1			Kondisi 2		
		Merah	Hijau	Ungu	Merah	Hijau	Ungu
1	5	95 %	95 %	97,5 %	97,5 %	100 %	100 %
2	10	95 %	97,5 %	100 %	97,5 %	100 %	100 %
3	15	95 %	100 %	100 %	95 %	100 %	97,5 %
4	20	100 %	97,5 %	100 %	100 %	97,5 %	97,5 %
5	25	100 %	87,5 %	90 %	100 %	100 %	97,5 %
6	30	87,5 %	75 %	90 %	92,5 %	97,5 %	97,5 %
7	35	82,5 %	80 %	82,5 %	100 %	92,5 %	95 %
8	40	85 %	75 %	75 %	90 %	95 %	95 %
9	45	65 %	70 %	75 %	100 %	97,5 %	92,5 %
10	50	65 %	75 %	72,5 %	90 %	92,5 %	95 %
11	55	72,5 %	65 %	65 %	87,5 %	90 %	87,5 %
12	60	85 %	57,5 %	62,5 %	92,5 %	87,5 %	87,5 %

Secara umum kemampuan pendekeksian dari pendekeksian *real-time* yaitu semakin besar θ_o maka kemampuan pendekeksian yang diperoleh akan semakin kecil. Hal ini disebabkan karena semakin besar θ_o maka banyak dari *frame* yang dijadikan sebagai data kemampuan pendekeksian memiliki kecepatan lebih tinggi dari θ_o yang lebih kecil. Dari Tabel 5.18 tersebut diketahui bahwa pendekeksian pada kondisi 2 memiliki kemampuan pendekeksian yang lebih bagus dibandingkan pada kondisi 1. Hal tersebut juga terlihat pada saat evaluasi pendekeksian real-time pada Tabel 5.19. Hal tersebut terjadi dikarenakan *range* warna yang dijadikan pembentuk citra *threshold* hanya dilakukan pada salah satu kondisi saja.

Tabel 5.19. Hasil Evaluasi Pendekeksian *Real-Time*

No.	θ_o	Evaluasi (Terdeteksi/Tidak Terdeteksi)					
		Kondisi 1			Kondisi 2		
		Merah	Hijau	Ungu	Merah	Hijau	Ungu
1	5	-	-	1/0	-	-	-
2	10	-	-	-	-	-	-

3	15	-	-	-	-	-	1/0
4	20	-	-	-	-	1/0	1/0
5	25	-	-	-	-	-	1/0
6	30	4/1	8/2	4/0	-	1/0	1/0
7	35	4/3	1/7	3/4	-	2/1	2/0
8	40	4/2	4/6	6/6	-	1/1	2/0
9	45	4/10	1/11	3/5	-	1/0	2/1
10	50	5/9	2/8	4/5	2/2	2/1	2/0
11	55	3/8	6/8	7/7	3/2	0/4	3/2
12	60	3/3	6/11	7/8	1/2	3/2	3/2

5.3. Multi Objek

Pendeteksian multi objek dilakukan pada bola dengan warna dominan merah, hijau, dan biru. Pendeksteksian dilakukan pada objek tidak bergerak (diam) dan objek bergerak.

5.3.1. Pendeksteksian Multi Objek Diam

5.3.1.1. Pendeksteksian Multi Objek Diam Kondisi 1

Pendeteksian multi objek dalam keadaan tidak bergerak yang dilakukan dengan kondisi 1 didapatkan hasil seperti Tabel 5.20.

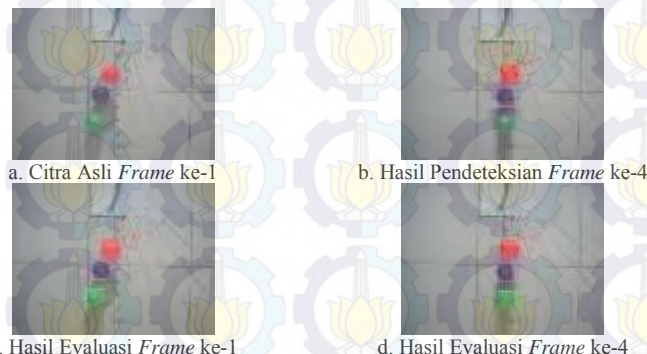
Tabel 5.20. Hasil Pendeksteksian Multi Objek tidak Bergerak Kondisi 1

No.	Objek	Jumlah Frame	Objek Terdeteksi	Kesalahan Pendeksteksian Objek				Kemampuan pendeksteksian (%)
				Tipe 1	Tipe 2	Tipe 3	Total	
1	Merah	100	100	0	0	0	12	88 %
2	Hijau		98	2	0	0		
3	Ungu		90	10	0	0		

Kemampuan pendeksteksian yang didapatkan dari pendeksteksian objek tersebut yaitu sebesar 88 % dengan jumlah objek yang tidak bisa dideteksi sebanyak 12 dengan rincian tidak bisa mendekripsi keberadaan objek hijau sebanyak 2 buah frame dan keberadaan

objek ungu sebanyak 10 *frame*. Objek yang tidak bisa dideteksi tersebut yaitu tidak dapat mendeteksi keberadaan objek hijau pada *frame* ke-4 dan ke-10. Sedangkan yang tidak bisa mendeteksi keberadaan objek ungu pada *frame* ke-11, 27, 35, 36, 43, 46, 47, 67, 80, dan *frame* ke-99.

Gambar 5.17 menunjukkan hasil citra pendeksi dan evaluasi dari *frame* ke-1 dan ke-4 yang terdapat sebagian objek yang tidak dapat dideteksi.



Gambar 5.17. Citra Hasil Pendeksi dan Evaluasi *Frame* ke-1 dan ke-4

Gambar 5.18 menunjukkan hasil citra *threshold* yang terbentuk dari *frame* ke-1 dan *frame* ke-4 terlihat memiliki bentuk yang biner yang bagus.



Gambar 5.18. Citra *Threshold* Hasil Evaluasi *Frame* ke-1 dan ke-4



Gambar 5.18. Citra *Threshold* Hasil Evaluasi *Frame* ke-1 dan ke-4 (Lanjutan)

Hasil evaluasi keseluruhan *frame* yang tidak dapat dideteksi secara *real-time* didapatkan hasil seperti pada Tabel 5.21.

Tabel 5.21. Hasil Evaluasi Objek Tidak Terdeteksi

No.	Objek	Kesalahan Pendektsian Objek			Hasil Evaluasi	
		Tipe 1	Tipe 2	Tipe 3	Terdeteksi	Tidak Terdeteksi
1	Merah	0	0	0	0	0
2	Hijau	2	0	0	2	0
3	Ungu	10	0	0	9	1

Tabel 5.21 tersebut menunjukkan pada saat evaluasi objek tidak terdeteksi terdapat 1 buah *frame* yang tidak lolos evaluasi. Objek tersebut merupakan objek ungu yang berada pada *frame* ke-46. Hal tersebut disebabkan karena *threshold* objek ungu yang dihasilkan tidak memenuhi syarat pendektsian lingkaran. Citra *threshold* dari *frame* ke-46 seperti terlihat pada Gambar 5.19.



Gambar 5.19. Citra *Threshold* Hasil Evaluasi *Frame* ke-46

5.3.1.2. Pendekstasian Multi Objek Diam Kondisi 2

Pendeteksian multi objek dalam keadaan diam yang dilakukan pada kondisi 2 didapatkan hasil seperti Tabel 5.22.

Tabel 5.22. Hasil Pendekstasian Multi Objek tidak Bergerak Kondisi 2

No.	Objek	Jumlah Frame	Objek Terdeteksi	Kesalahan Pendekstasian Objek				Kemampuan Pendekstasian (%)
				Tipe 1	Tipe 2	Tipe 3	Total	
1	Merah	100	100	0	0	0	2	<u>98 %</u>
2	Hijau		100	0	0	0		
3	Ungu		98	2	0	0		

Dari Tabel data yang diperoleh, terdapat 2 buah *frame* yang tidak mendekksi keberadaan objek ungu. *Frame* yang tidak dapat mendekksi keberadaan objek tersebut yaitu *frame* ke-8 dan 94 seperti terlihat pada Gambar 5.20.



a. Hasil Pendekstasian *Frame* ke-1



b. Hasil Pendekstasian *Frame* ke-94



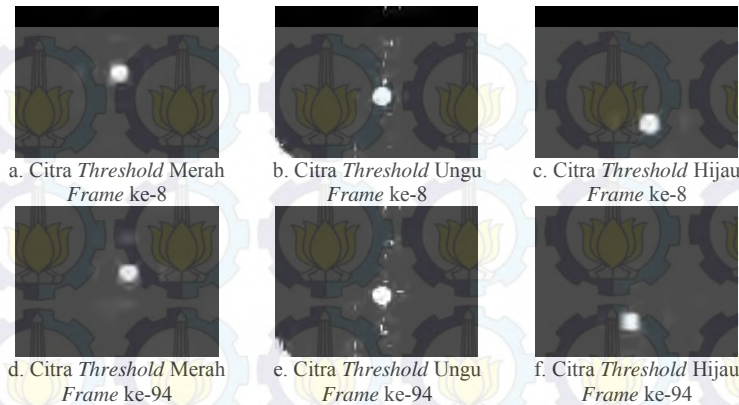
c. Hasil Evaluasi *Frame* ke-8



d. Hasil Evaluasi *Frame* ke-94

Gambar 5.20. Citra Hasil Pendekstasian dan Evaluasi *Frame* ke-8 dan ke-94

Hasil evaluasi dari kedua *frame* tersebut, didapatkan citra *threshold* seperti pada Gambar 5.21.



Gambar 5.21. Citra *Threshold* Hasil Evaluasi *Frame* ke-8 dan ke-94

Hasil evaluasi *frame* ke-8 dan ke-94 menunjukkan bahwa *frame* tersebut seharusnya bisa dideteksi. Seperti yang terlihat pada Gambar 5.20.b dan 5.20.e citra *threshold* terlihat dapat membentuk lingkaran. Kemungkinan tidak terdeteksinya keberadaan objek ungu pada *frame* ke-8 dan 94 karena program tidak bisa atau melewatkannya proses looping pendekripsi objek ungu.

5.3.2. Pendekripsi Multi Objek Bergerak

Pendekripsi multi objek bergerak terdapat 3 buah objek yaitu objek merah, hijau, dan ungu. Dari pendekripsi secara *real-time* didapatkan hasil seperti pada Tabel 5.23.

Tabel 5.23. Hasil *Real-time* Pendekripsi Multi Objek Bergerak

No.	Objek	Jumlah <i>Frame</i>	Kesalahan Pendekripsi Objek				Kemampuan Pendekripsi (%)
			Tipe 1	Tipe 2	Tipe 3	Total	
1	Merah	100	-	0	0	-	-
2	Hijau		-	0	0		
3	Ungu		-	0	0		

Kemampuan pendekripsi pada saat pendekripsi *real-time* belum bisa didapatkan. Tabel 5.23. menunjukkan objek yang berada pada tipe 1 objek tidak terdeteksi belum bisa diketahui, tetapi tipe 2 dan tipe 3 objek tidak terdeteksi adalah 0 (tidak ada). Multi objek yang sedang bergerak seperti pada Gambar 5.22 ada sebagian yang saling menutupi.



a. Citra Asli Pendeksijan *Real-time*

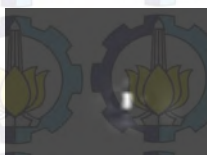
b. Hasil Pendekripsi Real-time

Gambar 5.22. Pendeteksian Multi Objek Bergerak

Gambar 5.22 tersebut menghasilkan citra *threshold* seperti terlihat pada Gambar 5.23 pada citra *threshold* tersebut menunjukkan masing-masing hasil *threshold* dari multi objek salah satu *frame* yang sedang bergerak. Ada yang lingakran penuh ada juga yang setengah lingkaran, hal inilah yang menjadikan kemampuan pendekripsi dari pendekripsi *real-time* tidak bisa ditentukan hanya dengan pengamatan visual. Untuk mendekati kemampuan pendekripsi *real-time* akan dilakukan dengan mengevaluasi seluruh *frame real-time*.



a. Citra Threshold Merah



b. Citra *Threshold* Hijau



c. Citra Threshold Ungu

Gambar 5.23. Citra *Threshold* Multi Objek

Hasil evaluasi pendeksteksian multi objek didapatkan data yaitu dari 100 *frame* tersebut terdapat 4 tambahan pendeksteksian multi objek. *Frame* terebut yaitu *frame* ke-1, 9, 14, dan 29. Gambar 5.24 menunjukkan perbedaan hasil pendeksteksian secara *real-time* dan evaluasi pada *frame* ke-1.



a. Pendeksteksian *Real-time* *Frame* ke-1

b. Pendeksteksian Evaluasi *Frame* ke-1

Gambar 5.24. Perbedaan Hasil Pendeksteksian *Real-time* dan Evaluasi

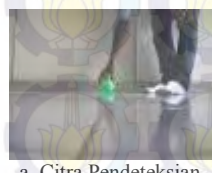
Jika hasil dari pendeksteksian evaluasi disamakan dengan kemampuan pendeksteksian sebesar 100%, maka kemampuan pendeksteksian hasil pendeksteksian *real-time* sebesar 96%. Hal ini diakibatkan karena ada objek yang tidak bisa terdeteksi secara *real-time* tetapi dapat terdeteksi pada saat evaluasi pendeksteksian objek.

5.4. Pendeksteksian Jarak Terjauh Objek Terdeteksi

Pencarian jarak terjauh yang dapat dideteksi dilakukan pada objek bola warna hijau dengan bahan sebanyak 40 *frame* seperti terlihat pada Lampiran 5.1 Dari hasil tersebut (Lampiran 5.1), didapatkan jarak terjauh yang dapat dideteksi yaitu objek dengan radius terdeteksi sebesar 20 piksel. Radius tersebut masih di atas radius minimum pendeksteksian lingkaran yaitu sebesar 10 piksel. Jarak pendeksteksian sebenarnya yaitu berada pada jarak 210 cm. Jarak tersebut merupakan jarak antara kamera dengan objek berada.

Citra asli pendeksteksian dan *threshold* yang menunjukkan pendeksteksian objek dengan jarak terjauh tersebut terlihat seperti

pada Gambar 5.25. Dari gambar tersebut, diketahui bahwa hasil *threshold* objek masih terlihat bagus.



a. Citra Pendektsian



b. Citra *Threshold*

Gambar 5.25. Citra Pendektsian

halaman ini sengaja dikosongkan

BAB IV PENUTUP

Pada bab ini akan dijelaskan mengenai kesimpulan dari hasil uji coba dan evaluasi yang telah dilakukan. Selain itu, terdapat beberapa saran guna penyempurnaan sistem untuk kedepannya.

6.1. Kesimpulan

Kesimpulan yang diperoleh dari laporan tugas akhir ini adalah sebagai berikut

1. *Range* RGB yang digunakan dalam pendekripsi yaitu objek merah (160-255, 0-75, 0-90), objek hijau (40-90, 100-255, 60-180), dan objek ungu (30-125, 30-70, 50-150).
2. Hasil pendekripsi secara *real-time* keadaan diam tidak ada yang mencapai 100% baik dilakukan pada kondisi 1 maupun pada kondisi 2. Dari 1000 *frame* inputan akurasi pada kondisi 1 objek merah sebesar 95,7 %, objek hijau 99,6 %, dan objek ungu 99,6 %, sedangkan pada kondisi 2 diperoleh akurasi pendekripsi pada objek merah sebesar 99,4 %, objek hijau 99,1 % dan objek ungu sebesar 97,8 %.
3. Kemampuan pendekripsi pada kondisi 2 mengalami perbedaan dengan pendekripsi kondisi 1, hal ini dikarenakan acuan *range* warna yang digunakan adalah *range* warna dari objek pada kondisi 2. Kemampuan pendekripsi mengalami kenaikan 0,06% pada objek merah dan 0,18% pada objek ungu, sedangkan mengalami penurunan kemampuan pendekripsi pada objek hijau sebesar 0,37%.

4. Objek terjauh yang berhasil dideteksi secara real-time yaitu objek dengan radius sebesar 20 piksel atau dengan objek dengan diameter 7 cm dapat terdeteksi pada jarak 210 cm.
5. Hasil pendekstian evaluasi lebih bagus dibandingkan hasil pendekstian secara *real-time*, hal ini dikarenakan pendekstian evaluasi objek bisa menghindari gangguan keterbatasan alat pendekstian dalam hal ini kamera Usb.

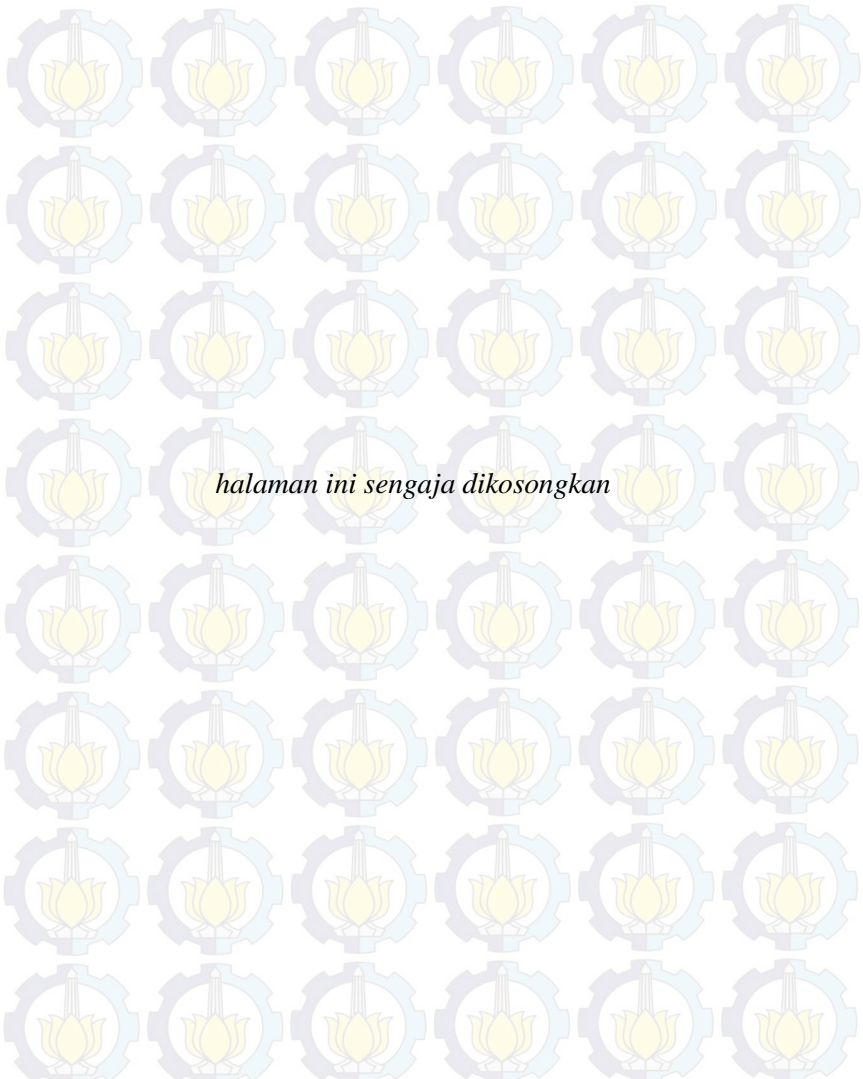
6.2. Saran

Saran pada subbab ini ditujukan untuk pengembangan sistem dengan melakukan penelitian lebih lanjut. Berikut adalah saran yang diajukan.

1. Sistem ini dapat diterapkan pada aplikasi robot yang berjalan secara otomatis.
2. Untuk menunjang jalannya sistem yang lebih baik disarankan sistem dapat membedakan lebih banyak objek.

DAFTAR PUSTAKA

- [1] Bimbo, D dan Dini, F. (2011), “Particle Filter-Based Visual Tracking With a First Order DynamicModel and Uncertainty Adaptation”, dalam Computer Vision and Image Understanding, Vol. 115, No. 6. Hal. 771–786.
- [2] Yi, Shuangyan dkk. (2014), Single Object Tracking via Robust Combination of Particle Filter and Sparse Representation, Signal Processing, Elsevier B.V.
- [3] Yang, Changjiang dkk. (2005), Fast Multiple Object Tracking via a Hierarchical Particle Filter, Department of Computer Science, University of Maryland, USA.
- [4] Gonzalez, C. Rafael, and Woods, E. Richard, (2008), Digital Image Processing 3rd, Pearson Prentice Hall, USA.
- [5] Putra, Dharma, (2010), Pengolahan Citra Digital, C.V. Andi Offset, Jakarta.
- [6] Kulkarni, A. D. (2001), Computer Vision and Fuzzy-Neural Systems, Prentice Hall, New Jersey.
- [7] Candra, Devy dkk. (2011), Studi Pendekripsi Wajah dengan Metode Viola Jones, Universitas Bina Nusantara, Jakarta.



halaman ini sengaja dikosongkan

LAMPIRAN

Lampiran 1. Spesifikasi Kamera Usb Emaging Source DF 31BU03

DFK 31BU03 Specification

GENERAL BEHAVIOR

Video formats or frame rate	1,024 x 768 (0.8 MP), YUV4:1:1, 15, 25, 30 FPS 1,024 x 768 (0.8 MP), BYS 4:30, 15, 25, 30 FPS
Sensitivity	535 n
Dynamic range	8 bit

INTERFACE (OPTICAL)

IR cut filter	yes
Sensor type/color	Sony ICX214AK
Shutter	Global
Format	1/1 "
Resolution	H: 1,024 pixels, V: 768 pixels
Pixel size	H: 3.65 μ m, V: 4.05 μ m
Color matrix	C/C

INTERFACE (ELECTRICAL)

Interface	USB
Supply voltage	4.5 VDC to 5.5 VDC
Current consumption	aprox 500 mA at 5VDC

INTERFACE (MECHANICAL)

Dimensions	WxHxD: 50.6 mm, WxHxD: 50.6 mm, LxWxH: 50.6 mm
Mass	368 g

ADJUSTMENTS (MANUAL)

Shutter	1/1000 s to 30 s
Gain	0 dB to 36 dB
Offset	0 to 511
Saturation	0 % to 200 %
White balance	-2 dB to +6 dB

ADJUSTMENTS (AUTOMATIC)

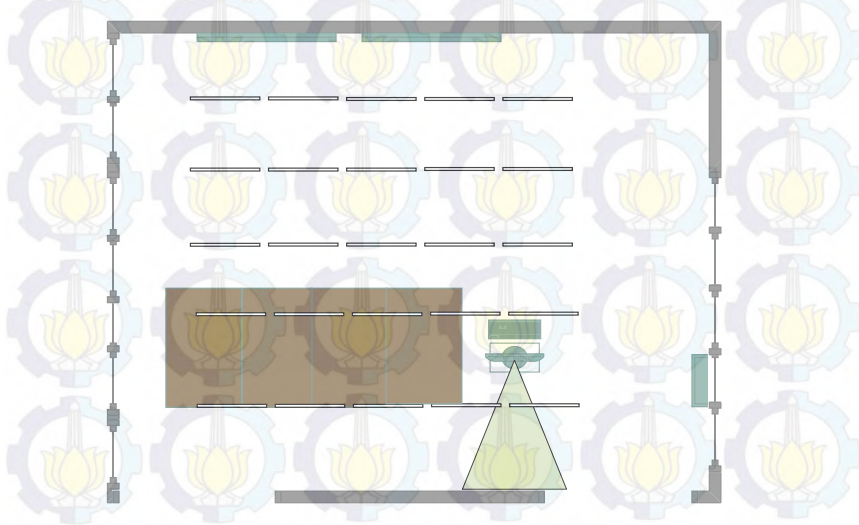
Shutter	1/1000 s to 30 s
Gain	0 dB to 36 dB
Offset	0 to 511
White balance	-2 dB to +6 dB

ENVIRONMENTAL

Temperature (operation)	-5 °C to +45 °C
Temperature storage	-20 °C to +60 °C
Humidity (operation)	20 % to 80 % non-condensing
Humidity (storage)	20 % to 95 % non-condensing

Subject change

Lampiran 2. Ruangan Percobaan



Gambar Lampiran 2. Ruangan Uji Pencarian Jarak Terjauh Pendekesan



Gambar Lampiran 2b. Ruangan Uji Pendekesan Objek

Lampiran 3. Frame Pencarian Variabel Uji Coba 1



Frame ke-1



Frame ke-2



Frame ke-3



Frame ke-4



Frame ke-5



Frame ke-6



Frame ke-7



Frame ke-8



Frame ke-9



Frame ke-10

Lampiran 4. Analisa Kecepatan Satu Lintasan Objek

Tabel Lampiran 4a. Pendekripsi Real-Time Objek Merah Kondisi 1

No.	θ_o	Frame ke-i	θ_i	Objek Terdeteksi	Objek Tidak Terdeteksi			Kecepatan (m/s)
					Tipe 1	Tipe 2	Tipe 3	
1	5	1	8	1	0	0	0	#NUM!
2		2	3	1	0	0	0	0,091311
3		3	7	1	0	0	0	#NUM!
4	10	1	11	1	0	0	0	#NUM!
5		2	5	1	0	0	0	0,196977
6		3	5	1	0	0	0	0,196977
7	15	1	14	1	0	0	0	0,118854
8		2	13	1	0	0	0	0,165917
9		3	13	1	0	0	0	0,165917
10	20	1	19	1	0	0	0	0,133728
11		2	10	1	0	0	0	0,387596
12		3	14	1	0	0	0	0,314524
13	25	1	26	1	0	0	0	#NUM!
14		2	1	1	0	0	0	#NUM!
15		3	24	1	0	0	0	0,144015
16	30	1	30	1	0	0	0	0
17		2	16	1	0	0	0	0,54968
18		3	25	1	0	0	0	0,337053
19	35	1	30	0	1	0	0	0,347424
20		2	22	0	1	0	0	0,564687
21		3	29	1	0	0	0	0,381684
22	40	1	41	1	0	0	0	#NUM!
23		2	29	0	1	0	0	0,534013

24		3	18	0	1	0	0	0,758008
25	45	1	48	1	0	0	0	0,870413
26		2	24	0	1	0	0	0,769119
27		3	33	0	1	0	0	0,563673
28	50	1	50	1	0	0	0	0
29		2	25	0	1	0	0	0,862085
30		3	34	1	0	0	0	0,662965
31	55	1	55	1	0	0	0	0
32		2	28	0	1	0	0	0,910003
33		3	37	0	1	0	0	0,702044
34	60	1	59	1	0	0	0	0,117031
35		2	27	0	1	0	0	1,032382
36		3	34	0	1	0	0	0,88118

Tabel Lampiran 4b. Pendekripsi Real-Time Objek Merah Kondisi 2

No.	θ_o	Frame ke-i	θ_i	Objek Terdeteksi	Objek Tidak Terdeteksi			Kecepatan (m/s)
					Tipe 1	Tipe 2	Tipe 3	
1	5	1	8	1	0	0	0	#NUM!
2		2	6	1	0	0	0	0,091311
3		3	0	1	0	0	0	0,114315
4	10	1	12	1	0	0	0	#NUM!
5		2	6	1	0	0	0	0,217549
6		3	12	1	0	0	0	#NUM!
7	15	1	17	1	0	0	0	#NUM!
8		2	9	1	0	0	0	0,26999
9		3	15	1	0	0	0	0
10	20	1	19	1	0	0	0	0,133728
11		2	10	1	0	0	0	0,387596

12		3	16	1	0	0	0	0,261592
13	25	1	26	1	0	0	0	#NUM!
14		2	17	1	0	0	0	0,39622
15		3	22	1	0	0	0	0,248232
16	30	1	31	1	0	0	0	#NUM!
17		2	17	1	0	0	0	0,532424
18		3	10	1	0	0	0	0,628919
19	35	1	32	1	0	0	0	0,267121
20		2	17	1	0	0	0	0,656244
21		3	30	1	0	0	0	0,347424
22	40	1	40	1	0	0	0	0
23		2	11	1	0	0	0	0,844543
24		3	34	1	0	0	0	0,385557
25	45	1	45	1	0	0	0	0
26		2	29	1	0	0	0	0,663302
27		3	24	1	0	0	0	0,769119
28	50	1	50	1	0	0	0	0
29		2	29	0	1	0	0	0,780321
30		3	31	1	0	0	0	0,735403
31	55	1	58	0	1	0	0	#NUM!
32		2	17	1	0	0	0	1,096249
33		3	47	1	0	0	0	0,416112
34	60	1	59	0	1	0	0	0,117031
35		2	23	0	1	0	0	1,10606
36		3	51	1	0	0	0	0,419346

Tabel Lampiran 4c. Pendekripsi Real-Time Objek Hijau Kondisi 1

No.	θ_o	Frame ke-i	θ_i	Objek Terdeteksi	Objek Tidak Terdeteksi			Kecepatan (m/s)
					Tipe 1	Tipe 2	Tipe 3	
1	5	1	5	1	0	0	0	0
2		2	3	1	0	0	0	0,091311
3		3	5	1	0	0	0	0
4	10	1	9	1	0	0	0	0,098233
5		2	2	1	0	0	0	0,223628
6		3	8	1	0	0	0	0,135599
7	15	1	15	1	0	0	0	0
8		2	5	1	0	0	0	0,321152
9		3	16	1	0	0	0	#NUM!
10	20	1	19	1	0	0	0	0,133728
11		2	4	1	0	0	0	0,444675
12		3	14	1	0	0	0	0,314524
13	25	1	26	1	0	0	0	#NUM!
14		2	15	0	1	0	0	0,437019
15		3	18	1	0	0	0	0,372791
16	30	1	30	1	0	0	0	0
17		2	27	1	0	0	0	0,260948
18		3	3	1	0	0	0	0,67383
19	35	1	35	1	1	0	0	0
20		2	29	0	0	0	0	0,381684
21		3	9	0	0	0	0	0,751336
22	40	1	39	1	0	0	0	0,151723
23		2	17	0	1	0	0	0,772926
24		3	36	1	0	0	0	0,310755
25	45	1	47	1	0	0	0	#NUM!

26		2	30	0	1	0	0	0,639715
27		3	26	0	1	0	0	0,729165
28	50	1	51	1	0	0	0	#NUM!
29		2	39	0	1	0	0	0,527839
30		3	21	0	1	0	0	0,932849
31	55	1	57	1	0	0	0	#NUM!
32		2	49	0	1	0	0	0,349135
33		3	31	0	1	0	0	0,845823
34	60	1	64	1	0	0	0	#NUM!
35		2	38	0	1	0	0	0,783616
36		3	33	0	1	0	0	0,902756

Tabel Lampiran 4d. Pendekripsi Real-Time Objek Hijau Kondisi 2

No.	θ_o	Frame ke-i	θ_i	Objek Terdeteksi	Objek Tidak Terdeteksi			Kecepatan (m/s)
					Tipe 1	Tipe 2	Tipe 3	
1	5	1	8	1	0	0	0	#NUM!
2		2	5	1	0	0	0	0
3		3	0	1	0	0	0	0,114315
4	10	1	12	1	0	0	0	#NUM!
5		2	4	1	0	0	0	0,208777
6		3	11	1	0	0	0	#NUM!
7	15	1	19	1	0	0	0	#NUM!
8		2	5	1	0	0	0	0,321152
9		3	10	1	0	0	0	0,250751
10	20	1	22	1	0	0	0	#NUM!
11		2	13	1	0	0	0	0,336216
12		3	18	1	0	0	0	0,434056
13	25	1	28	1	0	0	0	#NUM!

14		2	18	1	0	0	0	0,549465
15		3	23	1	0	0	0	0,203232
16		1	32	1	0	0	0	#NUM!
17	30	2	11	1	0	0	0	0,618439
18		3	26	1	0	0	0	0,301481
19		1	38	1	0	0	0	#NUM!
20	35	2	0	0	1	0	0	0,787997
21		3	33	1	0	0	0	0,217108
22		1	38	1	0	0	0	0,216409
23	40	2	19	0	1	0	0	0,74223
24		3	20	1	0	0	0	0,725585
25		1	42	1	0	0	0	0,261409
26	45	2	28	1	0	0	0	0,686061
27		3	26	1	0	0	0	0,729165
28		1	46	1	0	0	0	0,293158
29	50	2	24	0	1	0	0	0,880823
30		3	37	1	0	0	0	0,584207
31		1	55	1	0	0	0	0
32	55	2	14	0	1	0	0	1,132435
33		3	46	1	0	0	0	0,447898
34		1	60	1	0	0	0	0
35	60	2	13	0	1	0	0	1,243513
36		3	46	1	0	0	0	0,567904

Tabel Lampiran 4e. Pendekripsi Real-Time Objek Ungu Kondisi 1

No.	θ_o	Frame ke-i	θ_i	Objek Terdeteksi	Objek Tidak Terdeteksi			Kecepatan (m/s)	
					Tipe				
					1	2	3		
1	5	1	6	1	0	0	0	#NUM!	
2		2	2	1	0	0	0	0,10469	
3		3	7	1	0	0	0	#NUM!	
4	10	1	10	1	0	0	0	0	
5		2	3	1	0	0	0	0,217549	
6		3	7	1	0	0	0	0,161793	
7	15	1	15	1	0	0	0	0	
8		2	8	1	0	0	0	0,286291	
9		3	11	1	0	0	0	0,227925	
10	20	1	19	1	0	0	0	0,133728	
11		2	11	1	0	0	0	0,37248	
12		3	14	1	0	0	0	0,314524	
13	25	1	24	1	0	0	0	0,144015	
14		2	11	0	1	0	0	0,499194	
15		3	15	1	0	0	0	0,437019	
16	30	1	28	0	1	0	0	0,212828	
17		2	4	1	0	0	0	0,670403	
18		3	27	1	0	0	0	0,260948	
19	35	1	36	1	0	0	0	#NUM!	
20		2	11	0	1	0	0	0,733175	
21		3	35	1	0	0	0	0	
22	40	1	42	1	0	0	0	#NUM!	
23		2	4	0	1	0	0	0,889412	
24		3	29	0	1	0	0	0,534013	
25	45	1	45	0	1	0	0	0	

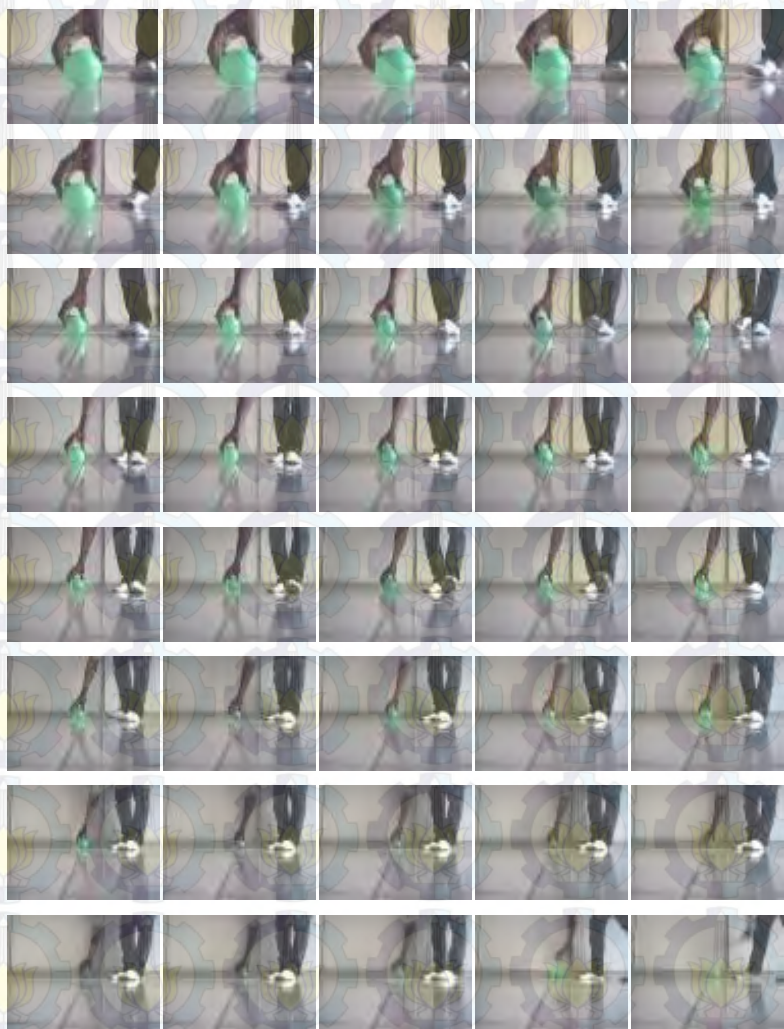
26		2	18	0	1	0	0	0,870411
27		3	38	1	0	0	0	0,415322
28	50	1	50	0	1	0	0	0
29		2	38	1	0	0	0	0,978451
30		3	13	0	1	0	0	1,039652
31	55	1	57	0	1	0	0	#NUM!
32		2	38	0	1	0	0	0,676155
33		3	27	0	1	0	0	0,930192
34	60	1	62	0	1	0	0	#NUM!
35		2	53	1	0	0	0	0,355825
36		3	13	0	1	0	0	1,243513

Tabel Lampiran 4f. Pendeteksian Real-Time Objek Ungu Kondisi 2

No.	θ_o	Frame ke-i	θ_i	Objek Terdeteksi	Objek Tidak Terdeteksi			Kecepatan (m/s)
					Tipe 1	Tipe 2	Tipe 3	
1	5	1	6	1	0	0	0	#NUM!
2		2	0	1	0	0	0	0,114315
3		3	4	1	0	0	0	0,068418
4	10	1	14	1	0	0	0	#NUM!
5		2	13	1	0	0	0	#NUM!
6		3	1	1	0	0	0	0,227214
7	15	1	18	1	0	0	0	#NUM!
8		2	4	1	0	0	0	0,328791
9		3	14	1	0	0	0	0,227925
10	20	1	19	1	0	0	0	0,133728
11		2	19	1	0	0	0	0,133728
12		3	18	1	0	0	0	0,187862
13	25	1	31	1	0	0	0	#NUM!

14		2	11	1	0	0	0	0,499194
15		3	25	1	0	0	0	0
16	30	1	33	1	0	0	0	#NUM!
17		2	25	1	0	0	0	0,337053
18		3	14	1	0	0	0	0,618439
19	35	1	38	1	0	0	0	#NUM!
20		2	18	1	0	0	0	0,640034
21		3	25	1	0	0	0	0,495781
22	40	1	43	1	0	0	0	#NUM!
23		2	31	0	1	0	0	0,479455
24		3	27	1	0	0	0	0,583612
25	45	1	48	1	0	0	0	#NUM!
26		2	5	0	1	0	0	0,870411
27		3	42	1	0	0	0	0,415322
28	50	1	48	0	1	0	0	0
29		2	5	0	1	0	0	1,097361
30		3	42	1	0	0	0	0,556439
31	55	1	58	0	1	0	0	#NUM!
32		2	26	1	0	0	0	0,949763
33		3	38	1	0	0	0	0,676155
34	60	1	60	1	0	0	0	0
35		2	8	1	0	0	0	1,284806
36		3	51	1	0	0	0	0,418614

Lampiran 5a. Frame Pendeksiian Jarak Terjauh



Lampiran 5b. Hasil Pendekatan Jarak Terjauh

```
*****frame ke: 1016 *****
bola x=319.000000 y=249.000000 r=81.467789
*****frame ke: 1017 *****
bola x=315.000000 y=243.000000 r=77.201027
*****frame ke: 1018 *****
bola x=319.000000 y=243.000000 r=78.447433
*****frame ke: 1019 *****
bola x=315.000000 y=249.000000 r=74.706093
*****frame ke: 1020 *****
bola x=303.000000 y=241.000000 r=70.604530
*****frame ke: 1021 *****
bola x=299.000000 y=245.000000 r=67.911705
*****frame ke: 1022 *****
bola x=291.000000 y=251.000000 r=53.814495
*****frame ke: 1023 *****
bola x=293.000000 y=243.000000 r=51.623638
*****frame ke: 1024 *****
bola x=295.000000 y=247.000000 r=49.244289
*****frame ke: 1025 *****
bola x=291.000000 y=245.000000 r=44.384678
bola x=281.000000 y=329.000000 r=32.449955
*****frame ke: 1026 *****
bola x=287.000000 y=245.000000 r=42.755112
*****frame ke: 1027 *****
bola x=281.000000 y=243.000000 r=38.078861
*****frame ke: 1028 *****
bola x=279.000000 y=243.000000 r=36.345558
*****frame ke: 1029 *****
bola x=311.000000 y=245.000000 r=20.808651
*****frame ke: 1030 *****
bola x=315.000000 y=245.000000 r=20.000000
*****frame ke: 1031 *****
bola x=291.000000 y=243.000000 r=32.015617
*****frame ke: 1032 *****
bola x=283.000000 y=243.000000 r=28.178005
*****frame ke: 1033 *****
bola x=291.000000 y=243.000000 r=29.529648
*****frame ke: 1034 *****
bola x=293.000000 y=243.000000 r=29.000000
*****frame ke: 1035 *****
bola x=293.000000 y=243.000000 r=26.907248
*****frame ke: 1036 *****
bola x=293.000000 y=243.000000 r=26.248808
*****frame ke: 1037 *****
bola x=291.000000 y=245.000000 r=26.419689
*****frame ke: 1038 *****
bola x=295.000000 y=245.000000 r=25.019991
*****frame ke: 1039 *****
bola x=297.000000 y=245.000000 r=25.238857
*****frame ke: 1040 *****
bola x=297.000000 y=245.000000 r=23.345232
*****frame ke: 1041 *****
bola x=301.000000 y=245.000000 r=23.086790
*****frame ke: 1042 *****
bola x=307.000000 y=243.000000 r=20.248455
*****frame ke: 1043 *****
bola x=307.000000 y=243.000000 r=20.248455
*****frame ke: 1044 *****
bola x=311.000000 y=245.000000 r=20.808651
*****frame ke: 1045 *****
bola x=315.000000 y=245.000000 r=20.000000
*****frame ke: 1046 *****
bola x=315.000000 y=245.000000 r=20.000000
*****frame ke: 1047 *****
bola x=345.000000 y=247.000000 r=19.416487
*****frame ke: 1055 *****
```

Lampiran 6. Kode Pemrograman Pendeksiian Real-Time

Lampiran 6a. Kode Projek Objek.h

```
#pragma once
#include <cv.h>
#include <highgui.h>
#include <string>

using namespace cv ;
using namespace std ;

class Object
{
public :
    Object() ;
    ~Object (void);

    Object(string name) ;

    int get_Posisi_X();
    void set_Posisi_X (int x);
    int get_Posisi_Y();
    void set_Posisi_Y (int y);
    int get_Posisi_R();
    void set_Posisi_R (int r);

    Scalar getThresmin();
    Scalar getThresmax();

    string getType()
    {
        return type ;
    }
    void setType(string t)
    {
        type = t ;
    }
}
```

```
void setThresmin      (Scalar min) ;
void setThresmax      (Scalar max) ;

Scalar getColor()
{
    return Color;
}

void setColor (Scalar c)
{
    Color = c;
}

private :
    int Posisi_X,
        Posisi_Y,
        Posisi_R;
    string type;
    Scalar Thresmin,
        Thresmax;
    Scalar Color;
};
```

Lampiran 6b. Kode Projek Objek.cpp

```
#include "Object.h"

Object :: Object()
{
    setType ("Object") ;
    setColor(Scalar (0, 0, 0));
}

Object :: Object(string name)
{
    setType (name) ;

    if (name == "ungu")
    {
        setThresmin (Scalar (50, 0 , 50
        ));           setThresmax (Scalar (150, 73 , 125
        ));           setColor (Scalar (219, 85
        , 219 )) ;
    }

    if (name == "hijau")
    {
        setThresmin (Scalar (58, 90 , 40
        ));           setThresmax (Scalar (183, 255 , 91
        ));           setColor (Scalar (0 , 255
        , 0 )) ;
    }

    if (name == "merah")
    {
        setThresmin (Scalar (0 , 0 , 154
        ));
```

```
        setThresmax (Scalar (96, 79 , 255
    )); setColor (Scalar (0 , 0
, 255 )) ;
}

Object :: ~Object (void)
{ }

int Object :: get_Posisi_X ()
{     return Object :: Posisi_X ; }
void Object :: set_Posisi_X (int x)
{     Object :: Posisi_X = x ; }

int Object :: get_Posisi_Y ()
{     return Object :: Posisi_Y ; }
void Object :: set_Posisi_Y (int y)
{     Object :: Posisi_Y = y ; }

int Object :: get_Posisi_R ()
{     return Object :: Posisi_R ; }
void Object :: set_Posisi_R (int r)
{     Object :: Posisi_R = r ; }

Scalar Object :: getThresmin()
{     return Object :: Thresmin ; }

Scalar Object :: getThresmax()
{     return Object :: Thresmax ; }

void Object :: setThresmin (Scalar min)
{     Object :: Thresmin = min ; }

void Object :: setThresmax (Scalar max)
{     Object :: Thresmax = max ; }
```

Lampiran 6c. Kode Projek Main

```
/*
----- Program Pendekripsi Untuk Mencari Jarak Terjauh
Pendekripsi -----
----- Tanggal      : 25-Juni-2014
*/

#include "cv.h"
#include "opencv2/core/core.hpp"
#include "opencv2/highgui.hpp"
#include "opencv2/imgproc.hpp"
#include "opencv2/opencv.hpp"
#include <iostream>
#include <string>
#include <vector>
#include <iostream>
#include <stdlib.h>
#include <stdio.h>
#include <highgui.h>
#include <fstream>
#include <stack>
#include <stdio.h>
#include "conio.h"

#include "Object.h"

using namespace cv;
using namespace std;

string intToString(int number)
{
    std::stringstream ss;
    ss << number;
    return ss.str();
}

void morphOps(Mat &thresh)
{
    Mat erodeElement      = getStructuringElement
```

```
        ( MORPH_RECT,
Size(2,2));

Mat dilateElement      = getStructuringElement
        ( MORPH_RECT,
Size(3,3));

erode(thresh,thresh,erodeElement);
erode(thresh,thresh,erodeElement);

dilate(thresh,thresh,dilateElement);
dilate(thresh,thresh,dilateElement);
}

void Tampilan_Pendeteksian
(
vector <Object> theObjects,
Mat &frame,
Mat &Temp,
vector<Vec3f>circles
)

{
for ( int i = 0; i < theObjects.size(); i++)
{
    rectangle
        (frame,
         Point(cvRound(theObjects.at(i).get_Posisi_X() -
theObjects.at(i).get_Posisi_R()),
cvRound(theObjects.at(i).get_Posisi_Y() -
theObjects.at(i).get_Posisi_R())),
         Point(cvRound(theObjects.at(i).get_Posisi_X() +
theObjects.at(i).get_Posisi_R()),
cvRound(theObjects.at(i).get_Posisi_Y() +
theObjects.at(i).get_Posisi_R())));
}
```

```
        theObjects.at(i).getColor(),
2,
8);

putText
(frame,
" + intToString(theObjects.at(i).get_Posisi_X())+
" ,
intToString(theObjects.at(i).get_Posisi_Y()),

Point(theObjects.at(i).get_Posisi_X(),
theObjects.at(i).get_Posisi_Y()),
1,
1,
theObjects.at(i).getColor());

putText
(frame,
theObjects.at(i).getType(),

Point(theObjects.at(i).get_Posisi_X(),
theObjects.at(i).get_Posisi_Y()-
((circles[i][2])+4)),
1,
2,
theObjects.at(i).getColor());

line
(frame,

Point(cvRound(theObjects.at(i).get_Posisi_X()-
(0.25*theObjects.at(i).get_Posisi_R())), cvRound
(theObjects.at(i).get_Posisi_Y())),

Point(cvRound(theObjects.at(i).get_Posisi_X()+(0.
25*theObjects.at(i).get_Posisi_R())), cvRound
(theObjects.at(i).get_Posisi_Y())),
theObjects.at(i).getColor());
```

```
    line
        (frame,
         Point(cvRound(theObjects.at(i).get_Posisi_X()),
cvRound
(theObjects.at(i).get_Posisi_Y()+(0.25*theObjects.at(i)
.get_Posisi_R()))),
         Point(cvRound(theObjects.at(i).get_Posisi_X()),
cvRound (theObjects.at(i).get_Posisi_Y()-
(0.25*theObjects.at(i).get_Posisi_R()))),
                     theObjects.at(i).getColor());
    }
}

void Pendeksiian_Lingkaran
(Object theObject,
Mat image_threshold,
Mat image_gray,
Mat &Image_Camera)

{
    int Invers_Rasio_Resolusi = 2 ;
    int Jarak_Minimum_Lingkaran = 50 ;
    int Parameter_1
255 ;
    int Parameter_2
60 ;
    int Radius_Minimum
;
    int Radius_Maksimum
;

    vector <Object> objects;
    Mat Temp;
    image_threshold.copyTo(Temp);
    vector <Vec3f> circles;

HoughCircles
```

```
(Temp,  
circles,  
HOUGH_GRADIENT,  
Invers_Rasio_Resolusi,  
Jarak_Minimum_Lingkaran,  
Parameter_1,  
Parameter_2,  
Radius_Minimum,  
Radius_Maksimum);  
  
bool objectFound      = false;  
  
for (int i = 0; i < circles.size(); i++)  
{  
    cv::Point center(cvRound(circles[i][0]),  
                    cvRound(circles[i][1]));  
    int radius = cvRound(circles[i][2]);  
    printf("bola x=%f y=%f r=%f\n\r",  
          circles[i][0],  
          circles[i][1],  
          circles[i][2]);  
  
    Object object;  
  
    object.set_Posisi_X( circles[i][0]);  
    object.set_Posisi_Y( circles[i][1]);  
    object.set_Posisi_R( circles[i][2]);  
    object.setType(theObject.getType());  
    object.setColor(theObject.getColor());  
  
    objects.push_back(object);  
  
    objectFound = true;  
  
    if(objectFound ==true)
```

```
{  
    Tampilan_Pendeteksian  
    (objects,  
     Image_Camera,  
     Temp,  
     circles);  
}  
}  
  
int main(int argc, char** argv)  
{  
  
    Mat Image_Camera,  
        image_threshold ,  
        image_threshold_ungu,  
        image_threshold_hijau,  
        image_threshold_merah,  
        image_gray ,  
        image,  
        frame;  
  
    VideoCapture capture(1) ;  
    CvVideoWriter *video =  
        cvCreateVideoWriter("video/video.AVI",  
        CV_FOURCC('M', 'J', 'P', 'G'), 3, Size(640, 480));  
    capture.set(CV_CAP_PROP_FPS,30);  
  
    waitKey (2);  
  
    while (true)  
    {  
        freopen("myfile.txt", "a", stdout);  
        static unsigned int counter = 0;  
        char FileNameOut[]  
        = "imgsout/img000.jpg" ;  
        char FileNameOutOriginal[] =  
        "Original/img000.jpg";
```

```
    int LenExtension = 4;
    int FileNameLengthOut
    = strlen(FileNameOut) ;
    int FileNameLengthOriginalOut =
    strlen(FileNameOutOriginal) ;
    int index1, index2;

    printf
        (" \n*****frame ke: %d
*****\n",
        counter++);

    int NoDigits
        = ceil(log((double)(counter)) /
        log(double(10)));
    char *TempNumber
        = (char
*)malloc(sizeof(char)*NoDigits);
    sprintf(TempNumber, "%d", counter);

    for (index1 = 0; index1 < NoDigits;
index1++)
    {
        FileNameOut[FileNameLengthOut -
LenExtension
            - NoDigits + index1] =
TempNumber[index1];

        FileNameOutOriginal[FileNameLengthOriginalOut
            - LenExtension - NoDigits +
index1]
            = TempNumber[index1];
    }
    capture >> Image_Camera      ;
```

```
    resize(Image_Camera, Image_Camera,
Size(640, 480), 0, 0, 2);
    image = Image_Camera.clone();           ;
frame = Image_Camera.clone();

    if (!capture.isOpened())
{
    printf("KAMERA USB TIDAK
TERDETEKSI\n");
    return -1;
}

Object ungu ("ungu"),
("hijau"), merah ("merah");

cvtColor (frame, image_gray,
COLOR_BGR2GRAY);
threshold (image_gray,
image_threshold, 150, 255, 0);

cvtColor
(Image_Camera,
image_gray,
COLOR_BGR2GRAY);
inRange
(Image_Camera,
hijau.getThresmin(),
hijau.getThresmax(),
image_threshold);
morphOps (image_threshold);

image_threshold_hijau=image_threshold.clone();

GaussianBlur(image_threshold,image_threshold,
Size(9, 9), 2, 2);
        Pendeksiyan_Lingkaran(hijau,
image_threshold, image_gray, Image_Camera);
```

```
cvtColor  
    (Image_Camera,  
     image_gray,  
  
     COLOR_BGR2GRAY);  
  
inRange  
    (Image_Camera,  
     ungu.getThresmin(),  
     ungu.getThresmax(),  
     image_threshold);  
  
morphOps (image_threshold);  
  
image_threshold_ungu=image_threshold.clone();  
  
  
GaussianBlur(image_threshold,image_threshold,  
Size(9, 9), 2, 2);  
Pendeteksian_Lingkaran(ungu,  
image_threshold, image_gray, Image_Camera);  
  
cvtColor  
    (Image_Camera,  
     image_gray,  
  
     COLOR_BGR2GRAY);  
  
inRange  
    (Image_Camera,  
     merah.getThresmin(),  
     merah.getThresmax(),  
     image_threshold);  
  
morphOps(image_threshold);  
  
image_threshold_merah=image_threshold.clone();  
  
GaussianBlur(image_threshold,image_threshold,  
Size(9, 9), 2, 2);  
Pendeteksian_Lingkaran(merah,  
image_threshold, image_gray, Image_Camera);
```

```
IplImage* Image_Ipl =
cvCloneImage(&(IplImage)Image_Camera);

fclose(stdout);
imshow ("Image_Camera"
,Image_Camera )      ;
imwrite      (FileNameOut
,Image_Camera      )      ;
cvWriteFrame(video, Image_Ipl);
imwrite      (FileNameOutOriginal,frame
)      ;
waitKey(10)      ;
}
return 0;
}
```

BIODATA PENULIS



Penulis, Muhamad Al Imron dilahirkan di kota Tulungagung pada tanggal 17 Oktober 1991. Putra ketiga dari tiga bersaudara pasangan Bapak Djaenuri dan Ibu Komsiyah ini memulai pendidikannya di SDN Tugu 3 (1997 – 2003). Dilanjutkan MTs Negeri 1 Karangrejo (2003 – 2006), dan SMA Negeri 1 Karangrejo (2006 – 2009). Kemudian pada tahun 2007 penulis melanjutkan pendidikan ke tingkat perguruan tinggi di Institut Teknologi Sepuluh Nopember (ITS) Surabaya jurusan S1 Teknik Mesin melalui jalur SNMPTN (Seleksi Nasional Masuk Perguruan Tinggi Negeri).

Di jurusan Teknik Mesin, penulis mengambil bidang Manufaktur laboratorium Perancangan dan Pengembangan Produk dan memiliki ketertarikan di bidang image processing. Selama di bangku perkuliahan selain belajar, penulis mengikuti kegiatan organisasi yaitu LDJ. Ash Shaff di Teknik Mesin. Penulis dapat dihubungi melalui alamat email cetoel09@gmail.com.